

بِسْمِ اللّٰهِ الرَّحْمٰنِ الرَّحِيْمِ



دانشکده: معدن، نفت و ژئوفیزیک

گروه: اکتشاف

## تحلیل ژئوشیمیایی فاکتورهای مؤثر در کانی سازی منطقه زوزن ۲ به منظور ارزیابی پتانسیل‌های احتمالی پنهان

زهره جنگروی

استاد راهنما:

دکتر رضا قوامی ریابی

استاد مشاور:

احسان حاج ملاعلی

پایان نامه ارشد جهت اخذ درجه کارشناسی ارشد

## مقالات مستخرج از پایان نامه

Using the regression and PCA analysis in identification of the probably polymetal mineralization (International Multidisciplinary Scientific Geo Conference SGEM 2010)

تعیین شاخص‌های اکتشافی به منظور ارزیابی و اولویت‌بندی مناطق با اهمیت کانی‌سازی بر اساس تحلیل‌های چندمتغیره (چهارمین همایش ملی زمین‌شناسی دانشگاه پیام نور آبان ۱۳۸۹)

تقدیم به :

پدرم، که شانه‌هایش تکیه‌گاه زندگیم بوده است.

مادرم، که وجودم برایش همه رنج و وجودش برایم همه مهر است.

و تقدیم به همه عزیزانی که از گذشته تا اکنون،

مرا در رسیدن به اهدافم یاری نموده‌اند.

## تشکر و قدردانی

از جناب آقای دکتر رضا قوامی‌ریابی که با رهنمودهای بسیار ارزشمندشان مرا در انجام این پایان‌نامه یاری رساندند کمال قدردانی و سپاس را دارم.

از آقایان عبدالعظیم حاج‌ملالعی مدیرعامل شرکت مهندسین مشاور کان‌ایران که اطلاعات مورد نیاز را در اختیار اینجانب قرار دادند و احسان حاج‌ملالعی که مشاوره این پایان‌نامه را بر عهده داشتند تشکر و قدردانی می‌نمایم.

از آقایان مهدی زارع (مسئول آزمایشگاه ژئوفیزیک)، کیومرث سیف‌پناهی (مسئول سایت کارشناسی‌ارشد) و خانم اکرم اعتمادی به دلیل همکاری صمیمانه‌شان سپاسگزارم. در آخر از کلیه اساتید، دوستان و همکاران در دانشگاه صنعتی شاهروod که هر یک به نحوی مرا در انجام این کار یاری رساندند کمال قدردانی و سپاس را دارم.

## چکیده

تفکیک زمینه از آنومالی در اکتشافات ژئوشیمیایی، به عنوان یکی از روش‌های اکتشافات معدنی، از اهمیت ویژه‌ای برخوردار است، در این تحقیق به منظور جداسازی زمینه از آنومالی شاخص ژئوشیمیایی چندمتغیره از روش تک‌متغیره روند سطحی کمک گرفته شده است.

مطالعه حاضر شامل بررسی‌های ژئوشیمیایی رسوبات آبرهه‌ای است که بر روی محدوده زوزن II با مقیاس ۱:۲۵۰۰ صورت گرفته است. منطقه مورد مطالعه با وسعتی حدود ۵۸ کیلومترمربع در ۹۰ کیلومتری شرق شهرستان گناباد در استان خراسان رضوی قرار گرفته است.

در این تحقیق ابتدا داده‌ها جهت مطالعات آماری تک‌متغیره و چندمتغیره مورد آماده سازی قرار گرفتند. بعد از اینکه مطالعات نرمال‌سازی بر روی کل داده‌های منطقه صورت پذیرفت نقشه پراکندگی ژئوشیمیایی عناصر خام در سطح منطقه ترسیم گردید. نتایج بدست آمده از این بخش از مطالعات نشان داد که عناصر مس، طلا، نقره، روی، سرب، باریم، تنگستن، ارسنیک و کادمیوم از توزیع غیرنرمال در منطقه برخوردار بوده و نقشه پراکندگی داده‌های این عناصر از همپوشانی خوبی با یکدیگر برخوردارند. همچنین نقشه‌های توزیع عناصر نشان دهنده آن است که آنومالی‌های با اهمیت عناصر مذکور در نیمه شمالی منطقه واقع شده و نیمه جنوبی منطقه به لحاظ پراکندگی ژئوشیمیایی عناصر از اهمیت کمتری برخوردار می‌باشد. در نیمه شمالی منطقه مطالعات آماری آنالیز همبستگی، کلاستر و تحلیل مولفه‌های اصلی صورت گرفت. نتایج بررسی‌ها نشان داد که عناصر مس، سرب، روی، طلا، نقره، کادمیوم، تنگستن و بیسموت به عنوان گروه‌های پاراژنز از همبستگی خوبی با یکدیگر برخوردار هستند و با توجه به شواهد زمین شناسی در منطقه احتمال کانی‌سازی پلی‌متال درجه حرارت پایین تا متوسط در منطقه دور از انتظار نمی‌باشد. بمنظور بدست آوردن نقشه مبنا، برای ادامه تحلیل‌ها، محدوده‌های با اهمیت ژئوشیمیایی عناصر در نیمه شمالی منطقه مشخص گردیده سپس نقشه پراکندگی کانی‌های سنگین با اهمیت نیز با این محدوده‌ها تلفیق شده و موقعیت نمونه‌های دارای غنی‌شدگی به عناصر فلزی حاصل از مرحله چک‌آنومالی بر روی نقشه مذکور مشخص گردید. نهایتاً محدوده امیدبخش در نیمه شمالی به عنوان محدوده مستعد کانی سازی مشخص و معرفی گردید.

در مرحله بعد آنالیز دومتغیره و چندمتغیره بر روی ۵۰ نمونه (۲۵ نمونه آنومال و ۲۵ نمونه غیرآنومال) در نیمه شمالی منطقه صورت پذیرفت تا شاخص مناسب در منطقه جهت شناسایی آنومالیها بر روی نقشه مبناء، بدست آورده شود. با توجه به نتایج بدست آمده از این بخش نهایتاً شاخص ژئوشیمیایی شش عنصری Au+Ag+Pb/Ti+Cr+Ga جهت تفسیر پراکندگی عناصر با اهمیت در منطقه بدست آمد. در نهایت با محاسبه این نسبت برای داده‌های کل منطقه و با رسم نقشه تغییرات آن، نتایج بدست آمده با نقشه مبنا مقایسه و مورد تائید قرار گرفت.

در بخش نهایی این تحقیق روش روند سطحی بر روی شاخص ژئوشیمیایی بدست آمده با روندهای مختلف (درجه ۲ تا ۶) اعمال گردید. نقشه‌های باقیمانده (بعد از حذف اثرات زمینه یا ناحیه‌ای) با نقشه مبنا مقایسه شده و در نهایت نقشه روند سطحی درجه ۴ موفق به جداسازی نواحی آنومال از زمینه در کل منطقه شمالی و جنوبی گردید. بدین ترتیب از یک تحلیل تک متغیره در جداسازی زمینه از آنومالی یک شاخص کانی‌سازی چندمتغیره بهره گرفته شد.

**کلمات کلیدی:** روند سطحی، پراکندگی ژئوشیمیایی، شاخص ژئوشیمیایی، نسبت عنصری،

کانی‌سازی پلی‌متال، منطقه زوزن

## فهرست مطالب

	عنوان
	صفحه
۱	تشکر و قدردانی
۲	چکیده
۳	فهرست مطالب
۴	فهرست اشکال
۵	فهرست جداول
۶	فصل اول
۷	۱- مقدمه
۸	۲- ضرورت انجام طرح
۹	۳- طرح مسئله و هدف از انجام تحقیق
۱۰	۴- موقعیت جغرافیایی و راههای دسترسی منطقه مورد مطالعه
۱۱	۵- جمع آوری اطلاعات
۱۲	۶- سازماندهی پایاننامه
۱۳	فصل دوم
۱۴	۱- مقدمه
۱۵	۲- چینه نگاری و زمین شناسی منطقه زوزن
۱۶	۳- پالئوزوئیک
۱۷	۴- واحد (Pzm)
۱۸	۵- واحد (Css)
۱۹	۶- سنوزوئیک
۲۰	۷- سنگ های آذرین درونی و نیمه ژرف
۲۱	۸- واحد (mgr)
۲۲	۹- واحد (gd)
۲۳	۱۰- کواترنر
۲۴	۱۱- واحد (Qf)
۲۵	۱۲- وضعیت ساختاری و زمین شناسی ساختمانی منطقه
۲۶	۱۳- زمین شناسی اقتصادی و پتانسیل های معدنی منطقه
۲۷	۱۴- آثار معدنی مشاهده شده در جنوب باختر- باختر به بروز
۲۸	۱۵- اثر معدنی سبزپنبه
۲۹	۱۶- اثر معدنی حمزه هورا (حدفاصل پنبه سبز و خلط آباد)
۳۰	۱۷- کانی سازی تیپ پلی متالیک رگه ای
۳۱	۱۸- شبکه نمونه برداری منطقه مورد مطالعه

۷-۲- آماده سازی و آنالیز نمونه های ژئوشیمیایی	۲۲
فصل سوم	۲۳
۱-۳- مقدمه	۲۴
۲-۳- فایل بندی داده های خام و جایگزینی داده های سنسورد	۲۴
۳-۳- آزمون مقادیر خارج از ردیف	۲۹
۳-۳-۱- آزمون مقادیر خارج از ردیف برای داده های با گسترش زیاد (روش دورفل)	۲۹
۳-۳-۲- مطالعات آماری تک متغیره	۳۳
۳-۳-۳- پارامترهای آماری داده های خام	۳۳
۳-۴- نرمال سازی داده های خام	۳۸
۳-۵- ترسیم نقشه های تک عنصری	۴۳
فصل چهارم	۵۶
۴-۱- مقدمه	۵۷
۴-۲- تحلیل آماری دو متغیره	۵۷
۴-۳- تجزیه و تحلیل خوش ای	۶۱
۴-۴- تجزیه و تحلیل فاکتوری	۶۵
۴-۵- ترسیم نقشه کانی سنگین و بررسی انتشار کانی های با اهمیت	۷۱
۴-۶- رسم نقشه مبنا	۷۲
فصل پنجم	۷۵
تحلیل آماری بر روی داده های آنومال	۷۵
۵-۱- مقدمه	۷۶
۵-۲- پردازش های آماری بر روی داده های آنومال	۷۶
۵-۳- تعیین نسبت های چندعنصری	۸۲
۵-۴- محاسبه فاکتورها و رسم نمودار تغییرات فاکتورها	۸۶
۵-۵- آنالیز روندسطحی	۸۸
۵-۵-۱- روند سطحی ارتونرمال	۹۱
فصل ششم	۱۰۰
۶-۱- نتیجه گیری و پیشنهادات	۱۰۱
منابع	۱۰۳
پیوست ۱	۱۰۷
پیوست ۲	۱۱۰
پیوست ۳	۱۱۲
پیوست ۴	۱۱۴
Abstract	۱۱۷

## فهرست اشکال

عنوان	
صفحة	
شکل (۱-۱): نقشه جانمایی محدوده زوزن II بر روی نقشه نواحی اميد بخش بر پایه مطالعات ژئوشیمیایی یکصدهزارم ورقه زوزن.....	۴
شکل (۲-۱): موقعیت منطقه مورد مطالعه بر روی نقشه های ۱:۱۰۰۰۰ و ۱:۲۵۰۰۰	۵
شکل (۳-۱): نقشه راههای دسترسی به منطقه به همراه روستاه های نزدیک آن.....	۶
شکل (۱-۲): نقشه زمین شناسی منطقه زوزن II [کان ایران، ۱۳۸۸]	۱۱
شکل (۲-۲): نقشه محل نمونه های برداشت شده از سطح منطقه زوزن [کان ایران، ۱۳۸۸]	۲۱
شکل (۱-۳): حدآستانه ای مقادیر خارج از ردیف به عنوان تابعی از تعداد نمونه و سطح اعتماد.....	۳۰
شکل (۲-۳): هیستوگرام فراوانی عناصر طلا، نقره، آرسنیک، آنتیموان، مس، مولیبدن، سرب، روی.....	۳۶
شکل (۳-۳): هیستوگرام فراوانی عناصر باریم، جیوه، بیسموت، کادمیوم، تنگستن، قلع، منگنز و آهن .....	۳۷
شکل (۴-۳): هیستوگرام عناصر نرمال شده طلا، نقره، آرسنیک، آنتیموان، مولیبدن، مس، سرب و روی.....	۴۰
شکل (۵-۳): نمودار هیستوگرام عناصر نرمال شده قلع، تنگستن، آهن، منگنز، بیسموت، کادمیوم، جیوه و باریم	۴۱
شکل (۶-۳): نقشه پراکندگی غلظت عنصر طلا.....	۴۵
شکل (۷-۳): نقشه پراکندگی غلظت عنصر سرب.....	۴۶
شکل (۸-۳): نقشه پراکندگی غلظت عنصر نقره .....	۴۷
شکل (۹-۳): نقشه پراکندگی غلظت عنصر باریم.....	۴۸
شکل (۱۰-۳): نقشه پراکندگی غلظت عنصر مولیبدن.....	۴۹
شکل (۱۱-۳): نقشه پراکندگی غلظت عنصر روی.....	۵۰
شکل (۱۲-۳): نقشه پراکندگی غلظت عنصر آنتیموان.....	۵۱
شکل (۱۳-۳): نقشه پراکندگی غلظت عنصر کادمیوم.....	۵۲
شکل (۱۴-۳): نقشه پراکندگی غلظت عنصر آرسنیک .....	۵۳
شکل (۱۵-۳): نقشه پراکندگی غلظت عنصر مس.....	۵۴
شکل (۱۶-۳): نقشه پراکندگی غلظت عنصر بیسموت .....	۵۵
شکل (۱-۴): نمودار خوشه ای عناصر.....	۶۴
شکل (۲-۴): نمودار مقادیر ویژه در مقابل تعداد مولفه ها.....	۷۰
شکل (۳-۴): نقشه پراکندگی نمونه های کانی سنگین در بخش شمالی منطقه زوزن.....	۷۳
شکل (۴-۴): نقشه مبنای حاصل از همپوشانی نمونه های کانی سنگین، نتایج چک آنومالی و مطالعات ژئوشیمیایی تک عنصری.....	۷۴
شکل (۱-۵): نمودار مقادیر ویژه در مقابل تعداد مولفه ها .....	۷۹
شکل (۲-۵): نمودار خوشه ای عناصر .....	۸۱
شکل (۳-۵): تغییرات نسبت جمعی ده عنصری (a) و ضربی ده عنصری (b) در مقابل عنصر سرب.....	۸۳

شکل (۴-۵): تغییرات نسبت جمیع شش عنصری (a) و نسبت جمیع هشت عنصری (b) در مقابل عنصر سرب.....	۸۳
شکل (۵-۵): تغییرات نسبت جمیع (چهار عنصری) در مقابل عنصر سرب.....	۸۳
شکل (۶-۵): نمودار تغییرات نسبت جمیع شش عنصری در مقابل تغییرات عنصر سرب.....	۸۴
شکل (۷-۵): نمودار تغییرات نسبت جمیع شش عنصری در مقابل تغییرات عنصر روی.....	۸۴
شکل (۸-۵): نمودار تغییرات نسبت جمیع شش عنصری در مقابل تغییرات روی + سرب.....	۸۴
شکل (۹-۵): نقشه پراکندگی نسبت عنصری $Au+Ag+Pb/ Ti+Cr+Ga$ .....	۸۵
شکل (۱۰-۵): نمودار تغییرات فاکتور F3 در نبود عنصر سرب در مقابل تغییرات عنصر سرب.....	۸۶
شکل (۱۱-۵): نقشه پراکندگی فاکتور سوم.....	۸۷
شکل (۱۲-۵): نقشه روند باقیمانده درجه ۲ برای نسبت جمیع $Au+Ag+Pb/ Ti+Cr+Ga$ .....	۹۵
شکل (۱۳-۵): نقشه روند باقیمانده درجه ۳ برای نسبت جمیع $Au+Ag+Pb/ Ti+Cr+Ga$ .....	۹۵
شکل (۱۴-۵): نقشه روند ناحیه ای درجه ۴ برای نسبت جمیع $Au+Ag+Pb/ Ti+Cr+Ga$ .....	۹۶
شکل (۱۵-۵): نقشه روند باقیمانده درجه ۴ برای نسبت جمیع $Au+Ag+Pb/ Ti+Cr+Ga$ .....	۹۶
شکل (۱۶-۵): نقشه روند باقیمانده درجه ۲ برای فاکتور سوم.....	۹۷
شکل (۱۷-۵): نقشه روند باقیمانده درجه ۳ برای فاکتور سوم.....	۹۷
شکل (۱۸-۵): نقشه روند ناحیه ای درجه ۴ برای فاکتور سوم.....	۹۸
شکل (۱۹-۵): نقشه روند ناحیه ای درجه ۴ برای فاکتور سوم.....	۹۸
شکل (۲۰-۵): نقشه روند ناحیه ای درجه ۵ برای فاکتور سوم.....	۹۹
شکل (۲۱-۵): نقشه روند باقیمانده درجه ۵ برای فاکتور سوم.....	۹۹

## فهرست جداول

عنوان	صفحه
جدول (۱-۱): مختصات جغرافیایی چهارگوش محدوده مورد مطالعه	۵
جدول (۲-۱) : حد حساسیتهای رعایت شده در پروژه زوزن II	۲۲
جدول (۳-۱): مقادیر تابع کمکی $\lambda$ برای تخمین مقادیر سنسورد به روش کوهن	۲۶
جدول (۳-۲) : نتایج تخمین داده های سنسورد	۲۸
جدول (۳-۳): مقادیر خارج از رده شناسایی شده با استفاده از روش دورفل	۳۱
جدول (۳-۴): پارامترهای آماری داده های خام منطقه زوزن	۳۵
جدول (۳-۵): پارامترهای آماری داده های نرمال منطقه زوزن	۴۲
جدول (۴-۱): ماتریس همبستگی عناصر به روش اسپیرمن	۶۰
جدول (۴-۲): جدول واریانس تجمعی	۷۰
جدول (۴-۳): ماتریس مؤلفه های چرخش یافته عناصر	۷۱
جدول (۵-۱): ماتریس همبستگی پیرسن میان عناصر	۷۷
جدول (۵-۲): واریانس تجمعی عناصر و تحلیل مؤلفه های اصلی	۷۹
جدول (۵-۳): نتایج آنالیز فاکتوری	۸۰
جدول ۴-۵ : نمایش جمله های سطوح روند تا درجه ۳	۸۹

# فصل اول

کلیات

## ۱-۱- مقدمه

امروزه یکی از روش‌های اکتشاف مواد معدنی در دنیا اکتشافات ژئوشیمیایی می‌باشد. وسعت میدان کاری روش‌های مختلف آنالیزهای ژئوشیمیایی، حدسازی مناسب دستگاه‌های آنالیز، امکان آنالیز عناصر مختلف و روش‌های متعدد تفکیک داده‌پردازی و مدل‌سازی داده‌ها بهمراه نرم افزارهای متنوع باعث شده تا بتوان به طراحی بهینه اکتشافات ژئوشیمیایی دست یافت [فلچر<sup>۱</sup>، ۱۹۹۷، ۱۹۸۱]. وجود حجم عظیم اطلاعات متخصصین را بر آن داشته تا در مرحله داده‌پردازی بعد از رقومی کردن داده‌ها به دنبال راه حل‌هایی به منظور تعیین مناطق امیدبخش باشند [بئوس و گریگوریان<sup>۲</sup>، ۱۹۷۷].

کشف آنومالیهای ژئوشیمیایی در اکتشافات معدنی یکی از موارد مورد توجه متخصصین می‌باشد برای این منظور می‌بایست نسبت به زمینه عیار عناصر در محیط‌های مختلف شناخت پیدا کرد [هاکس و وب<sup>۳</sup>، ۱۹۶۲]. در اکتشافات ژئوشیمیائی رسوبات آبراهه‌ای، که با انبوهی از داده‌ها و طیف وسیعی از متغیرها سر و کار دارند، کاربرد روش‌های آماری به همراه تلفیق آنها با نتایج برداشت‌های صحرایی مورد تجزیه و تحلیل قرار می‌گیرند [فلچر، ۱۹۹۷؛ پوروشاتامن و همکاران<sup>۴</sup>، ۲۰۰۹]. در تحقیق حاضر، تحلیل‌های ژئوشیمیایی بر روی فاکتورهای مؤثر در کانی‌سازی منطقه زون II به منظور ارزیابی پتانسیل‌های احتمالی پنهان صورت خواهد پذیرفت. اولین قدم در این راستا پردازش اولیه داده‌های برداشت شده از منطقه مورد مطالعه و تهییه فایل اطلاعات قابل استفاده به منظور تفسیر، می‌باشد. شناسایی و جایگزینی داده‌های سنسورد، مطالعات آماری تک‌متغیره و چندمتغیره و تعیین مناطق امیدبخش بخشی از تحلیل داده‌های منطقه می‌باشد. در بررسی رسوبات رودخانه‌ای منطقه مورد نظر نتایج حاصل از پردازش داده‌ها در کنار مطالعه کانیهای سنگین و کنترل ناهنجاریها منجر به نتیجه گیری سودمندتری گردیده است.

<sup>1</sup> Fletcher

<sup>2</sup> Beus and Grigorian

<sup>3</sup> Howkes and Webb

<sup>4</sup> Purushothaman et. al

## ۱-۲- ضرورت انجام طرح

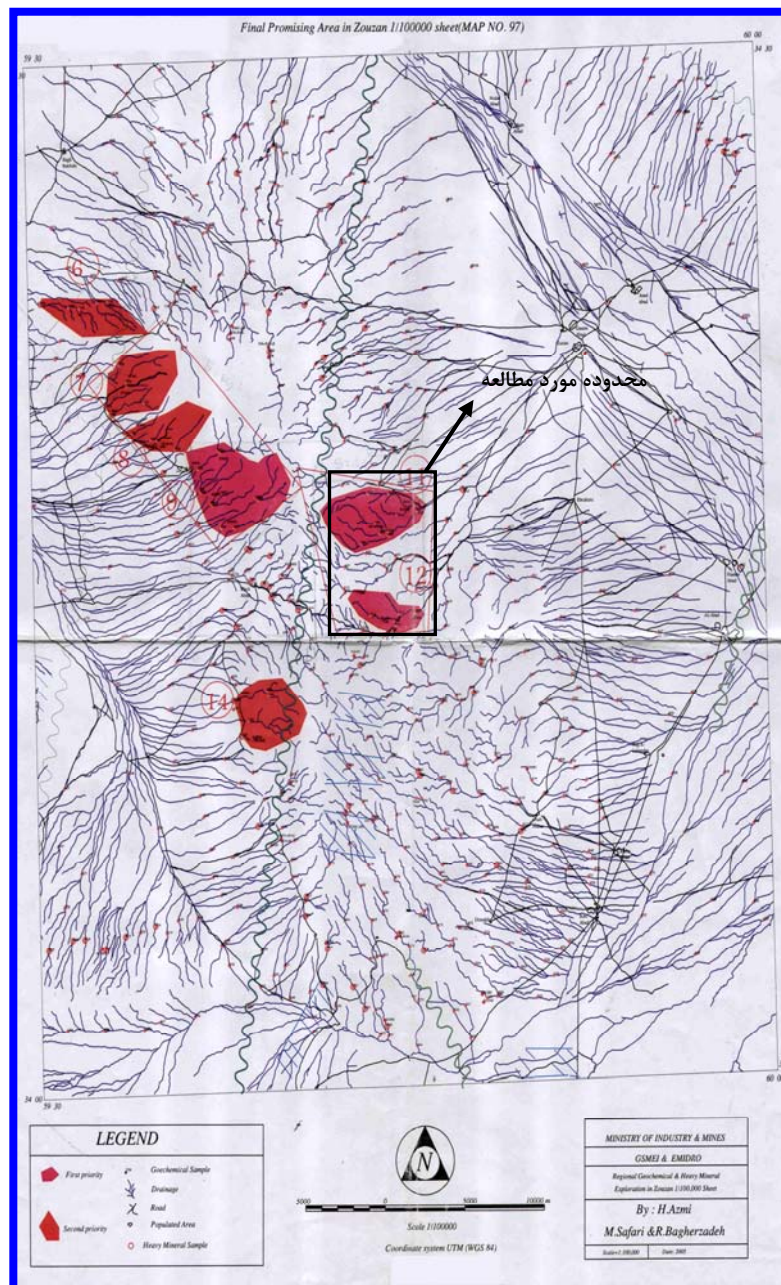
اساس انتخاب محدوده زوزن II با هدف انجام مطالعات ژئوشیمیایی در مقیاس ۱:۲۵۰۰۰ بر پایه مطالعات ژئوشیمیایی سیستماتیک ورقه یکصدهزارم زوزن می‌باشد [حسن عزمی، ۲۰۰۵]. محدوده‌های امیدبخش حاصل از بررسی‌های فوق الذکر در مقیاس ۱:۱۰۰۰۰۰ در شکل(۱-۱) به نمایش گذاشته شده است. همانطور که مشاهده می‌شود محدوده زوزن II به مساحت تقریبی ۵۸ کیلومتر مربع از ۲ ناهنجاری با شماره‌های ۱۱ و ۱۲ تشکیل شده است. ناهنجاریهای مذکور نسبت به عناصر طلا، مس، سرب و روی از غنی شدگی نسبی برخوردار هستند. در مطالعات حاضر، با برداشت نمونه‌های رسوبات آبراهه‌ای (با تراکم ۵ نمونه به ازای هر کیلومترمربع) و نمونه‌های کانی سنگین (۲ نمونه به ازای هر کیلومترمربع) سعی گردید تا وضعیت ناهنجاریهای حاصل شده در مطالعات یکصدهزارم با دقت بیشتری مشخص گردد [مهندسين مشاور کان ايران، ۱۳۸۸].

## ۱-۳- طرح مسئله و هدف از انجام تحقیق

هدف از این تحقیق انجام مطالعات ژئوشیمیایی بر روی رسوبات رودخانه‌ای، شناخت مناطق آنومالی ژئوشیمیایی عناصر مورد اکتشاف، تحلیل روابط پارازنی بین عناصر، بدست آوردن نسبتها و شاخص‌های ژئوشیمیایی جهت معرفی و کشف هرچه بهتر زونهای کانی‌سازی و مناطق دارای پتانسیل می‌باشد.

برای این منظور پس از تحلیل‌های تکمتغیره، رسم نقشه‌های مربوطه و ارزیابی ارتباط ژنتیکی بین متغیرها به منظور شناخت کنترل کننده اصلی کانی‌سازی احتمالی، به تجزیه و تحلیل چندمتغیره بین داده‌ها، تعیین نسبتهاي چندعنصری ضربی و جمعی و تخمین نوع کانی‌سازی احتمالی پرداخته شده است. همچنین بر اساس نتایج مطالعات کانی سنگین و چک‌آنومالی، نقشه مبنای ژئوشیمیایی حاصل گردیده است.

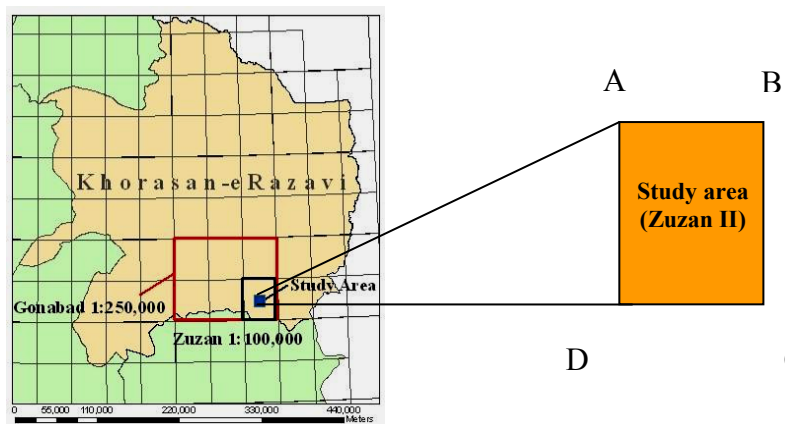
همچنین آنالیز روند سطحی بر روی نسبت‌های بدست آمده با درجات مختلف اعمال شده و نتایج بدست آمده با نقشه مبنای مقایسه گردیده است تا به ارزیابی نتایج اعمال تحلیل سطح روند و تفکیک آنومالیهای چندعنصری پرداخته شود.



شکل (۱-۱): نقشه جانمایی محدوده زوزن II بر روی نقشه نواحی امید بخش بر پایه مطالعات ژئوشیمیایی یکصدهزارم ورقه زوزن [حسن عزمی، ۲۰۰۵]

#### ۴-۱- موقعیت جغرافیایی و راههای دسترسی منطقه مورد مطالعه

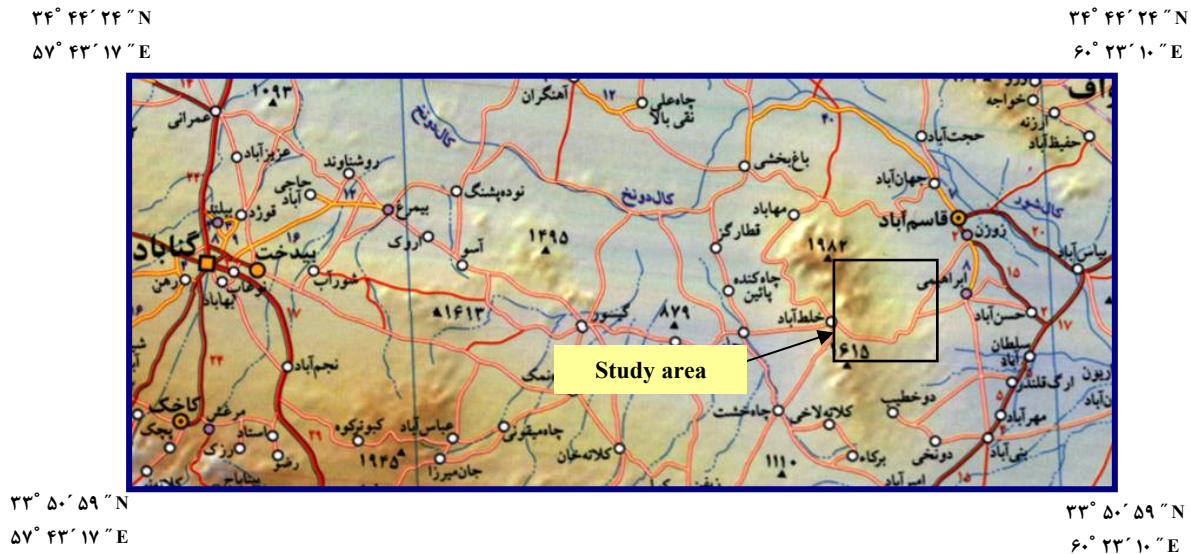
با توجه به شکل (۲-۱) منطقه زوزن بخشی از برگه ۱:۲۵۰۰۰۰ گناباد و ورقه یکصدهزارم زوزن(سلطانآباد) با مساحت تقریبی ۵۸ کیلومترمربع می‌باشد. محدوده مورد نظر در ۹۰ کیلومتری شرق شهرستان گناباد در استان خراسان رضوی قرار گرفته است. از غرب به روستای خلطآباد و از شرق به روستای ابراهیمی محدود می‌شود (شکل ۱-۳). مختصات جغرافیایی محدوده زوزن (II) در جدول (۱-۱) آورده شده است.



شکل (۲-۱): موقعیت منطقه مورد مطالعه بر روی نقشه های ۱:۲۵۰۰۰۰ و ۱:۱۰۰۰۰

جدول (۱-۱): مختصات جغرافیایی چهارگوش محدوده مورد مطالعه

مختصات به UTM		مختصات جغرافیایی		چهارگوش
X	Y	عرض شمالی	طول شرقی	
۷۴۷۸۹۰	۳۷۹۸۲۲۰	۳۴° ۱۷'	۵۹° ۴۱'	A
۷۵۴۷۰۰	۳۷۹۸۲۲۰	۳۴° ۱۷'	۵۹° ۴۶'	B
۷۵۴۷۰۰	۳۷۸۹۷۱۰	۳۴° ۱۳'	۵۹° ۴۵'	C
۷۴۷۸۹۰	۳۷۸۹۷۱۰	۳۴° ۱۳'	۵۹° ۴۱'	D



شکل(۱-۳): نقشه راههای دسترسی به منطقه به همراه روستاههای نزدیک آن [اطلس راههای ایران].

با توجه به اینکه محدوده مورد مطالعه در بخش‌های شمال خاوری بلوک لوت قرار می‌گیرد در ناحیه بیانی و نیمه‌بیانی کشور واقع است. این ناحیه در بیشتر ماههای سال خشک و کم باران بوده و بطور معمول بارندگی محدود به فصل زمستان و آغاز بهار است. بطور کلی بارش سالیانه از ۲۰۰ متر فراتر نیست. وزش بادهای موسمی از ویژگی آب و هوایی این منطقه بوده و مهمترین پوشش گیاهی در مناطق کوهستانی بنه و در مناطق پست‌تر بوته‌های گون می‌باشد.

مهمترین فعالیت اهالی ساکن در این محدوده دامداری و کشاورزی بوده و مهمترین محصولات کشاورزی این منطقه پنبه و گندم است.

## ۱-۵- جمع آوری اطلاعات

در این مرحله اسناد و مدارک مربوط به منطقه تحت پوشش به شرح زیر تهیه و مورد مطالعه قرار گرفت:

- ۱ - گزارش نقشه زمین‌شناسی یکصدهزارم زوزن- سازمان زمین‌شناسی و اکتشافات معدنی کشور
- ۲ - گزارش اکتشاف ژئوشیمیایی سیستماتیک ورقه یکصدهزارم زوزن- سازمان زمین‌شناسی و اکتشافات معدنی کشور- مرکز مشهد

- ۳- نقشه توپوگرافی ۱:۲۵۰،۰۰۰ گناباد- سازمان جغرافیایی نیروهای مسلح
- ۴- نقشه توپوگرافی ۱:۲۵۰۰۰ ISW 7958 - سازمان جغرافیایی نیروهای مسلح
- ۵- نقشه توپوگرافی ۱:۲۵۰۰۰ IINW 7958 - سازمان جغرافیایی نیروهای مسلح
- ۶- نقشه توپوگرافی ۱:۲۵۰۰۰ IV SE 7958 - سازمان جغرافیایی نیروهای مسلح
- ۷- نقشه توپوگرافی ۱:۲۵۰۰۰ III NE 7958 - خلطاًباد- سازمان جغرافیایی نیروهای مسلح

در بررسی‌های ژئوشیمیایی در مقیاس یکصدهزارم، چند محدوده ناهنجار شناسایی گردید که نسبت به عناصر طلا، مس، سرب و روی غنی‌شدگی نشان داده‌اند و منطقه زوزن یکی از این محدوده‌های ناهنجار می‌باشد که جهت مطالعات نیمه‌تفصیلی انتخاب گردید (شکل ۱-۱).

ضمن بررسی نقشه توپوگرافی و زمین‌شناسی منطقه می‌توان دو واحد مورفولوژیکی عمدۀ را در محدوده مورد بررسی در نظر گرفت:

واحد اول دارای ارتفاعات چهره‌ساز، با بیشترین ارتفاع نزدیک به ۱۸۶۰ متر، و سطوح فرسایشی زبر و خشن می‌باشد. شیب ارتفاعات آن بیش از ۵۰ درصد بوده و از سمت غرب به شرق از میزان آن کاسته می‌شود. این واحد عمدتاً از سنگ‌های پیروکلاستیک و آتشفسانی تشکیل گردیده است و در شمال شرق منطقه بدلیل نفوذ توده‌های گرانیتی، ارتفاعات آن به صورت کشیده و مضرس می‌باشد.

واحد دوم شامل نهشته‌های کوهپایه‌ای و پادگانه‌های بریده می‌باشد. این رخساره بطور اعم در قسمت‌های شرقی منطقه و بطور اخص در شمال شرق منطقه گسترش دارد [مهندسين مشاور کان ايران ۱۳۸۸].

## ۱-۶- سازماندهی پایان نامه

به منظور رسیدن به اهداف ذکر شده، پایان نامه حاضر در ۷ فصل تنظیم گردیده است. فصول مذکور به شرح زیر سازماندهی شده‌اند:

فصل اول شامل مقدمه، کلیاتی در خصوص پایان نامه و روش‌های تحلیل داده و ضرورت انجام تحقیق مورد نظر می‌باشد.

معرفی منطقه بهمراه تشریح زمین‌شناسی و ژئوشیمی منطقه در فصل دوم مورد بحث قرار گرفته است.

در فصل سوم ضمن بررسی داده‌های سنسوردها، شناسایی داده‌های خارج از رده و جایگزینی آنها، نرمال‌سازی داده‌ها و معرفی اصول هر یک از این روش‌ها مورد بررسی جزئی‌تر قرار گرفته است. در این فصل نقشه پراکندگی ژئوشیمیایی عناصر نیز مورد استفاده قرار گرفت.

در فصل چهارم ضمن بررسی اصول روش‌های تجزیه و تحلیل آماری بکار گرفته شده، نتایج اعمال این روش‌ها بر روی داده‌های نیمه شمالی منطقه مورد بررسی قرار گرفته است. نقشه مبنا حاصل از همپوشانی داده‌های آنومال ژئوشیمیایی، مطالعات کانی‌سنگین و نتایج چک‌آنومالی در ادامه این فصل بدست آمده است.

در فصل پنجم نتایج بدست آمده از تحلیل‌های آماری و نسبت‌های چند عنصری ضربی و جمعی در منطقه معرفی شده و نقشه پراکندگی آنها آورده شده است.

در فصل ششم ضمن بکارگیری روش روند سطحی بر روی نسبت چند عنصری، به تفکیک آنومالیها پرداخته شد و نتایج حاصله با نتایج بدست آمده از فصول قبلی مقایسه گردید.

فصل هفتم: به نتیجه‌گیری و ارائه پیشنهادات پرداخته شده است.

## فصل دوم

معرفی منطقه مورد مطالعه بهمراه  
وضعیت زمین‌شناسی و ژئوشیمی آن

## ۱-۲- مقدمه

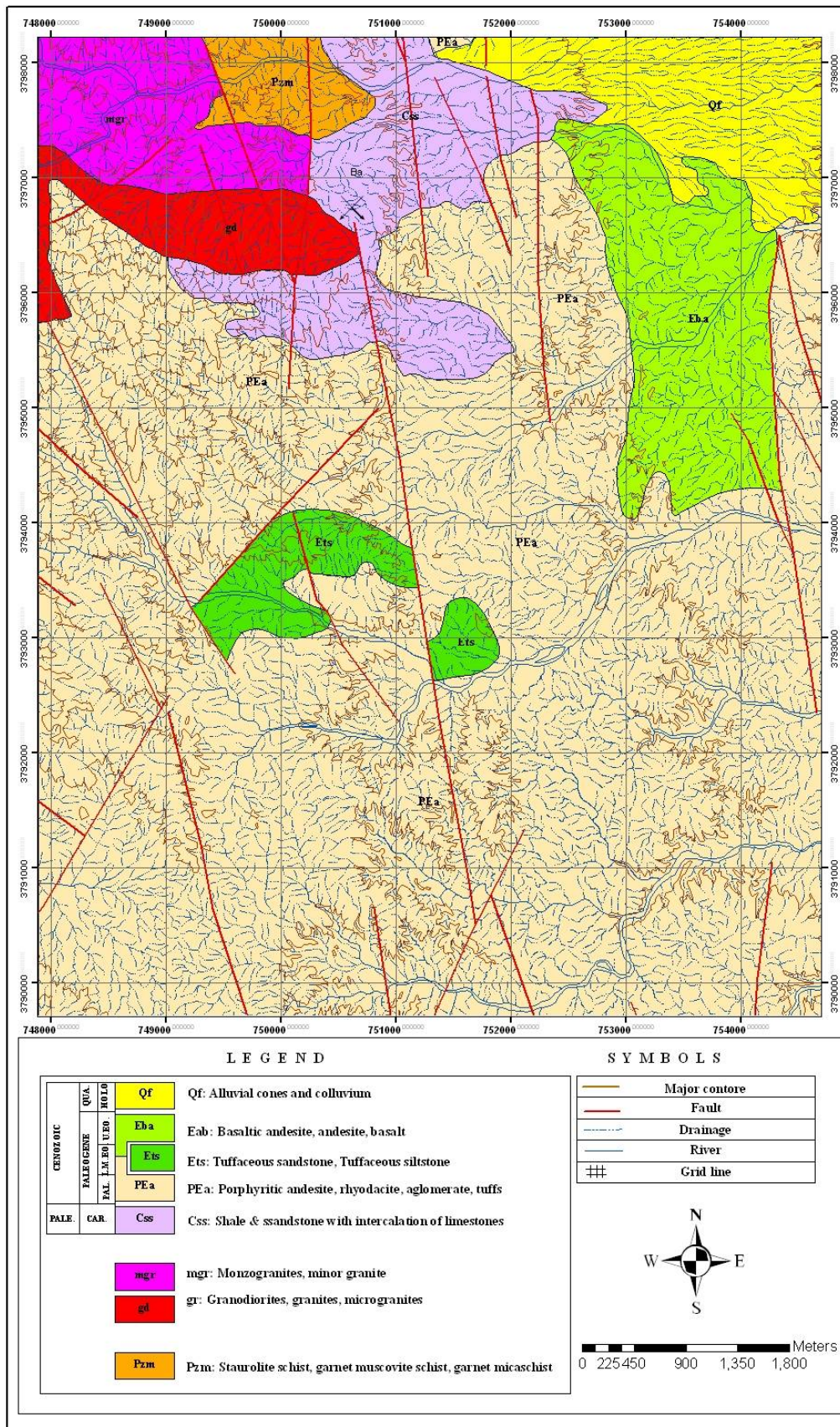
در این فصل به بررسی وضعیت زمین‌شناسی و مطالعات صورت پذیرفته در منطقه پرداخته شده است. با توجه به اینکه احتمال تشکیل کانی‌سازی رگهای پلی‌متال در منطقه وجود دارد لذا در خصوص اختصاصات ژئوشیمیایی این تیپ کانی‌سازی نیز توضیحاتی ارائه گردیده است. در ادامه این فصل بطور مختصر نحوه نمونه‌برداری و آنالیز نمونه‌ها مورد بررسی قرار داده شده است.

## ۲- چینه‌نگاری و زمین‌شناسی منطقه زوزن

بر اساس اطلاعات بدست آمده از نقشه زمین‌شناسی  $1:100,000$  زوزن محدوده مورد مطالعه حاوی بروندهایی از واحدهای سنگی پالئوزوئیک تا کواترنر بوده که در این توالی نبودهای چینه‌نگاری بزرگی نیز وجود دارد. از قدیمی‌ترین سنگ‌های بروند بروند یافته در منطقه می‌توان به واحد دگرگونی Pzm متعلق به پالئوزوئیک و همچنین نهشته‌های شیلی- ماسه سنگی با میان لایه‌های سنگ آهکی سازند سردر موجود در بخش‌های شمالی منطقه در مجاورت با توده نفوذی دستخوش دگرگونی مجاورتی گشته‌اند، اشاره نمود [سازمان زمین‌شناسی، ۵۰۰۵].

در آغاز ترشیری آتشفسان به نسبت گسترهای در بخش‌های وسیعی از منطقه آغاز شده و سپس با نهشته‌های ولکانوکلاستیک ادامه می‌یابد. ترکیب شیمیایی گدازه‌های این مرحله بیشتر آندزیتی بوده و آگلومرا و به مقدار کمتر نهشته‌های ولکانوکلاستیک از دیگر فعالیت‌های این فاز آتشفسانی هستند. انباشت‌های قاره‌ای پلیوکواترنر و انباشت‌های بادی از دیگر نهشته‌های دارای گسترش در منطقه می‌باشند (شکل ۱-۲).

در این قسمت واحدهای سنگی از قدیم به جدید توصیف گردیده‌اند.



شکل(۱-۲): نقشه زمین شناسی منطقه وزن II [کان ایران، ۱۳۸۸].

## ۲-۱-۲- پالئوزوئیک

سنگ‌های دگرگونی ناحیه‌ای با علامت Pzm در نقشه نشان داده شده‌اند (شکل ۳-۲) و متشکل از انواع شیست‌ها، ماسه‌سنگ‌های دگرگونه و سنگ آهک دگرگونه‌اند. در بخش شمالی منطقه سنگ‌های دگرگونی مجاورتی گسترش یافته است. سنگ‌های این واحد متعلق به سازند سردر بوده که در همبری با توده گرانیتوئیدی در الیگوسن دچار سیلیسی شدن و دگرگونی همبری شده‌اند. در زیر واحد دگرگونی به تفصیل مورد بحث قرار گرفته‌اند.

### ۲-۱-۱- واحد (Pzm) :

این واحد متشکل از استارولیت شیست، مسکوویت شیست گارنت‌دار، سنگ آهک‌های دگرگونه (که به طور بین لایه‌ای با میکاشیست‌ها قرار گرفته‌اند) و بعضًا ماسه‌سنگ‌های دگرگونه است. استارولیت شیست‌ها دارای بافت پورفیروبلاستیک و مسکویت شیست‌های گارنت دار دارای بافت لپیدوبلاستیک می‌باشند. در برخی از این سنگ‌ها گارنت‌ها به نسبت درشت‌دانه و تا اندازه‌ای دارای ارزش اقتصادی می‌باشند. ماسه‌سنگ‌های دگرگونه دارای لایه‌بندی واضحی بوده و ضخامت طبقات آنها بین ۱۵ تا ۱۰ متر است. با توجه به پاراژنز کانی شناختی دیده شده و نوع سنگ‌های دگرگونه می‌توان نتیجه گرفت که بخشی از سنگ‌مادر سنگ‌های دگرگونه در گستره منطقه مورد مطالعه ترکیب پلیتی داشته‌اند. با توجه به حضور استارولیت می‌توان نتیجه گرفت که دگرگونی از رخساره شیست سبز نیز فراتر رفته و به بخش زیرین رخساره آمفیبولیت رسیده است. سنگ‌های دگرگونه احتمالاً متعلق به پالئوزوئیک هستند. در رابطه با زمان دگرگونی سنگ‌های یاد شده با توجه به آنکه رخداد دگرگونی کیمرین پیشین در لوت دارای اهمیت زیادی بوده و از آنجا که منطقه مورد مطالعه در بخش شمال خاوری لوت قرار می‌گیرد لذا چنین به نظر می‌رسد که رخداد دگرگونی در رابطه با فاز کوهزایی کیمرین پیشین باشد.

## ۲-۱-۲- واحد (Css) :

این واحد که متعلق به پالئوزوئیک می‌باشد در قسمت‌های شمالی منطقه رخنمون یافته است. واحد مذکور متشکل از شیل‌های چین‌خورده خاکستری مایل به آبی تیره (یا سبز زیتونی) با لایه‌بندی نازک تا متوسط، ماسه‌سنگ‌های با رنگ هوازدگی خاکستری مایل به سبز بطور محلی کنگلومراپی در طبقاتی به ضخامت چند دسی‌متری تا چندمتري و میان لایه‌های سنگ آهکی ماسه‌ای ریزدانه است. واحدهای سنگی مذکور تحت تاثیر دگرگونی ناحیه‌ای بسیار ضعیفی قرار گرفته است و در شیل‌ها و ماسه‌سنگ‌ها فولیاسیون ضعیفی بوجود آمده است. ضخامت تقریبی این واحد بالغ بر ۶۰۰ متر است (شکل ۱-۲).

## ۲-۲-۲- سنوزوئیک

بطور کلی دوره پالئوسن- ائوسن در گستره نقشه با سنگ‌های آتشفسانی و ولکانوکلاستیک مختلف مشخص می‌شود که با توجه به شرایط سنی و ترکیبی می‌توان آنها را به ۳ واحد تقسیم نمود:

**الف- واحد زیرین (PEa):** که احتمالاً متعلق به پالئوسن- ائوسن پایینی می‌باشد. این واحد متشکل از آندزیت‌های پورفیری و ریزدانه، آگلومرا، ریوداسیت، میان لایه‌های کنگلومراپی و ماسه سنگی، توف‌ها و برش‌های آتشفسانی بوده و نشان‌دهنده نخستین فاز فوران سنگ‌های آتشفسانی در محدوده مورد مطالعه است که این فعالیت آتشفسانی در محیط دریابی کم عمق یا خشکی انجام گرفته است [سازمان زمین‌شناسی، ۲۰۰۵]

**ب- ولکانوکلاستیک‌های واحد میانی (Ets):** رخنمون این واحد در بخش‌های مرکزی منطقه مورد بررسی بوده و متشکل از یک سکانس ولکانوکلاستیک به سن ائوسن پایینی تا میانی است. این توالی ولکانوکلاستیک از کنگلومرا، کنگلومراپی توفی، ماسه سنگ توفی، سیلتستون و سیلتستون توفی تشکیل شده است. سنگ‌های این واحد از لایه‌بندی خوبی برخوردار بوده که این لایه‌بندی به طور منظم تکرار می‌شود. کنگلومراهای این واحد از جورش‌دگی خوب برخوردار نیستند. قطعات این

کنگلومرا به طور عمد شامل سنگ‌های آتشفشاری آندزیتی، تراکیتی و قطعات سنگ‌های گرانیتی می‌باشد. بیشینه قطر قطعات این کنگلومرا به ۱۰ سانتی متر نیز می‌رسد و ضخامت لایه‌های آن حداقل ۳۰ سانتی متر است. واحدهای ماسه‌سنگی این واحد از نوع لیت‌آرنايت فلدوسپاتی نارس هستند که حاوی قطعاتی از سنگ‌های رسوبی آتشفشاری و دگرگونی می‌باشند. بیشترین ضخامت این لایه‌های ماسه‌سنگی ۲۰ سانتی متر است. این واحد به طور عمد اپی‌کلاستیک است که ویژگی نهشتلهای فیلیشوئیدی را نیز تا اندازه‌ای دارد [سازمان زمین‌شناسی، ۲۰۰۵].

**ج- منطقه واحد بالایی (Eba):** این واحد که نشان‌دهنده آخرین فاز فوران آتشفشاری در گستره منطقه مورد مطالعه است، در بخش شرقی منطقه رخنمون دارد و شامل آندزیت بازالت‌ها، آندزیت‌ها، بازالت‌ها و برش‌های آتشفشاری است. ضخامت تقریبی این واحد حدود ۶۰۰ متر بوده و بطور کلی نسبت به سنگ‌های آتشفشاری واحد PEA تازه‌تر و با هوازدگی کمترند. با توجه به وجود درزه‌های ستونی در سنگ‌های آتشفشاری این واحد و نبود لایه‌های رسوبی همراه با این سنگ‌ها و همچنین نبود ساختار بالشی در بازالت‌ها و همچنین طبیعت به نسبت تازه‌تر این سنگ‌ها (شواهد صحرایی) به نظر می‌رسد که سنگ‌های این واحد در محیط خشکی فوران نموده‌اند. آندزیت بازالت‌ها دارای بافت پورفیری‌اند و خمیره آنها دارای بافت اینترسرتال یا میکرولیتی است. پلازیوکلاز تنها کانی درشت بلور قابل تشخیص در این سنگ‌ها است و کانی‌های مافیک به کانی‌های ثانویه تبدیل شده و تنها قالب آنها به جای مانده است. مهمترین کانی‌های این سنگ‌ها کانی‌های کربناته، اکسیدهای آهن، کلریت و سریسیت می‌باشند. بازالت‌های این واحد دارای بافت پورفیری و خمیره‌های اینترسرتال هستند. کانی‌های عمد این سنگ‌ها پلازیوکلاز و پیروکسن بوده و بعضًا اولیوین نیز مشاهده می‌شود [سازمان زمین‌شناسی، ۲۰۰۵].

### **۲-۳-۲- سنگ‌های آذرین درونی و نیمه ژرف**

رخمنون سنگ‌های آذرین درونی در قسمت شمال غربی منطقه به چشم می‌خورد. کهن‌ترین رخداد نفوذی در منطقه مربوط به یک توده گرانیتی کوچک است که به داخل واحد Pzm نفوذ کرده است (شکل ۲-۳). با توجه به همسانی بافتی و کانی شناختی این توده کوچک با توده نفوذی گیسور [ ورقه نوده " سازمان زمین شناسی، ۱۳۸۰ " ] این توده به کرتاسه بالایی نسبت داده شده است.

### **۲-۳-۱- واحد (mgr) :**

این واحد که در بخش شمال غربی منطقه قرار گرفته است (شکل ۳-۲) متشکل از مونزوگرانیت‌های کمی خردشده است. آثاری از دگرسانی در برخی مناطق در سنگ‌های این واحد دیده می‌شود که فاقد گسترش جانبی است. مونزودیوریت‌ها دارای بافت هیپیدیومورفیک گرانولار تا میکروگرانولار بوده و در بعضی نمونه‌ها بافت میکروگرافیکی نیز دیده می‌شود. کانی‌های متشکله این سنگ‌ها به ترتیب فراوانی پلاژیوکلاز، فلدسپات پتاسیک، کوارتز و بیوتیت می‌باشند.

### **۲-۳-۲- واحد (gd) :**

این واحد بطور عمده متشکل از گرانودیوریت‌های گرانولار، میکروگرانیت و گرانیت بوده و در شمال‌غرب منطقه رخمنون دارد (شکل ۲-۱). گرانودیوریت‌ها متشکل از پلاژیوکلاز، کوارتز، هورنبلند، فلدسپات پتاسیک و بیوتیت می‌باشند.

### **۲-۴-۲- کواترنر**

### **۲-۴-۱- واحد (Qf) :**

این واحد شامل انباشت‌های آبرفتی در دامنه ارتفاعات و مخروط افکنه‌ها و رسوبات واریزهای است. واحد مذکور در گوشه شمال‌شرقی منطقه جای گرفته است.

### ۳-۲- وضعیت ساختاری و زمین‌شناسی ساختمانی منطقه

بر اساس مطالعات زمین‌شناسی صورت گرفته در مقیاس ۱:۱۰۰،۰۰۰ منطقه زوزن [سازمان زمین‌شناسی، ۲۰۰۵] با توجه به اینکه محدوده مورد مطالعه در بخش شمال خاوری بلوک لوت جای می‌گیرد، لذا تحولات ساختاری آن نیز بایستی متأثر از تحولات ساختاری بلوک لوت باشد. مانند این ترشیز گسترده (فعالیت‌های آتشفسانی و نفوذی) همراه با برونزد گسترده سنگ‌های دگرگونی ناحیه‌ای از ویژگی‌های این منطقه است. در بخش‌های شمالی منطقه برونزدی از سنگ‌های دگرگونی مربوط به پی‌سنگ پالئوزوئیک مشخص است. سنگ‌های منتبه به سازند سردر (واحد CSS) و سنگ‌های دگرگونی واحد Pzm دچار چین‌خوردگی شده‌اند و در واحد Pzm یک نسل چین‌خوردگی را می‌توان مشاهده کرد. این چین‌ها در ابعاد سانتی‌متر و از نوع جناغی هستند. در مقاطع میکروسکوپی در سنگ‌های دگرگونی واحد Pzm یک نسل شیستوزیته واضح را می‌توان دید. در سنگ‌های ولکانوکلاستیک واحد Ets چین‌خوردگی‌های به نسبت ملایمی مشاهده می‌شود. بطور کلی گسل‌های مشاهده شده در محدوده مورد بررسی از دو روند غالب NE-SW و NNW-SSE پیروی می‌نمایند، هرچند که گسل‌هایی با روند خاوری-باخته نیز دیده می‌شوند. این گسل‌ها بیشتر از نوع امتداد لغز با مؤلفه شبیه (مورب لغز) هستند که به نظر می‌رسد جابجایی امتدادی آنها بیشتر از جابجایی عمودی آنها باشد. گسل‌هایی با روند NNW-SSE بطور کلی از جنوب (در داخل واحدهای آتشفسانی) به سمت شمال (در داخل توده گرانیتوئیدی) قابل مشاهده هستند. این گسل‌ها بیشتر دارای حرکت چپگردند. گسل‌هایی با روند NE-SW در داخل سنگ‌های آتشفسانی و نفوذی مشاهده می‌شوند که این گسل‌ها نیز در بعضی موارد دارای حرکت چپگردند و گسل‌های پیشین را جابجا نموده‌اند.

دگرگونی رخ داده در سنگ‌های واحد Pzm و دگرگونی بسیار ضعیف در سنگ‌های منتبه به سازند سردر به احتمال زیاد تحت تأثیر رخداد تکتونیکی کیمرین پیشین روی داده‌اند. در پالئوسن-ائوسن بطور کلی وضعیت فشاری حاکم نبوده است و آتشفسانی گسترده تا ائوسن بالایی ادامه داشته

است. با توجه به اینکه سنگ‌های آتشفشانی بروند یافته در محدوده مورد مطالعه تمایلات کالکوآلکالن نشان می‌دهند، بنظر می‌رسد ماقمatisم روی داده در گستره مورد مطالعه بطور کلی یک ماقمatisم مرتبط با فرورانش باشد.

#### ۴-۲-زمین‌شناسی اقتصادی و پتانسیل‌های معدنی منطقه

به استناد مطالعات زمین‌شناسی ۱:۱۰۰،۰۰۰ منطقه روزن [ازامان زمین‌شناسی، ۲۰۰۵] و با توجه به آثار سرباره‌های به نسبت زیادی که در محدوده به چشم می‌خورد به نظر می‌رسد که در زمان‌های گذشته فعالیت معدنکاری بر روی این ان迪س‌ها صورت گرفته و با توجه به نداشتن بازده رها شده‌اند. با توجه به اینکه توده گرانیتوئیدی زوزن متعلق به تیپ I و در ارتباط با محیط فرورانش است لذا احتمال کانی‌سازی بالایی از چنین توده‌ای انتظار می‌رود. در زیر بطور خلاصه به ان迪س‌های معدنی دیده شده اشاره می‌گردد.

#### ۴-۱-آثار معدنی مشاهده شده در جنوب باختر - باختر به بروز

بدلیل نفوذ توده گرانیتوئیدی زوزن در سنگ‌های دربرگیرنده و در حاشیه توده آثاری از کانی‌سازی مشاهده شده است. بعضی از این آثار توسط فعالیت‌های معدنکاری قدیمی مورد کندوکاو قرار گرفته‌اند. مهمترین اثر معدنی مشاهده شده در جنوب باختر به بروز در محلی موسوم به قال حاجی دیده می‌شود. ترانشه‌ای به طول ۲۵ متر، عرض ۳ متر و عمق ۲/۵ متر در داخل یک سنگ آذرین اسیدی حفر شده است. کانی‌سازی در حاشیه توده گرانیتوئیدی و سنگ‌های CSS صورت گرفته است. رگه‌ای سیلیسی حاوی سولفید (کالکوپیریت و پیریت) به ضخامت حداقل ۴۰ سانتیمتر هدف اصلی معدنکاری قدیمی بوده است. آثار ضعیفی از دگرسانی در سنگ‌های دیواره رگه به چشم می‌خورد. روند تقریبی این ترانشه شمالی-جنوبی است. دو نمونه از بخش سیلیسی ترانشه یاد شده برداشت گردیده که عیار طلا در آنها ۳۳۰ میلی‌گرم در تن و بیشترین عیار مس ۷۵۸ گرم در تن

است. در جنوب باختر به بربارو در داخل سنگ‌های واحد CSS یک ترانشه و همچنین کنده‌کاری دیده می‌شود که در محل دپوی مواد معدنی آثاری از گالن، مالاکیت و کالکوپیریت دیده می‌شود. همچنین درنزدیکی محل مذکور و درون واحد CSS ترانشه دیگر به طول حداقل ۱۲ متر در سنگ‌های دگرسان شده حاوی رگچه‌های باریت حفر شده است. رگچه‌های باریت گسترش چندانی ندارند. رگچه‌ها و عدسی‌های کوچک دیگری از باریت نیز دیده می‌شود که با حفریات قدیمی مورد کندوکاو بیشتر قرار گرفته‌اند. در باختر به بربارو درنزدیکی همبری توهد گرانیتوئیدی با شیسته‌ها عدسی‌های کوچکی از اکسید آهن (منیتیت) شناسایی شد که فاقد ارزش اقتصادی هستند. همچنین در باختر به بربارو یک رگه سیلیسی حاوی اکسید آهن دیده می‌شود که ابعاد آن  $5 \times 20$  متر است. نمونه برداشت شده از این رگه حاوی ۳۳۰ میلی‌گرم در تن طلا می‌باشد.

#### ۲-۴-۲- اثر معدنی سبزپنبه

اثر معدنی سبزپنبه در داخل سنگ‌های آتشفسانی آندزیتی آمیگدالوئیدال دیده می‌شود. باریت و فلوریت در این سنگ‌ها به صورت رگچه‌هایی با ضخامت چند سانتی‌متری قرار دارند. نمونه برداشت شده از این محل فاقد نتایج با ارزش بوده است.

#### ۲-۴-۳- اثر معدنی حمزه هورا (حدفاصل پنبه سبز و خلط آباد)

حدفاصل پنبه سبز و خلط آباد در داخل سنگ‌های آتشفسانی آندزیتی یک رگه سیلیسی- لیمونیتی به ابعاد  $20 \times 1$  متر قرار دارد که بر اساس مطالعات انجام شده  $0/7$  درصد مس ،  $0/2$  درصد سرب و ۴۲ میلی‌گرم در تن طلا دارا بوده است. افرون بر این در چند جای دیگر در داخل واحدهای آتشفسانی منطقه آثاری از مالاکیت دیده می‌شود که فاقد ارزش اقتصادی هستند.

## ۲-۵- کانی‌سازی تیپ پلی‌متالیک رگه‌ای

نفوذی‌های کالکوآلکالن تا آلکالن، دیوریت تا گرانودیوریت، مونزونیت تا مونزوگرانیت که بصورت توده‌های نفوذی کوچک و یا دسته دایک‌های نفوذی در سنگ‌های رسوبی و دگرگونی تزریق می‌شوند، سنگ درونگیر مناسبی را تشکیل می‌دهند. این واحدها ممکن است بصورت نفوذی‌های ساب ولکانیک استوانه‌ای شکل و دودکش‌های آتشفشانی با ترکیب آندزیت تا ریولیت ظاهر شوند [حسنی پاک ۱۳۷۹].

برش‌ها و شکستگی‌های نزدیک سطح و درون هاله‌های گرمابی وابسته به گنبدهای نفوذی کوچک محیط مناسب برای تشکیل آنهاست. توسعه زون‌هایی با نفوذپذیری زیاد، در مجاورت با توده نفوذی، گسل‌های متقطع و زون‌های برشی از عوامل کنترل کننده کانسنگ هستند. امکان تشکیل توده‌هایی از این نوع در مکان‌هایی که عوامل ساختمانی سنگ‌های کربناتی را قطع می‌کنند بیشتر است [حسنی پاک، ۱۳۷۹؛ Baumgartner<sup>1</sup>، ۲۰۰۸].

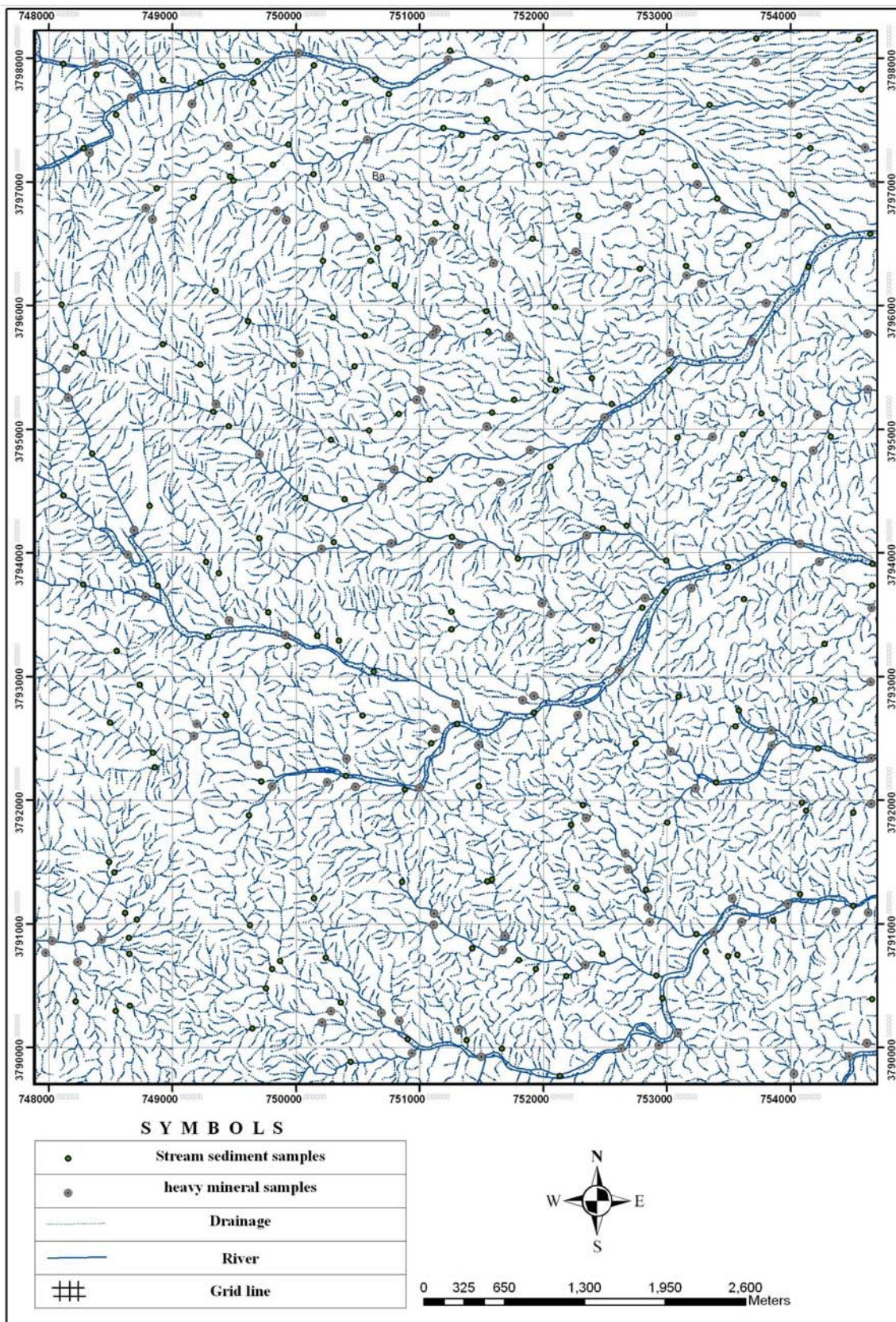
پوسته‌های نازکی از اکسیدمنگنز و اکسیدآهن (گوسن‌های ضعیف)، پیدایش کربناتهای سرب و روی و سولفات سرب، پیدایش مقدار زیادی لبپرهای کوارتزی در خاک، پیدایش طلا در رسوبات رودخانه‌ای و خاکها از آثار هوازدگی آنهاست. در زون غنی‌شدگی سوپرژن این تیپ کانی‌سازی‌ها ممکن است نقره آزاد با عیار بالا یافت شود [ژانگ و همکاران<sup>۲</sup>، ۱۹۹۰]. این حالت وقتی رخ می‌دهد که در محیط کربنات زیاد نباشد. از کانسارهای وابسته می‌توان به مس-مولیبden پوروفیری، مولیبden پوروفیری کم فلوئور و پلی‌متالیک جانشینی نام برد. احتمال اینکه در این مناطق طلای پلاسرو نیز تشکیل گردد وجود دارد [حسنی پاک، ۱۳۷۹].

<sup>1</sup> Baumgartner  
<sup>2</sup> Zhang et al

## ۶-۲- شبکه نمونه برداری منطقه مورد مطالعه

طراحی شبکه نمونه برداری این پروژه بگونه‌ای بوده است که نمونه‌های برداشت شده از منطقه حداکثر سازگاری را با عواملی نظیر چینه‌شناسی، سنگ‌شناسی و تکتونیک داشته باشد. برای این منظور در مناطق دارای پتانسیل معدنی محتمل همانند اطراف توده‌های نفوذی و خروجی و کنتاکتها، نواحی اطراف گسلها و تقاطع آنها، زونهای دگرسان شده و بخش فوقانی توده‌های نفوذی غیر عمیق (به استناد نقشه ژئوفیزیک هوایی موقعیت توده‌ها مشخص است) تراکم شبکه نمونه برداری بالاتر در نظر گرفته شده است. در کل تعداد ۳۲۳ نمونه ژئوشیمیایی از بخش زیر الک ۸۰ مش و تعداد ۱۳۹ نمونه کانی سنگین از بخش زیر الک ۲۰ مش رسوبات رودخانه‌ای منطقه برداشت شده است به طور متوسط در سطح منطقه نمونه‌های رسوبات آبراهه‌ای (با تراکم ۵ نمونه به ازای هر کیلومتر مربع) و نمونه‌های کانی سنگین (۲ نمونه به ازای هر کیلومتر مربع) می‌باشند (شکل ۴-۲). با توجه به تجربیات بدست آمده در اکتشافات ژئوشیمیایی در مقیاس نیمه تفصیلی مناسب‌ترین مقدار کانی سنگین برداشته شده از رسوبات آبرفتی در حد ۵ تا ۱۰ لیتر نمونه الک شده از عمق ۱۰ سانتی‌متر می‌باشد. در مواردی که محل نمونه برداری خیس باشد نمونه‌ها بصورت درهم و در حجمی حدود ۱۰ تا ۲۰ لیتر و از رسوبات درشت دانه برداشت می‌گردد [کان ایران، ۱۳۸۸].

بعد از مطالعات و شناسایی مناطق آنومال، به منظور چک‌آنومالی اقدام به برداشت نمونه‌های سنگی گردیده است [مهندسين مشاور کان ایران، ۱۳۸۸]. برای این منظور، تعداد ۶۹ نمونه از واحدهای سنگی برداشت شده است. نتایج آنالیز این نمونه‌ها در پیوست شماره ۴ آورده شده است.



شکل (۲-۲): نقشه محل نمونه‌های برداشت شده از سطح منطقه زوزن [کان ایران، ۱۳۸۸]

## ۷-۲-آماده سازی و آنالیز نمونه های ژئوشیمیایی

نمونه های آبراهه ای برداشت شده پس از کنترل شماره سریال به منظور آماده سازی برای شرکت کان پژوه ارسال گردیده است. در این مرحله ذرات زیر الک ۲۰۰ مش بمنظور برداشت نمونه های میلی گرمی آزمایشگاهی مورد استفاده قرار گرفته است. کلیه نمونه های ژئوشیمیایی بجز عنصر طلا مورد آماده سازی (انحلال با تیزاب سلطانی) قرار گرفته و برای ۵۱ عنصر با روش ICP-MS مورد آنالیز قرار گرفتند. حد قابل ثبت آزمایشگاه برای عناصر در جدول (۱-۲) آورده شده است.

جدول (۱-۲) : حد حساسیتهای رعایت شده در پروژه وزن II [کان ایران، ۱۳۸۸].

Element	Au	Ag	Al	As	B	Ba	Be	Bi
Detection Limit	0.001-10	0.01-100	0.01-15%	0.1-10000	10-10000	10-10000	0.05-100	0.01-10000
Element	Ca	Cd	Ce	Co	Cr	Cs	Cu	Fe
Detection Limit	0.01-15%	0.01-500	0.02-500	0.1-10000	1-10000	0.05-500	0.2-10000	0.01-15%
Elnteme	Ga	Ge	Hf	Hg	In	K	La	Li
Detection Limit	0.05-10000	0.05-500	0.02-500	0.01-10000	0.005-500	0.01-10%	0.2-10000	0.1-500
Element	Mg	Mn	Mo	Na	Nb	Ni	P	Pb
Detection Limit	0.01-15%	5-10000	0.05-10000	0.01-10%	0.05-500	0.2-10000	10-10000	0.2-10000
Elnteme	Rb	Re	S	Sb	Sc	Se	Sn	Sr
Detection Limit	0.1-500	0.001-50	0.01-10%	0.05-10000	0.1-10000	0.2-1000	0.2-500	0.2-10000
Element	Ta	Te	Th	Ti	Tl	U	V	W
Detection Limit	0.01-500	0.01-500	0.2-500	0.005-10%	0.02-10000	0.05-10000	1-10000	0.05-10000
Element	Y	Zn	Zr	* عناصری که با درصد مشخص نشده است به گرم در تن می باشند.				
Detection Limit	0.05-500	2-10000	0.5-500					

بخشی از نتایج آنالیز شیمیایی نمونه ها در پیوست ۱ گزارش آورده شده است.

نمونه های کانی سنگین بعد از جدایش با محلولهای سنگین (برم فرم) مورد مطالعه قرار گرفته و کانیهای مذکور شناسایی شده اند. بخشی از جدول نتایج مطالعه کانیهای سنگین در پیوست ۲ گزارش بعنوان نمونه آورده شده است.

## فصل سوم

تجزیه و تحلیل آماری

بر روی داده های کل منطقه

## ۱-۳- مقدمه

امروزه در قلمرو علوم و فنونی که با داده‌های زیادی سروکار دارند مطالعات آماری داده‌ها بصورت اجتناب‌ناپذیر درآمده است. در شاخه‌های مختلف اکتشاف، اکتشافات ژئوشیمیایی که با تعداد زیادی از داده‌ها و متغیرها سروکار دارد از این امر مستثنی نمی‌باشد. مرحله پردازش داده‌ها طی فصول سلسله‌وار از فایل‌بندی داده‌های خام، مراحل شناسایی و جایگزینی داده‌های سنسورد تا مطالعات آماری تک‌متغیره و چندمتغیره ادامه دارد و در این راه تداوم این سلسله و پیگیری نتایج هر مرحله در مرحله بعدی امری اجتناب‌ناپذیر می‌نماید. اصول پردازش داده‌ها، باهدف تفهیم آسانتر نتایج، نمایش بهینه داده‌های فراوان و متغیرهای گوناگون، تلفیق داده‌ها و اخذ بهترین نتیجه با استفاده از یک فضای  $n$  بعدی (در مراحل داده‌پردازی چندمتغیره) و ... انجام خواهد شد.

زیر بنای اساسی همه گزارش‌هایی که بر مبنای داده‌های کمی پایه‌ریزی شده‌اند پردازش داده‌ها و انطباق آن با نتایج برداشتهای صحرایی (مطالعات کانی‌های سنگین و کنترل ناهنجاری‌ها) است که این امر دسترسی به اهداف اکتشافی را آسان خواهد نمود.

## ۲-۳- فایل بندی داده‌های خام و جایگزینی داده‌های سنسورد

به منظور ویرایش داده‌ها، اطلاعات مربوط به هر نمونه بهمراه مشخصات آن در محیط Excel فایل‌بندی شده است. به عنوان نمونه بخشی از آنالیز نمونه‌ها در پیوست شماره ۱ آمده است. داده‌های سنسورد داده‌هایی را شامل می‌شود که خارج از حد حساسیت دستگاه قرار می‌گیرند و بصورت کمی بیان نمی‌شوند. برخی از روش‌های جایگزینی این داده‌ها در ادامه معرفی گردیده است.

## الف- روش بیشترین درست‌نمایی کوهن<sup>۱</sup>

در این روش مقادیر سنسورد بوسیله میانگین مقادیری که بدلیل محدودیت دستگاه اندازه‌گیری بصورت سنسورد گزارش شده‌اند جایگزین می‌گردد. روش محاسبه به اینصورت است که بر اساس داده‌های غیرسنسورد، میانگین جامعه کل (سنسورد و غیرسنسورد) تخمین زده می‌شود و سپس از روی آن میانگین جامعه سنسورد محاسبه می‌شود. در نهایت مقادیر سنسورد با میانگین بدست آمده برای آنها جایگزین می‌گردد. میانگین و پراش جامعه کل داده‌ها (سنسورد و غیرسنسورد) بصورت زیر تخمین زده می‌شود [سانفورد، ۱۹۹۳]

$$X_t = X_u - \lambda (X_u - X_0) \quad (1-3)$$

$$S_t^2 = S_u^2 - \lambda (X_u - X_0)^2 \quad (2-3)$$

میانگین جامعه داده‌های غیرسنسورد،  $X_0$  حد حساسیت دستگاه اندازه‌گیری (مرز پائینی  $X_u$  حد حساسیت)،  $X_t$  میانگین کل داده‌ها،  $S_t^2$  پراش جامعه کل داده‌ها،  $S_u^2$  پراش جامعه داده‌های غیرسنسورد و بالاخره  $\lambda$  بصورت تابعی از دو متغیر از پیش تعیین شده ( $h$  و  $\gamma$ ) قابل محاسبه می‌باشد (جدول ۱-۳). مقادیر  $h$  و  $\gamma$  از روابط زیر قابل محاسبه می‌باشند [سانفورد، ۱۹۹۳].

$$h = (n_t - n_u) / n_t \quad (3-3)$$

$$\gamma = S_u^2 / (X_u - X_0) \quad (4-3)$$

در روابط فوق  $n_t$  تعداد کل مشاهدات (سنسورد و غیرسنسورد) و  $n_u$  تعداد مشاهدات غیرسنسورد است. مقدار  $h$  نسبت داده‌های سنسورد به کل داده‌ها است که همواره عددی بین ۰ و ۱ می‌باشد.  $\gamma$  بنوعی ویژگیهای انحراف معیار و پراش استاندارد شده را نشان می‌دهد. رابطه میانگین کل داده‌ها یا میانگین جوامع سنسورد و غیرسنسورد را می‌توان بصورت زیر نوشت [سانفورد، ۱۹۹۳].

$$n_t \cdot X_t = n_c X_c + n_u X_u \quad (5-3)$$

<sup>1</sup> Cohen  
<sup>2</sup> Sanford

که در  $n_c$  تعداد مشاهدات سنسورد و  $X_c$  میانگین داده‌های واقعی جامعه سنسورد است. رابطه

فوق دلالت بر آن دارد که میانگین کل داده‌ها نوعی میانگین وزن دار از میانگین داده‌های سنسورد و میانگین داده‌های غیرسنسورد است. بنابراین با داشتن مقادیر میانگین کل و میانگین داده‌های

غیرسنسورد، می‌توان میانگین جامعه داده‌های سنسورد را بدست آورد [سانفورد، ۱۹۹۳]:

$$X_c = (n_t X_t + n_u X_u) / n_c \quad (6-3)$$

جدول (۳-۱): مقادیر تابع کمکی  $\lambda$  برای تخمین مقادیر سنسورد به روش کوهن

$h$	$\gamma = 0/10$	$\gamma = 0/05$	$\gamma = 0/10$	$\gamma = 0/15$	$\gamma = 0/20$	$\gamma = 0/25$	$\gamma = 0/30$	$\gamma = 0/35$	$\gamma = 0/40$	$\gamma = 0/45$
$0/0/1$	$0/0/1+1/0$	$0/0/10/05$	$0/0/10/95$	$0/0/11/11$	$0/0/11/16$	$0/0/11/95$	$0/0/12/24$	$0/0/12/52$	$0/0/12/78$	$0/0/13/48$
$0/0/2$	$0/0/2+0/3$	$0/0/21/21$	$0/0/22/8$	$0/0/22/79$	$0/0/22/46$	$0/0/24/08$	$0/0/24/57$	$0/0/25/21$	$0/0/25/74$	$0/0/26/24$
$0/0/3$	$0/0/3+0/4$	$0/0/32/23$	$0/0/33/8$	$0/0/34/87$	$0/0/35/23$	$0/0/37/85$	$0/0/38/0$	$0/0/38/88$	$0/0/39/57$	$0/0/40/47$
$0/0/4$	$0/0/4+1/5$	$0/0/42/35$	$0/0/43/90$	$0/0/44/32$	$0/0/47/87$	$0/0/48/85$	$0/0/49/02$	$0/0/49/11$	$0/0/50/17$	$0/0/51/18$
$0/0/5$	$0/0/5+2/6$	$0/0/52/57$	$0/0/56/50$	$0/0/58/47$	$0/0/59/95$	$0/0/61/03$	$0/0/62/71$	$0/0/63/30$	$0/0/64/85$	$0/0/65/49$
$0/0/6$	$0/0/6+3/7$	$0/0/65/61$	$0/0/68/48$	$0/0/70/59$	$0/0/72/54$	$0/0/74/77$	$0/0/76/11$	$0/0/77/76$	$0/0/79/33$	$0/0/80/85$
$0/0/7$	$0/0/7+4/8$	$0/0/78/91$	$0/0/80/57$	$0/0/82/37$	$0/0/84/28$	$0/0/87/71$	$0/0/89/37$	$0/0/91/36$	$0/0/93/19$	$0/0/96/65$
$0/0/8$	$0/0/8+5/9$	$0/0/89/87$	$0/0/92/05$	$0/0/95/53$	$0/0/96/22$	$0/0/10/05$	$0/0/10/35$	$0/0/10/75$	$0/0/10/95$	$0/0/11/35$
$0/0/9$	$0/0/9+6/0$	$0/0/10/97$	$0/0/10/54$	$0/0/11/13$	$0/0/11/08$	$0/0/11/67$	$0/0/11/75$	$0/0/11/85$	$0/0/12/15$	$0/0/12/37$
$0/0/10$	$0/0/11+7/0$	$0/0/11/11$	$0/0/11/10$	$0/0/11/13$	$0/0/11/15$	$0/0/11/17$	$0/0/11/19$	$0/0/11/21$	$0/0/11/23$	$0/0/11/25$
$0/0/11$	$0/0/12+8/1$	$0/0/12/14$	$0/0/12/14$	$0/0/12/46$	$0/0/12/77$	$0/0/13/04$	$0/0/13/11$	$0/0/13/25$	$0/0/13/45$	$0/0/13/87$
$0/0/12$	$0/0/13+9/2$	$0/0/12/45$	$0/0/14/89$	$0/0/14/80$	$0/0/14/60$	$0/0/14/40$	$0/0/14/20$	$0/0/14/00$	$0/0/13/80$	$0/0/12/51$
$0/0/13$	$0/0/14+10/3$	$0/0/14/35$	$0/0/14/89$	$0/0/14/80$	$0/0/14/60$	$0/0/14/40$	$0/0/14/20$	$0/0/14/00$	$0/0/13/80$	$0/0/12/51$
$0/0/14$	$0/0/15+11/4$	$0/0/15/25$	$0/0/15/74$	$0/0/15/65$	$0/0/15/45$	$0/0/15/25$	$0/0/15/05$	$0/0/14/85$	$0/0/14/65$	$0/0/14/45$
$0/0/15$	$0/0/16+12/5$	$0/0/16/25$	$0/0/16/74$	$0/0/16/65$	$0/0/16/45$	$0/0/16/25$	$0/0/16/05$	$0/0/15/85$	$0/0/15/65$	$0/0/15/45$
$0/0/16$	$0/0/17+13/6$	$0/0/17/25$	$0/0/17/74$	$0/0/17/65$	$0/0/17/45$	$0/0/17/25$	$0/0/17/05$	$0/0/16/85$	$0/0/16/65$	$0/0/16/45$
$0/0/17$	$0/0/18+14/7$	$0/0/18/25$	$0/0/18/74$	$0/0/18/65$	$0/0/18/45$	$0/0/18/25$	$0/0/18/05$	$0/0/17/85$	$0/0/17/65$	$0/0/17/45$
$0/0/18$	$0/0/19+15/8$	$0/0/19/25$	$0/0/19/74$	$0/0/19/65$	$0/0/19/45$	$0/0/19/25$	$0/0/19/05$	$0/0/18/85$	$0/0/18/65$	$0/0/18/45$
$0/0/19$	$0/0/20+16/9$	$0/0/20/25$	$0/0/20/74$	$0/0/20/65$	$0/0/20/45$	$0/0/20/25$	$0/0/20/05$	$0/0/19/85$	$0/0/19/65$	$0/0/19/45$
$0/0/20$	$0/0/21+17/0$	$0/0/21/25$	$0/0/21/74$	$0/0/21/65$	$0/0/21/45$	$0/0/21/25$	$0/0/21/05$	$0/0/20/85$	$0/0/20/65$	$0/0/20/45$
$0/0/21$	$0/0/22+18/1$	$0/0/22/25$	$0/0/22/74$	$0/0/22/65$	$0/0/22/45$	$0/0/22/25$	$0/0/22/05$	$0/0/21/85$	$0/0/21/65$	$0/0/21/45$
$0/0/22$	$0/0/23+19/2$	$0/0/23/25$	$0/0/23/74$	$0/0/23/65$	$0/0/23/45$	$0/0/23/25$	$0/0/23/05$	$0/0/22/85$	$0/0/22/65$	$0/0/22/45$
$0/0/23$	$0/0/24+20/3$	$0/0/24/25$	$0/0/24/74$	$0/0/24/65$	$0/0/24/45$	$0/0/24/25$	$0/0/24/05$	$0/0/23/85$	$0/0/23/65$	$0/0/23/45$
$0/0/24$	$0/0/25+21/4$	$0/0/25/25$	$0/0/25/74$	$0/0/25/65$	$0/0/25/45$	$0/0/25/25$	$0/0/25/05$	$0/0/24/85$	$0/0/24/65$	$0/0/24/45$
$0/0/25$	$0/0/26+22/5$	$0/0/26/25$	$0/0/26/74$	$0/0/26/65$	$0/0/26/45$	$0/0/26/25$	$0/0/26/05$	$0/0/25/85$	$0/0/25/65$	$0/0/25/45$
$0/0/26$	$0/0/27+23/6$	$0/0/27/25$	$0/0/27/74$	$0/0/27/65$	$0/0/27/45$	$0/0/27/25$	$0/0/27/05$	$0/0/26/85$	$0/0/26/65$	$0/0/26/45$
$0/0/27$	$0/0/28+24/7$	$0/0/28/25$	$0/0/28/74$	$0/0/28/65$	$0/0/28/45$	$0/0/28/25$	$0/0/28/05$	$0/0/27/85$	$0/0/27/65$	$0/0/27/45$
$0/0/28$	$0/0/29+25/8$	$0/0/29/25$	$0/0/29/74$	$0/0/29/65$	$0/0/29/45$	$0/0/29/25$	$0/0/29/05$	$0/0/28/85$	$0/0/28/65$	$0/0/28/45$
$0/0/29$	$0/0/30+26/9$	$0/0/30/25$	$0/0/30/74$	$0/0/30/65$	$0/0/30/45$	$0/0/30/25$	$0/0/30/05$	$0/0/29/85$	$0/0/29/65$	$0/0/29/45$
$0/0/30$	$0/0/31+27/0$	$0/0/31/25$	$0/0/31/74$	$0/0/31/65$	$0/0/31/45$	$0/0/31/25$	$0/0/31/05$	$0/0/30/85$	$0/0/30/65$	$0/0/30/45$
$0/0/31$	$0/0/32+28/1$	$0/0/32/25$	$0/0/32/74$	$0/0/32/65$	$0/0/32/45$	$0/0/32/25$	$0/0/32/05$	$0/0/31/85$	$0/0/31/65$	$0/0/31/45$
$0/0/32$	$0/0/33+29/2$	$0/0/33/25$	$0/0/33/74$	$0/0/33/65$	$0/0/33/45$	$0/0/33/25$	$0/0/33/05$	$0/0/32/85$	$0/0/32/65$	$0/0/32/45$
$0/0/33$	$0/0/34+30/3$	$0/0/34/25$	$0/0/34/74$	$0/0/34/65$	$0/0/34/45$	$0/0/34/25$	$0/0/34/05$	$0/0/33/85$	$0/0/33/65$	$0/0/33/45$
$0/0/34$	$0/0/35+31/4$	$0/0/35/25$	$0/0/35/74$	$0/0/35/65$	$0/0/35/45$	$0/0/35/25$	$0/0/35/05$	$0/0/34/85$	$0/0/34/65$	$0/0/34/45$
$0/0/35$	$0/0/36+32/5$	$0/0/36/25$	$0/0/36/74$	$0/0/36/65$	$0/0/36/45$	$0/0/36/25$	$0/0/36/05$	$0/0/35/85$	$0/0/35/65$	$0/0/35/45$
$0/0/36$	$0/0/37+33/6$	$0/0/37/25$	$0/0/37/74$	$0/0/37/65$	$0/0/37/45$	$0/0/37/25$	$0/0/37/05$	$0/0/36/85$	$0/0/36/65$	$0/0/36/45$
$0/0/37$	$0/0/38+34/7$	$0/0/38/25$	$0/0/38/74$	$0/0/38/65$	$0/0/38/45$	$0/0/38/25$	$0/0/38/05$	$0/0/37/85$	$0/0/37/65$	$0/0/37/45$
$0/0/38$	$0/0/39+35/8$	$0/0/39/25$	$0/0/39/74$	$0/0/39/65$	$0/0/39/45$	$0/0/39/25$	$0/0/39/05$	$0/0/38/85$	$0/0/38/65$	$0/0/38/45$
$0/0/39$	$0/0/40+36/9$	$0/0/40/25$	$0/0/40/74$	$0/0/40/65$	$0/0/40/45$	$0/0/40/25$	$0/0/40/05$	$0/0/39/85$	$0/0/39/65$	$0/0/39/45$
$0/0/40$	$0/0/41+37/0$	$0/0/41/25$	$0/0/41/74$	$0/0/41/65$	$0/0/41/45$	$0/0/41/25$	$0/0/41/05$	$0/0/40/85$	$0/0/40/65$	$0/0/40/45$
$0/0/41$	$0/0/42+38/1$	$0/0/42/25$	$0/0/42/74$	$0/0/42/65$	$0/0/42/45$	$0/0/42/25$	$0/0/42/05$	$0/0/41/85$	$0/0/41/65$	$0/0/41/45$
$0/0/42$	$0/0/43+39/2$	$0/0/43/25$	$0/0/43/74$	$0/0/43/65$	$0/0/43/45$	$0/0/43/25$	$0/0/43/05$	$0/0/42/85$	$0/0/42/65$	$0/0/42/45$
$0/0/43$	$0/0/44+40/3$	$0/0/44/25$	$0/0/44/74$	$0/0/44/65$	$0/0/44/45$	$0/0/44/25$	$0/0/44/05$	$0/0/43/85$	$0/0/43/65$	$0/0/43/45$
$0/0/44$	$0/0/45+41/4$	$0/0/45/25$	$0/0/45/74$	$0/0/45/65$	$0/0/45/45$	$0/0/45/25$	$0/0/45/05$	$0/0/44/85$	$0/0/44/65$	$0/0/44/45$
$0/0/45$	$0/0/46+42/5$	$0/0/46/25$	$0/0/46/74$	$0/0/46/65$	$0/0/46/45$	$0/0/46/25$	$0/0/46/05$	$0/0/45/85$	$0/0/45/65$	$0/0/45/45$
$0/0/46$	$0/0/47+43/6$	$0/0/47/25$	$0/0/47/74$	$0/0/47/65$	$0/0/47/45$	$0/0/47/25$	$0/0/47/05$	$0/0/46/85$	$0/0/46/65$	$0/0/46/45$
$0/0/47$	$0/0/48+44/7$	$0/0/48/25$	$0/0/48/74$	$0/0/48/65$	$0/0/48/45$	$0/0/48/25$	$0/0/48/05$	$0/0/47/85$	$0/0/47/65$	$0/0/47/45$
$0/0/48$	$0/0/49+45/8$	$0/0/49/25$	$0/0/49/74$	$0/0/49/65$	$0/0/49/45$	$0/0/49/25$	$0/0/49/05$	$0/0/48/85$	$0/0/48/65$	$0/0/48/45$
$0/0/49$	$0/0/50+46/9$	$0/0/50/25$	$0/0/50/74$	$0/0/50/65$	$0/0/50/45$	$0/0/50/25$	$0/0/50/05$	$0/0/49/85$	$0/0/49/65$	$0/0/49/45$
$0/0/50$	$0/0/51+47/0$	$0/0/51/25$	$0/0/51/74$	$0/0/51/65$	$0/0/51/45$	$0/0/51/25$	$0/0/51/05$	$0/0/50/85$	$0/0/50/65$	$0/0/50/45$
$0/0/51$	$0/0/52+48/1$	$0/0/52/25$	$0/0/52/74$	$0/0/52/65$	$0/0/52/45$	$0/0/52/25$	$0/0/52/0$			

## ب- روش جایگزینی ساده

روش استفاده از  $\frac{3}{4}$  مقدار سنسورد برای داده‌های با نماد کوچکتر و  $\frac{4}{3}$  برابر مقدار سنسورد برای داده‌های با نماد بزرگتر نیز روش دیگری است که اگر تعداد داده‌های سنسورد در مقابل کل داده‌ها ناچیز باشد (کمتر از ۱۰ درصد) معمولاً می‌توان از این روش استفاده کرد.

در این پژوهه، عناصر ژرمانیوم (Ge)، هافنیوم (Hf)، جیوه (Hg)، تنگستن (W) و زیرکن (Zr) به دلیل آنکه دارای کمتر از دو درصد نمونه سنسورد می‌باشند، مقادیر سنسورد آنها با  $\frac{3}{4}$  مقدار سنسورد جایگزین گردید. عنصر تانتالیم (Ta) به دلیل آنکه دارای بیش از ۹۹ درصد داده سنسورد می‌باشد و همچنین عناصر بُر (B) و رنیوم (Re) بدلیل یکنواختی داده‌های غیرسنسورد و عدم تغییرات در داده‌ها از ادامه پردازش‌ها کنار گذاشته شدند.

مقادیر سنسورد برای عناصر طلا (Au)، گوگرد (S)، تلوریوم (Te) و سلنیوم (Se) با روش بیشترین درست‌نمایی کوهن مورد محاسبه و جایگزینی قرار گرفت (جدول ۲-۳).

جدول(۳-۲) : نتایج تخمین داده های سنسورد

Variable	Au	Ag	Al	As	B	Ba	Be	Bi	Ca	Cd	Ce	Co	Cr	Cs	Cu	Fe	Ga	Ge	Hf	Hg	In	K	La	Li	Mg	Mn
	(ppm)																									
Detection Limit.	0.001	0.01	0.01%	0.1	10	10	0.05	0.01	0.01%	0.01	0.02	0.1	1	0.05	0.2	0.01%	0.05	0.05	0.02	0.01	0.005	0.01%	0.2	0.1	0.01%	5
Number of Censord Samples	73	-----	-----	-----	2	-----	-----	-----	-----	-----	-----	-----	-----	-----	-----	-----	7	2	6	-----	-----	-----	-----	-----	-----	-----
Number Of Uncensord Samples	250	323	323	323	321	323	323	323	323	323	323	323	323	323	323	316	321	317	323	323	323	323	323	323	323	323
Number of Total Samples	323	323	323	323	323	323	323	323	323	323	323	323	323	323	323	323	323	323	323	323	323	323	323	323	323	323
Replacement Value	0.00064	-----	-----	-----	-----	-----	-----	-----	-----	-----	-----	-----	-----	-----	-----	0.037	0.015	0.0075	-----	-----	-----	-----	-----	-----	-----	-----
Variable	Mo	Na	Nb	Ni	P	Pb	Rb	Re	S	Sb	Sc	Se	Sn	Sr	Ta	Te	Th	Ti	Tl	U	V	W	Y	Zn	Zr	
	(ppm)																									
Detection Limit.	0.05	0.01%	0.05	0.2	10	0.2	0.1	0.001	0.01%	0.05	0.1	0.2	0.2	0.2	0.01	0.01	0.2	0.01%	0.02	0.05	1	0.05	0.05	2	0.5	
Number of Censord Samples	-----	-----	-----	-----	-----	-----	-----	227	79	-----	-----	18	-----	-----	322	26	-----	-----	-----	-----	-----	1	-----	-----	7	
Number Of Uncensord Samples	323	323	323	323	323	323	323	96	244	323	323	305	323	323	1	297	323	323	323	323	323	323	322	323	323	316
Number of Total Samples	323	323	323	323	323	323	323	323	323	323	323	323	323	323	323	323	323	323	323	323	323	323	323	323	323	323
Replacement Value	-----	-----	-----	-----	-----	-----	-----	0.006	-----	-----	0.17	-----	-----	0.007	-----	-----	-----	-----	-----	-----	0.037	-----	-----	0.375	-----	-----

### ۳-۳-آزمون مقادیر خارج از ردیف

با توجه به اینکه انجام مراحل بعدی، به ویژه مطالعات آماری چند متغیره نیاز به جوامعی با توزیع نرمال دارد، لذا می‌بایست داده‌ها به لحاظ آماری نرمال شوند از بین روش‌های چندمتغیره، بطور اخص روش تحلیل فاکتوری به داده‌های خارج از ردیف و توزیع غیرنرمال بسیار حساس می‌باشد [پایسون<sup>۱</sup> و همکاران، ۱۹۹۹]. به منظور نرمال‌سازی، در ابتدا مقادیر خارج از ردیف در میان داده‌ها توسط روش دورفل<sup>۲</sup> شناسایی و سپس با مقادیر محاسبه شده از این روش جایگزین گردید [حسنی پاک، ۱۳۸۰].

### ۳-۳-۱-آزمون مقادیر خارج از ردیف برای داده‌های با گسترش زیاد (روش دورفل)

دورفل نموداری برای تعیین حدآستانه‌ای مقادیر خارج از ردیف تهیه کرده است. برای انجام آزمون مقادیر خارج از ردیف، میانگین(x) و انحراف معیار داده‌ها (s) بدون در نظر گرفتن بزرگترین مقدار داده‌ها محاسبه می‌شود. سپس بزرگترین مقدار داده‌ها ( $X_A$ ) در صورتی که در رابطه زیر صدق کند یک مقدار خارج از ردیف در نظر گرفته می‌شود [حسنی پاک، شرف الدین، ۱۳۸۰]:

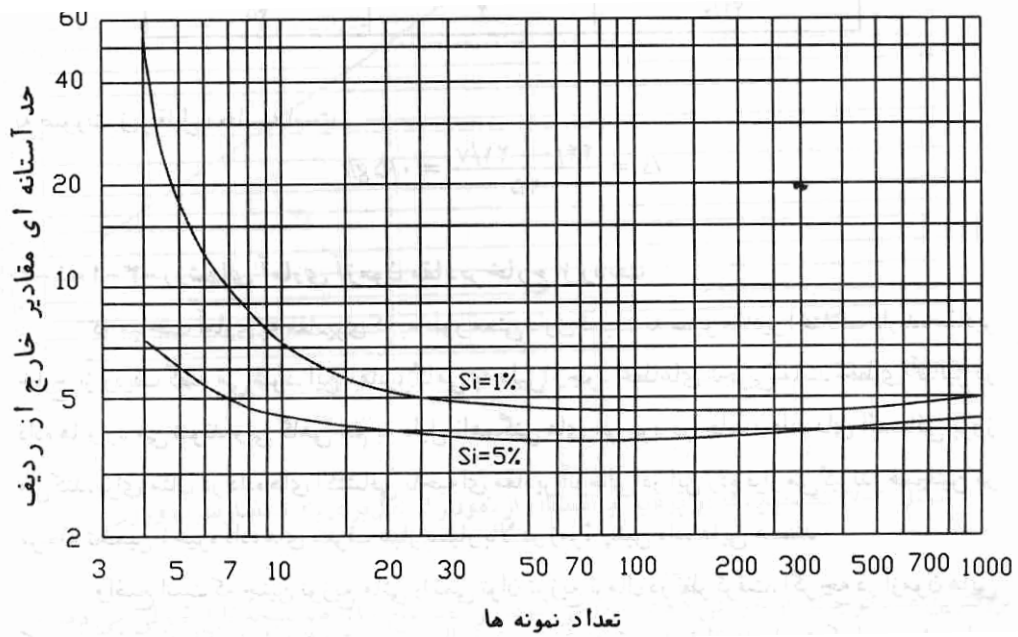
$$X_A \geq X + s.g \quad (8-3)$$

که در آن  $g$  حدآستانه‌ای مقادیر خارج از ردیف است که از شکل (۱-۳) با سطح اعتماد ۹۹٪ بدست می‌آید.

در این پژوهه برای تصحیح مقادیر خارج از ردیف (جدول ۳-۳)، آزمون بالا بر روی داده‌ها اعمال شد سپس مقادیر خارج از ردیف با آخرین مقداری که از طرف راست رابطه فوق بدست می‌آیند جایگزین گردیدند.

<sup>1</sup> Pison

<sup>2</sup> Doerffel



شکل (۳-۱): حد آستانه‌ای مقادیر خارج از ردیف به عنوان تابعی از تعداد نمونه و سطح اعتماد

جدول (۳-۳): مقادیر خارج از رده شناسایی شده با استفاده از روش دورفل

Sample	Au	Sample	Ag	Sample	As	Sample	Ba	Sample	Bi	Sample	%Ca	Sample	Cd	Sample	Ce	Sample	Cs	Sample	Cu	Sample	%Fe	Sample	Hf	Sample	In	Sample	%K	Sample	La	Sample	Li
ZZ279	0.033	ZZ299	3.63	ZZ059	24.1	ZZ231	2380.0	ZZ230	1.64	ZZ296	7.57	ZZ280	1.39	ZZ283	73.3	ZZ138	6.5	ZZ229	81.7	ZZ127	3.9	ZZ040	0.36	ZZ280	0.046	ZZ097	0.50	ZZ283	35.90	ZZ018	45.5
ZZ144	0.013	ZZ229	2.21	ZZ229	17.7	ZZ230	1870.0	ZZ231	1.35	ZZ299	6.98	ZZ218	1.35	ZZ127	68.3	ZZ012	6.4	ZZ299	71.5	ZZ018	3.2	ZZ041	0.28	ZZ299	0.040	ZZ188	0.41	ZZ127	34.20	ZZ020	40.1
ZZ280	0.013	ZZ300	1.80	ZZ300	16.0	ZZ226	660.0	ZZ299	1.12	ZZ300	6.57	ZZ208	1.30	ZZ153	66.1	ZZ135	5.8	ZZ264	70.0	ZZ308	3.1	ZZ070	0.25	ZZ231	0.038	ZZ099	0.37	ZZ153	32.90	ZZ027	38.8
ZZ277	0.009	ZZ279	1.78	ZZ299	15.4	ZZ220	590.0	ZZ265	1.06	ZZ228	6.44	ZZ279	1.12	ZZ194	64.2	ZZ203	5.7	ZZ280	65.4	ZZ303	3.1	ZZ050	0.24	ZZ224	0.038	ZZ127	0.35	ZZ194	31.60	ZZ175	36.8
ZZ298	0.009	ZZ280	1.65	ZZ227	14.6	ZZ227	580.0	ZZ220	0.87	ZZ301	6.38	ZZ217	0.93	ZZ165	63.0	ZZ159	5.7	ZZ227	61.6	ZZ202	3.1	ZZ141	0.24	ZZ279	0.038	ZZ264	0.35	ZZ159	31.10	ZZ012	36.6
ZZ218	0.008	ZZ227	1.54	ZZ226	14.3	ZZ225	550.0	ZZ300	0.86	ZZ297	6.37	ZZ175	0.89	ZZ177	62.8	ZZ055	5.6	ZZ208	59.2	ZZ100	3.1	ZZ106	0.24	ZZ001	0.037	ZZ100	0.35	ZZ165	30.90	ZZ247	35.9
ZZ272	0.007	ZZ226	1.49	ZZ228	13.5	ZZ101	370.0	ZZ226	0.82	ZZ286	6.35	ZZ224	0.88	ZZ159	62.7	ZZ279	5.3	ZZ097	58.1	ZZ082	0.23	ZZ127	0.036	ZZ196	0.35	ZZ177	30.80	ZZ137	35.7		
ZZ042	0.006	ZZ232	1.28	ZZ247	13.4	ZZ194	340.0	ZZ208	0.81	ZZ229	6.26	ZZ219	0.77	ZZ185	61.9	ZZ097	5.2	ZZ210	55.2	ZZ040	3.0	ZZ066	0.23	ZZ208	0.036	ZZ193	0.35	ZZ282	30.40	ZZ055	35.5
ZZ075	0.006	ZZ204	1.23	ZZ159	13.1	ZZ222	330.0	ZZ210	0.75	ZZ093	6.07	ZZ210	0.77	ZZ282	61.3	ZZ158	5.2	ZZ218	54.1	ZZ252	3.0	ZZ067	0.23	ZZ300	0.035	ZZ212	0.35	ZZ185	30.00	ZZ135	35.0
ZZ224	0.006	ZZ218	0.96	ZZ230	13.0	ZZ223	320.0	ZZ279	0.75	ZZ091	6.06	ZZ207	0.62	ZZ180	59.9	ZZ127	5.1	ZZ256	52.9	ZZ050	3.0	ZZ140	0.23	ZZ286	0.035	ZZ160	0.34	ZZ160	29.40	ZZ026	34.8
ZZ253	0.006	ZZ224	0.86	ZZ225	13.0	ZZ169	310.0	ZZ227	0.74	ZZ089	6.06	ZZ059	0.61	ZZ187	58.5	ZZ282	5.1	ZZ207	50.3	ZZ065	3.0	ZZ138	0.23	ZZ207	0.033	ZZ155	0.34	ZZ316	28.90	ZZ023	34.7
ZZ124	0.005	ZZ210	0.75	ZZ055	12.7	ZZ166	290.0	ZZ280	0.68	ZZ241	6.04	ZZ222	0.59	ZZ232	58.3	ZZ148	4.8	ZZ300	50.1	ZZ237	3.0	ZZ043	0.22	ZZ285	0.033	ZZ055	0.34	ZZ100	28.80	ZZ138	34.6
ZZ195	0.005	ZZ286	0.61	ZZ296	12.6	ZZ300	280.0	ZZ258	0.66	ZZ298	6.02	ZZ211	0.56	ZZ100	58.2	ZZ160	4.8	ZZ226	49.8	ZZ082	3.0	ZZ057	0.22	ZZ097	0.032	ZZ316	0.34	ZZ187	28.80	ZZ057	34.5
ZZ207	0.005	ZZ194	0.60	ZZ148	12.6	ZZ167	270.0	ZZ225	0.66	ZZ302	6.01	ZZ281	0.55	ZZ316	58.1	ZZ147	4.5	ZZ286	49.2	ZZ041	3.0	ZZ093	0.22	ZZ210	0.032	ZZ195	0.34	ZZ117	28.80	ZZ316	34.4
ZZ208	0.005	ZZ231	0.59	ZZ136	12.2	ZZ236	240.0	ZZ224	0.60	ZZ040	5.94	ZZ206	0.54	ZZ160	57.9	ZZ133	4.3	ZZ225	47.0	ZZ093	2.9	ZZ055	0.22	ZZ136	0.032	ZZ197	0.33	ZZ097	28.7	ZZ029	34.2
ZZ278	0.005	ZZ225	0.58	ZZ029	11.9	ZZ187	240.0	ZZ254	0.59	ZZ247	5.92	ZZ258	0.53	ZZ117	56.6	ZZ021	4.2	ZZ284	46.4	ZZ087	2.9	ZZ148	0.22	ZZ293	0.030	ZZ236	0.33	ZZ232	28.40	ZZ133	33.5
ZZ317	0.005	ZZ217	0.56	ZZ180	11.9	ZZ131	240.0	ZZ256	0.59	ZZ303	5.91	ZZ232	0.53	ZZ114	56.2	ZZ314	4.2	ZZ220	46.0	ZZ038	2.9	ZZ095	0.22	ZZ265	0.030	ZZ213	0.33	ZZ114	27.90	ZZ040	33.2
ZZ098	0.004	ZZ207	0.53	ZZ231	11.8	ZZ160	230.0	ZZ232	0.58	ZZ295	5.90	ZZ267	0.52	ZZ183	55.9	ZZ193	4.2	ZZ242	45.6	ZZ159	2.9	ZZ087	0.21	ZZ264	0.030	ZZ210	0.32	ZZ178	27.60	ZZ317	32.8
ZZ120	0.004	ZZ265	0.52	ZZ298	11.7	ZZ270	230.0	ZZ194	0.58	ZZ285	5.86	ZZ299	0.51	ZZ258	55.6	ZZ029	4.1	ZZ165	45.3	ZZ209	2.9	ZZ308	0.20	ZZ145	0.030	ZZ012	0.32	ZZ193	27.20	ZZ298	32.6
ZZ206	0.004	ZZ208	0.43	ZZ057	11.7	ZZ229	220.0	ZZ207	0.53	ZZ231	5.80	ZZ216	0.51	ZZ195	54.9	ZZ100	4.0	ZZ232	45.2	ZZ293	2.9	ZZ053	0.20	ZZ070	0.029	ZZ211	0.32	ZZ258	27.00	ZZ101	32.6
ZZ210	0.004	ZZ161	0.43	ZZ138	11.5	ZZ204	220.0	ZZ285	0.50	ZZ308	5.80	ZZ215	0.50	ZZ178	54.9	ZZ232	4.0	ZZ265	45.0	ZZ070	2.9	ZZ042	0.20	ZZ230	0.029	ZZ296	0.32	ZZ195	26.90	ZZ134	32.4
ZZ250	0.004	ZZ263	0.39	ZZ266	11.4	ZZ232	210.0	ZZ229	0.50	ZZ101	5.77	ZZ220	0.47	ZZ193	54.9	ZZ196	4.0	ZZ206	45.0	ZZ099	2.9	ZZ037	0.20	ZZ220	0.029	ZZ167	0.32	ZZ132	26.90	ZZ017	32.3
ZZ265	0.004	ZZ211	0.38	ZZ163	11.1	ZZ048	200.0	ZZ316	0.5	ZZ289	5.76	ZZ235	0.47	ZZ173	54.4	ZZ057	3.9	ZZ224	44.9	ZZ023	2.9	ZZ090	0.20	ZZ232	0.029	ZZ231	0.31	ZZ173	26.90	ZZ015	32.3
ZZ269	0.004	ZZ206	0.37	ZZ293	11.0	ZZ127	200.0	ZZ235	0.49	ZZ075	5.76	ZZ266	0.46	ZZ197	54.2	ZZ236	3.9	ZZ231	44.0	ZZ307	2.9	ZZ076	0.20	ZZ160	0.029	ZZ286	0.31	ZZ317	26.70	ZZ318	32.2
ZZ299	0.004	ZZ230	0.37	ZZ160	11.0	ZZ215	200.0	ZZ313	0.48	ZZ323	5.75	ZZ223	0.44	ZZ186	53.9	ZZ023	3.9	ZZ254	42.9	ZZ089	2.9	ZZ071	0.20	ZZ153	0.029	ZZ230	0.31	ZZ156	26.60	ZZ024	32.0
ZZ300	0.004	ZZ068	0.35	ZZ232	10.7	ZZ299	190.0	ZZ211	0.47	ZZ250	5.75	ZZ262	0.44	ZZ285	52.6	ZZ018	3.9	ZZ065	42.8	ZZ240	2.9	ZZ096	0.20	ZZ099	0.029	ZZ078	0.31	ZZ111	26.60	ZZ021	31.6
ZZ070	0.003	ZZ195	0.33	ZZ295	10.6	ZZ266	190.0	ZZ252	0.47	ZZ251	5.74	ZZ260	0.44	ZZ317	52.5	ZZ099	3.8	ZZ258	42.7	ZZ059	2.9	ZZ155	0.029	ZZ283	0.31	ZZ197	26.50	ZZ031	31.3		
ZZ183	0.003	ZZ127	0.33	ZZ241	10.6	ZZ267	190.0	ZZ246	0.46	ZZ063	5.74	ZZ149	0.42	ZZ174	52.5	ZZ114	3.8	ZZ285	42.6	ZZ316	2.9	ZZ127	0.19	ZZ295	0.029	ZZ194	0.31	ZZ158	26.50	ZZ296	31.3
ZZ217	0.003	ZZ235	0.32	ZZ323	10.6	ZZ087	190.0	ZZ264	0.44	ZZ051	5.74	ZZ265	0.42	ZZ132	52.5	ZZ185	3.8	ZZ230	41.9	ZZ194	2.8	ZZ012	0.19	ZZ082	0.029	ZZ025	0.31	ZZ183	26.50	ZZ070	31.3
ZZ231	0.003	ZZ097	0.31	ZZ252	10.6	ZZ104	190.0	ZZ323	0.44	ZZ065	5.73	ZZ065	0.40	ZZ284	52.4	ZZ315	3.8	ZZ103	41.5	ZZ247	2.8	ZZ052	0.19	ZZ087	0.029	ZZ250	0.31	ZZ130	26.40	ZZ059	31.3
Range (ppm)																															

ادامه جدول(۳-۳): مقادیر خارج از رده شناسایی شده با استفاده از روش دورفل

Sample	Mn	Sample	Mo	Sample	%Na	Sample	P	Sample	Pb	Sample	Rb	Sample	%S	Sample	Sb	Sample	Sr	Sample	Te	Sample	Th	Sample	%Ti	Sample	Tl	Sample	V	Sample	W	Sample	Y	Sample	Zn
2Z065	1245	2Z231	10.65	2Z018	0.12	2Z283	1020	2Z280	3880	2Z097	36.3	2Z062	0.79	2Z280	2.61	2Z274	270	2Z299	0.20	2Z165	9.0	2Z040	0.17	2Z025	0.21	2Z059	369	2Z208	0.61	2Z165	15	2Z280	965
2Z115	1210	2Z230	8.60	2Z097	0.08	2Z040	990	2Z279	3140	2Z158	28.1	2Z063	0.78	2Z229	2.58	2Z018	265	2Z312	0.17	2Z180	7.9	2Z308	0.16	2Z127	0.18	2Z237	70	2Z210	0.46	2Z153	14.6	2Z279	834
2Z267	1195	2Z220	6.58	2Z025	0.08	2Z020	920	2Z299	3050	2Z165	27.2	2Z061	0.55	2Z299	2.51	2Z296	245	2Z216	0.14	2Z153	7.9	2Z050	0.15	2Z097	0.18	2Z127	67	2Z258	0.42	2Z159	14	2Z224	639
2Z097	1190	2Z226	4.49	2Z064	0.08	2Z127	920	2Z059	2490	2Z155	27.0	2Z057	0.50	2Z279	2.11	2Z301	244	2Z210	0.14	2Z237	7.4	2Z041	0.14	2Z012	0.17	2Z065	66	2Z153	0.41	2Z247	14	2Z218	404
2Z093	1150	2Z227	3.96	2Z004	0.08	2Z077	900	2Z300	2200	2Z236	26.8	2Z058	0.47	2Z300	1.70	2Z302	238	2Z211	0.11	2Z148	7.3	2Z093	0.13	2Z028	0.17	2Z082	62	2Z275	0.40	2Z148	13	2Z299	332
2Z089	1145	2Z256	3.61	2Z023	0.08	2Z122	860	2Z224	1690	2Z160	26.5	2Z060	0.45	2Z227	1.68	2Z249	213	2Z300	0.10	2Z234	7.3	2Z106	0.13	2Z236	0.17	2Z308	62	2Z272	0.38	2Z160	13	2Z217	306
2Z099	1125	2Z280	3.29	2Z002	0.08	2Z282	860	2Z218	1670	2Z153	26.1	2Z059	0.40	2Z194	1.58	2Z231	212	2Z225	0.10	2Z160	7.2	2Z059	0.12	2Z100	0.16	2Z093	61	2Z013	0.36	2Z283	13	2Z229	305
2Z100	1115	2Z222	2.85	2Z078	0.08	2Z303	850	2Z231	1665	2Z099	25.9	2Z055	0.37	2Z283	1.57	2Z275	210	2Z218	0.10	2Z159	7.2	2Z070	0.12	2Z144	0.16	2Z018	61	2Z207	0.36	2Z138	13	2Z210	266
2Z266	1070	2Z237	2.61	2Z017	0.08	2Z018	830	2Z229	1535	2Z159	25.7	2Z054	0.34	2Z224	1.56	2Z250	205	2Z215	0.10	2Z242	7.1	2Z066	0.12	2Z160	0.16	2Z020	59	2Z265	0.35	2Z158	13	2Z219	265
2Z237	1045	2Z300	2.39	2Z013	0.08	2Z041	830	2Z227	1165	2Z127	25.3	2Z032	0.31	2Z232	1.49	2Z087	202	2Z230	0.09	2Z138	7.1	2Z082	0.12	2Z158	0.16	2Z087	58	2Z206	0.34	2Z258	13	2Z094	265
2Z098	1005	2Z225	2.29	2Z020	0.08	2Z082	830	2Z226	958	2Z167	24.8	2Z053	0.31	2Z226	1.48	2Z253	200	2Z320	0.09	2Z240	7.0	2Z094	0.12	2Z023	0.15	2Z089	58	2Z245	0.34	2Z316	13	2Z281	263
2Z094	994	2Z223	2.26	2Z066	0.08	2Z070	820	2Z207	890	2Z012	24.5	2Z056	0.29	2Z282	1.39	2Z251	196	2Z266	0.09	2Z185	6.8	2Z307	0.12	2Z055	0.15	2Z094	58	2Z209	0.33	2Z242	12	2Z232	255
2Z118	942	2Z229	2.24	2Z012	0.08	2Z023	810	2Z217	827	2Z193	24.2	2Z033	0.29	2Z286	1.21	2Z299	196	2Z209	0.08	2Z194	6.6	2Z067	0.11	2Z027	0.15	2Z064	58	2Z252	0.32	2Z232	12	2Z208	253
2Z091	933	2Z210	2.17	2Z007	0.08	2Z038	810	2Z265	825	2Z264	24.1	2Z031	0.28	2Z218	1.19	2Z228	193	2Z321	0.08	2Z232	6.4	2Z141	0.11	2Z165	0.15	2Z040	58	2Z211	0.31	2Z156	12	2Z070	243
2Z090	928	2Z241	2.10	2Z006	0.08	2Z125	810	2Z232	751	2Z055	24.1	2Z041	0.21	2Z177	1.18	2Z247	192	2Z204	0.08	2Z124	6.4	2Z095	0.11	2Z159	0.15	2Z070	57	2Z264	0.30	2Z154	12	2Z300	239
2Z210	926	2Z299	2.05	2Z231	0.07	2Z066	810	2Z230	706	2Z212	24.0	2Z030	0.21	2Z225	1.16	2Z229	191	2Z217	0.08	2Z158	6.4	2Z065	0.11	2Z103	0.15	2Z041	57	2Z213	0.30	2Z282	12	2Z222	220
2Z075	919	2Z194	2.03	2Z230	0.07	2Z008	800	2Z208	664	2Z188	23.9	2Z043	0.21	2Z169	1.13	2Z010	189	2Z296	0.07	2Z131	6.4	2Z087	0.11	2Z104	0.15	2Z066	57	2Z277	0.30	2Z097	12.3	2Z093	217
2Z076	912	2Z232	1.94	2Z166	0.07	2Z037	800	2Z210	636	2Z166	23.7	2Z034	0.21	2Z236	1.10	2Z276	189	2Z228	0.07	2Z224	6.4	2Z034	0.11	2Z196	0.15	2Z050	56	2Z267	0.29	2Z196	12	2Z048	215
2Z054	907	2Z275	1.90	2Z167	0.07	2Z050	800	2Z206	598	2Z144	23.7	2Z042	0.20	2Z210	1.04	2Z248	186	2Z322	0.07	2Z316	6.3	2Z076	0.11	2Z193	0.15	2Z060	56	2Z254	0.28	2Z240	12	2Z258	206
2Z068	906	2Z252	1.87	2Z144	0.07	2Z089	790	2Z225	576	2Z195	23.4	2Z044	0.20	2Z183	1.02	2Z252	183	2Z239	0.07	2Z123	6.3	2Z096	0.11	2Z155	0.15	2Z303	56	2Z212	0.28	2Z180	12.1	2Z080	204
2Z169	904	2Z224	1.84	2Z099	0.07	2Z115	790	2Z286	497	2Z197	23.4	2Z040	0.20	2Z185	1.01	2Z230	183	2Z284	0.07	2Z156	6.3	2Z089	0.11	2Z264	0.15	2Z100	55	2Z165	0.28	2Z224	12	2Z220	203
2Z113	901	2Z243	1.84	2Z041	0.07	2Z053	790	2Z194	485	2Z100	23.3	2Z045	0.19	2Z199	0.99	2Z020	182	2Z294	0.07	2Z097	6.3	2Z127	0.11	2Z153	0.15	2Z013	55	2Z285	0.27	2Z055	12	2Z223	203
2Z258	898	2Z267	1.82	2Z155	0.07	2Z232	790	2Z283	409	2Z232	23.0	2Z035	0.18	2Z195	0.98	2Z040	181	2Z323	0.07	2Z262	6.3	2Z053	0.11	2Z212	0.15	2Z067	55	2Z187	0.27	2Z264	12	2Z068	202
2Z242	892	2Z285	1.76	2Z038	0.07	2Z021	780	2Z219	360	2Z234	22.4	2Z052	0.17	2Z187	0.98	2Z292	180	2Z313	0.07	2Z323	6.2	2Z140	0.11	2Z175	0.14	2Z003	55	2Z279	0.27	2Z155	12	2Z159	200
2Z059	881	2Z242	1.75	2Z087	0.07	2Z126	780	2Z281	342	2Z283	22.3	2Z037	0.17	2Z159	0.92	2Z297	180	2Z231	0.06	2Z285	6.2	2Z043	0.11	2Z138	0.14	2Z068	55	2Z166	0.27	2Z252	12	2Z227	197
2Z051	879	2Z284	1.73	2Z016	0.07	2Z029	780	2Z204	341	2Z185	22.2	2Z039	0.17	2Z197	0.92	2Z314	179	2Z247	0.06	2Z258	6.2	2Z090	0.10	2Z021	0.14	2Z034	55	2Z284	0.26	2Z241	12	2Z076	192
2Z116	876	2Z279	1.71	2Z010	0.07	2Z100	780	2Z220	328	2Z224	21.9	2Z038	0.15	2Z173	0.92	2Z300	178	2Z229	0.06	2Z247	6.1	2Z084	0.10	2Z099	0.14	2Z046	55	2Z292	0.26	2Z169	12	2Z089	184
2Z191	876	2Z254	1.65	2Z083	0.07	2Z097	780	2Z256	320	2Z138	21.9	2Z051	0.13	2Z266	0.91	2Z321	177	2Z252	0.06	2Z246	6.1	2Z057	0.10	2Z194	0.14	2Z092	54	2Z246	0.26	2Z127	12	2Z267	178
2Z194	876	2Z270	1.65	2Z086	0.07	2Z099	770	2Z235	290	2Z156	21.8	2Z047	0.13	2Z285	0.91	2Z227	177	2Z227	0.06	2Z261	6.1	2Z037	0.10	2Z232	0.14	2Z307	54	2Z256	0.26	2Z285	12	2Z226	176
2Z175	873	2Z264	1.60	2Z015	0.07	2Z017	760	2Z211	288	2Z186	21.8	2Z036	0.12	2Z166	0.88	2Z089	177	2Z298	0.06	2Z273	6.0	2Z038	0.10	2Z195	0.14	2Z084	54	2Z260	0.26	2Z194	12	2Z286	174

Range (ppm)

#### ۴-۳- مطالعات آماری تک متغیره

هر عنصر بر حسب شرایط محیط‌های ژئوشیمیایی دارای تابع توزیع خاص خود بوده و رفتار ژئوشیمیایی عناصر در محیط‌ها و شرایط مختلف تغییر می‌نماید [لوینسون<sup>۱</sup>، ۱۹۸۶؛ حسنی پاک، ۱۳۸۰]. برای بررسی اینکه چه عناصری تحت تأثیر فرایندهای کانی‌سازی و هیدروترمالی قرار گرفته‌اند مطالعات تک‌متغیره بر روی داده‌های منطقه صورت پذیرفت. به منظور بررسی رفتار و تابع توزیع هر متغیر، در ادامه ابتدا تابع توزیع متغیرهای آماری با رسم هیستوگرام فراوانی مورد مطالعه و پارامترهای مرکزیت و پراکندگی داده‌ها نیز مورد بررسی قرار گرفتند [برانلی<sup>۲</sup>، ۱۹۶۰]. بر این اساس پارامترهای آماری با اهمیت مورد ارزیابی قرار گرفت. در ارتباط با تحلیل‌های آماری چندمتغیره در مباحث جداگانه بحث خواهد شد.

#### ۴-۱- پارامترهای آماری داده‌های خام

مقادیر میانگین، میانه<sup>۳</sup>، مد، واریانس، انحراف معیار<sup>۴</sup>، ضریب تغییرات<sup>۵</sup>، چولگی<sup>۶</sup>، کشیدگی<sup>۷</sup>، مقادیر حداقل و حدکثر، ۲۵٪ و ۷۵٪ هر عنصر (جدول ۴-۳) مورد بررسی قرار گرفته است. با توجه به اشکال (۲-۳) و (۳-۳) هیستوگرام فراوانی عناصر طلا، نقره، بیسموت، سرب، روی، کادمیوم، آرسنیک، مولیبدن، مس، آنتیموان و باریم از شکل زنگوله‌ای توزیع نرمال پیروی نکرده است. مقادیر میانه و میانگین عناصر نقره، باریم، بیسموت، منگنز، مولیبدن، فسفر، سرب، گوگرد، آنتیموان و روی اختلاف چشمگیری با یکدیگر دارند. این امر گویای عدم تقارن نمودار توزیع داده‌های آنتیموان و روی مربوطه می‌باشد.

<sup>1</sup> Levinson

<sup>2</sup> Brownlee

<sup>3</sup> median

<sup>4</sup> Std. Deviation

<sup>5</sup> Coefficient variations

<sup>6</sup> Skewness

<sup>7</sup> Kurtosis

واریانس بعنوان معیاری از پراکندگی داده‌ها به ترتیب برای عناصر سرب، باریم، منگنز، استرانسیوم، وانادیم، روی و فسفر دارای مقادیر بالایی است که این می‌تواند حاکی از پراکندگی تغییرات غلظت این عناصر در محدوده مطالعاتی مورد نظر باشد.

ضریب تغییرات به عنوان مقیاسی از پراکندگی غلظت‌ها در شرایطی که متغیرهای مورد نظر از واحدهای اندازه‌گیری متفاوت برخوردار باشند اهمیت می‌یابد [دیویس<sup>۱</sup>، ۲۰۰۲]. در این پژوهه بیشترین ضریب تغییرات مربوط به عنصر سرب (۲۷۲/۳۴) و کمترین ضریب تغییرات به عنصر ایترویوم (۸/۶۰٪) تعلق دارد. بعد از متغیر سرب عناصر گوگرد، نقره، طلا، باریم، تلوریم و روی دارای بیشترین درصد ضریب تغییرات می‌باشند.

چولگی و کشیدگی نیز پارامترهای آماری هستند که درباره‌ی چگونگی توزیع داده‌ها اطلاعاتی در اختیار مفسر می‌گذارند. میزان عدمتقارن یا چولگی توزیع به معنی آنست که توزیع داده‌ها به چه میزان از حالت نرمال یا متقارن انحراف یافته‌اند [جوانس و گیل<sup>۲</sup>، ۱۹۹۸]. اگر شاخص چولگی مثبت باشد به معنای توزیع نامتقارن و متمایل به چپ هستند یعنی داده‌های بزرگتر وزن کمتری از داده‌های کوچکتر دارند و شاخص چولگی منفی به معنای توزیع نامتقارن و متمایل به راست هستند یعنی داده‌های کوچکتر با غلظت کمتر وزن کمتری از داده‌های با غلظت بزرگتر دارند [لوینسون، ۱۹۸۶]. مقادیر بالای چولگی در یک توزیع ژئوشیمیابی می‌تواند بعنوانی یکی از راهنمایی‌های حضور غلظتهای آنومال در داده‌های مربوطه و یا توزیع غیر تصادفی آن متغیر باشد. بیشترین چولگی مثبت مربوط به عنصر وانادیم (۱۴/۹۴٪) و کمترین چولگی مثبت مربوط به عنصر کبالت (۰/۲۰٪) می‌باشد. عناصر آلومینیوم، کلسیم، کبالت، جیوه و منیزیم توزیع نسبتاً متقارن‌تری را از خود نشان می‌دهند. عناصر ژرمانیوم و نیکل نیز دارای چولگی منفی می‌باشند. با توجه به جدول (۳-۳) بیشترین کشیدگی مربوط به عنصر وانادیم (۲۵٪) و کمترین کشیدگی مربوط به عنصر جیوه (۲/۲۲٪) می‌باشد.

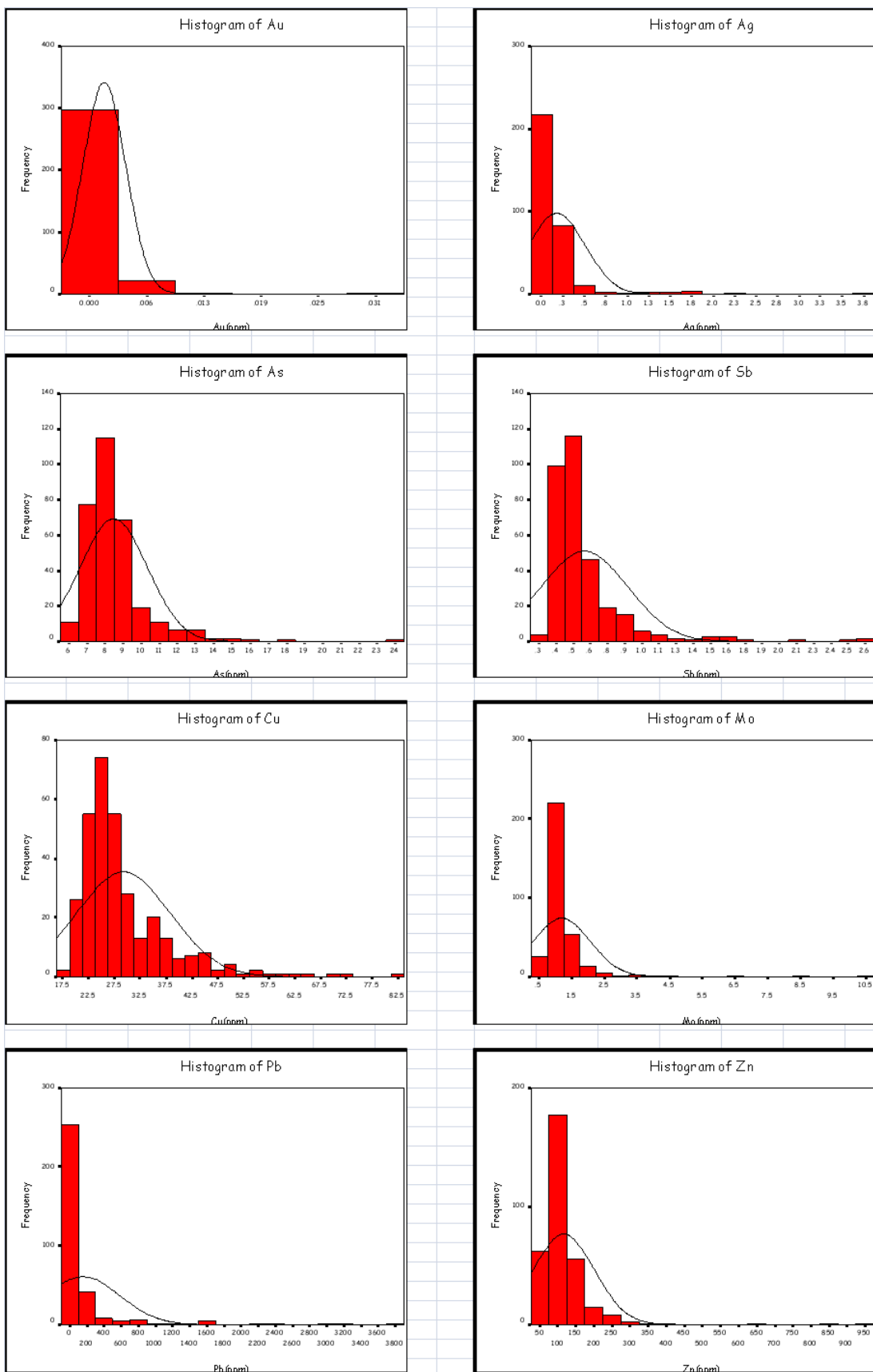
<sup>1</sup> Davis  
<sup>2</sup> Joanes & Gill

جدول (۴-۳): پارامترهای آماری داده های خام منطقه وزن

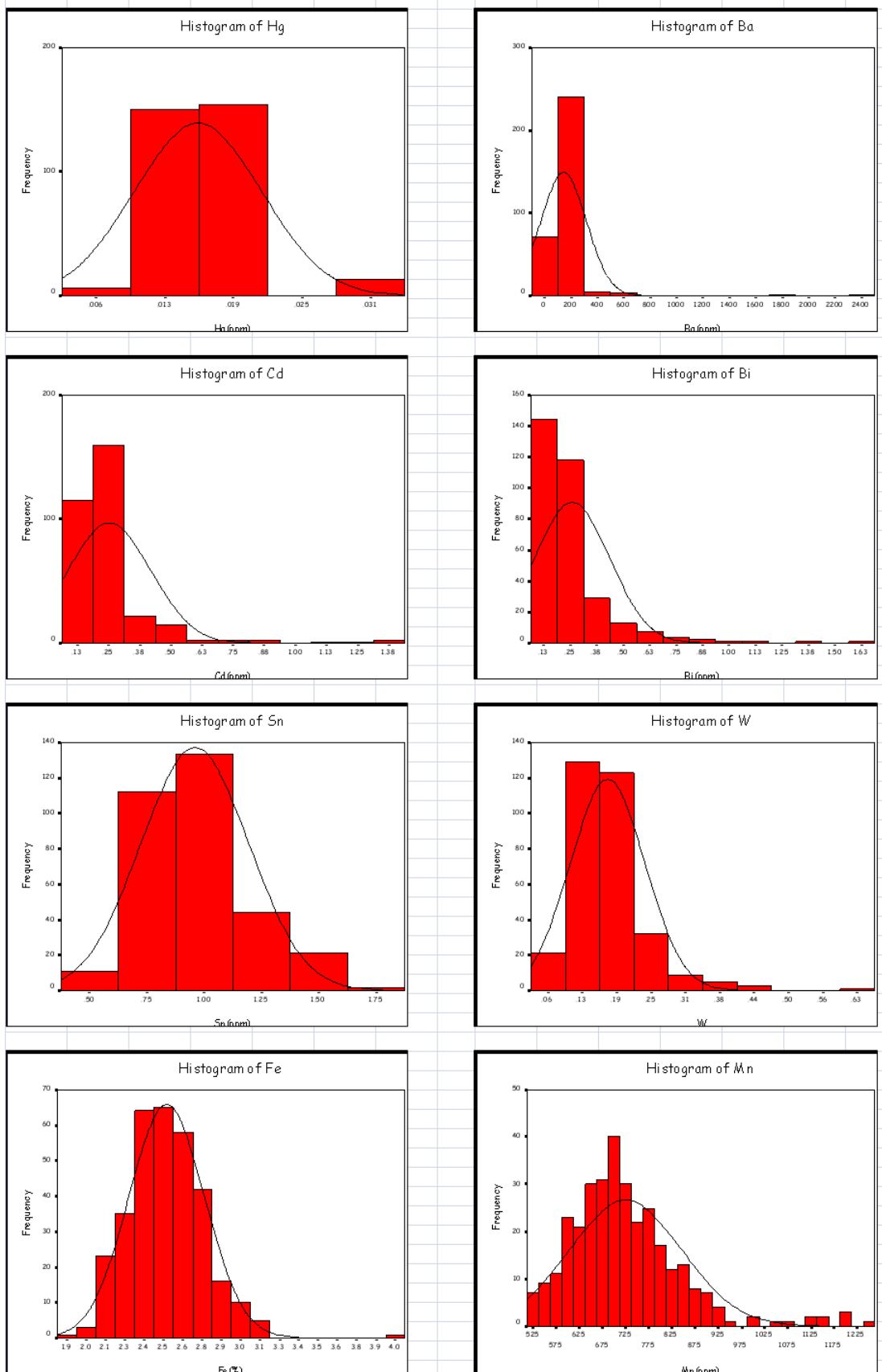
Parameter	Au	Ag	Al(%)	As	Ba	Be	Bi	Ca(%)	Cd	Ce	Co	Cr	Cs	Cu	Fe(%)	Ga	Ge	Hf	Hg	In	K(%)	La	Li	Mg(%)
N Used.	323	323	323	323	323	323	323	323	323	323	323	323	323	323	323	323	323	323	323	323	323	323	323	323
N Missing.	0	0	0	0	0	0	0	0	0	0	0	0	0	0	0	0	0	0	0	0	0	0	0	0
Mean	0.002	0.177	1.576	8.46	143	0.658	0.258	5.098	0.253	41.912	11.250	40.251	2.719	29.219	2.520	5.089	0.067	0.105	0.016	0.025	0.25	21.44	24.81	1.222
Mode	0.001	0.06	1.54	9	100	0.58	0.18	5.52	0.18	39	11.1	35	2.46	24.6	2.62	4.63	0.07	0.09	0.02	0.024	0.22	19.8	19.8	1.15
CV%	146.92	185.37	11.04	21.92	120	16.64	68.55	10.93	65.71	18.50	13.27	14.65	29.38	31.11	9.69	11.72	14.62	54.60	37.25	12.90	16.74	16.13	19.02	12.44
Std. Deviation	0.0024	0.329	0.174	1.855	172	0.109	0.177	0.557	0.166	7.754	1.493	5.897	0.799	9.089	0.244	0.596	0.010	0.057	0.006	0.003	0.042	3.458	4.718	0.152
Variance	0.0000	0.108	0.030	3.440	29712	0.012	0.031	0.310	0.028	60.128	2.229	34.772	0.638	82.610	0.060	0.356	0.000	0.003	0.00	0.00	0.002	11.956	22.26	0.023
Skewness	8.55	6.13	0.47	3.26	10.22	0.91	3.75	0.37	4.08	0.92	0.20	0.74	1.97	2.23	0.74	0.59	-0.19	0.71	0.40	2.18	1.10	1.04	0.76	0.21
Kurtosis	105	50.76	3.74	21.54	122	3.68	22.07	3.55	23.54	4.01	2.88	3.13	7.72	9.79	5.84	3.30	4.09	3.67	2.22	11.11	6.25	4.39	3.72	2.51
Minimum	0.0006	0.030	1.080	5.80	60	0.450	0.120	3.880	0.130	25.000	8.100	30	1.650	17.300	1.920	3.790	0.037	0.015	0.008	0.02	0.17	14.60	16.60	0.85
25th %tile	0.001	0.06	1.46	7.4	100	0.58	0.17	4.62	0.18	36.5	10.2	36	2.21	23.6	2.36	4.67	0.06	0.06	0.01	0.023	0.22	19	21.1	1.11
Median	0.001	0.09	1.57	8.1	110	0.64	0.19	5.14	0.2	40.3	11.2	39	2.47	26.6	2.52	5.03	0.07	0.1	0.02	0.025	0.25	20.8	24.3	1.2
75th %tile	0.002	0.15	1.66	8.9	140	0.73	0.27	5.52	0.26	46.5	12.3	44	3.02	31.9	2.67	5.45	0.07	0.14	0.02	0.026	0.28	23.2	27.8	1.34
Maximum	0.033	3.63	2.15	24.1	2380	1.06	1.64	7.57	1.39	73.3	16.6	59	6.45	81.7	3.94	6.98	0.1	0.36	0.03	0.046	0.5	35.9	45.5	1.62

Parameter	Mn	Mo	Na(%)	Nb	Ni	P	Pb	Rb	S(%)	Sb	Sc	Se	Sn	Sr	Te	Th	Ti(%)	Tl	U	V	W	Y	Zn	Zr
N Used.	323	323	323	323	323	323	323	323	323	323	323	323	323	323	323	323	323	323	323	323	323	323	323	323
N Missing.	0	0	0	0	0	0	0	0	0	0	0	0	0	0	0	0	0	0	0	0	0	0	0	0
Mean	725	1.19	0.05	0.54	42.85	670.15	156.17	17.18	0.04	0.58	4.58	0.51	0.96	147.91	0.03	4.73	0.07	0.11	0.71	45.62	0.17	10.59	116	4.49
Mode	646	0.78	0.04	0.48	43.2	650	26.8	14.2	0.01	0.44	4.2	0.4	0.7	128	0.02	4.4	0.045	0.1	0.67	41	0.15	10.4	71	4.2
CV%	16.69	72.64	26.68	39.70	12.55	11.12	272.34	20.24	230.77	54.11	10.49	39.69	24.47	15.81	81.98	19.00	35.59	22.54	12.51	42.09	39.39	8.60	72.83	52.78
Std. Deviation	120.91	0.87	0.01	0.21	5.38	74.50	425.31	3.48	0.10	0.32	0.48	0.20	0.23	23.38	0.02	0.90	0.02	0.02	0.09	19.20	0.07	0.91	84.47	2.37
Variance	14620	0.75	0.00	0.05	28.93	5551	180889	12.09	0.01	0.10	0.23	0.04	0.06	547	0.00	0.81	0.00	0.00	0.01	368.76	0.00	0.83	7136	5.62
Skewness	1.40	7.17	0.84	1.89	-1.29	1.08	5.68	1.10	4.58	3.57	0.57	1.03	0.72	1.72	2.86	1.13	1.05	0.72	0.83	14.94	1.92	1.29	6.20	0.51
Kurtosis	6.36	67.50	5.18	9.30	6.50	5.46	39.72	5.79	27.86	19.45	3.05	4.56	3.09	8.55	15.17	5.47	4.00	4.19	3.75	254.46	10.44	6.43	54.43	3.64
Minimum	519	0.57	0.02	0.18	21.6	530	14.6	10.2	0.006	0.29	3.6	0.17	0.6	106	0.007	2	0.033	0.05	0.53	32	0.037	8.82	56	0.375
25th %tile	646	0.87	0.04	0.4	40.4	620	28.8	14.7	0.01	0.42	4.2	0.4	0.8	131	0.02	4.2	0.048	0.09	0.65	40	0.13	9.96	77	2.7
Median	705	1.03	0.05	0.48	43.5	660	43.9	16.8	0.01	0.48	4.5	0.5	0.9	145	0.02	4.5	0.06	0.1	0.7	43	0.16	10.4	94	4.3
75th %tile	781	1.24	0.06	0.63	46.2	710	85.3	18.9	0.02	0.63	4.9	0.6	1.1	158.5	0.03	5.1	0.083	0.12	0.77	49	0.2	11.1	125	6
Maximum	1245	10.65	0.12	1.9	56.1	1020	3880	36.3	0.79	2.61	6.1	1.2	1.7	270	0.2	9	0.165	0.21	1.01	369	0.61	15.45	965	15

Range (ppm)



شکل (۲-۳): هیستوگرام فراوانی عناصر طلا، نقره، آرسنیک، آنتیموان، مس، مولیبدن، سرب، روی



شكل (٣-٣): هيستوغرام فراوانی عناصر باریم، جیوه، بیسموت، کادمیوم، تنگستن، قلع، منگنز و آهن

به احتمال عناصر نقره، طلا، سرب، کادمیوم، باریم، بیسموت، روی، مولیبدن، آنتیموان منگنز دارای توزیع نامتقارن و غیرنرمال بوده و تحت تأثیر فرایندهای کانی‌سازی و محلولهای هیدروترمالی قرار گرفته‌اند.

### ۳-۵- نرمال سازی داده‌های خام

اکثر روش‌های آماری (به جز روش‌های غیرپارامتری) فرض نرمال بودن توزیع داده‌ها را به همراه دارند. در مسائل اکتشافی با داده‌هایی سروکار داریم که کمتر اتفاق می‌افتد که شرایط نرمال بودن را داشته باشند [ریمن<sup>۱</sup> و همکاران، ۲۰۰۰]. در این شرایط می‌توان با استفاده از توابع تبدیل مختلف، داده‌ها را طوری تبدیل کرد که مقادیر تبدیل یافته آنها دارای توزیع نرمال باشد [حسنی‌پاک ۱۳۸۰؛ لیمپرت<sup>۲</sup> و همکاران ۲۰۰۱]. در این شرایط اغلب با تبدیل داده‌ها تحت تابع تبدیل لگاریتمی، توزیع داده‌های تبدیل یافته متقاضی گشته و به توزیع نرمال نزدیک می‌شود [ریمن و همکاران ۲۰۰۰؛ لیمپرت و همکاران، ۲۰۰۱]

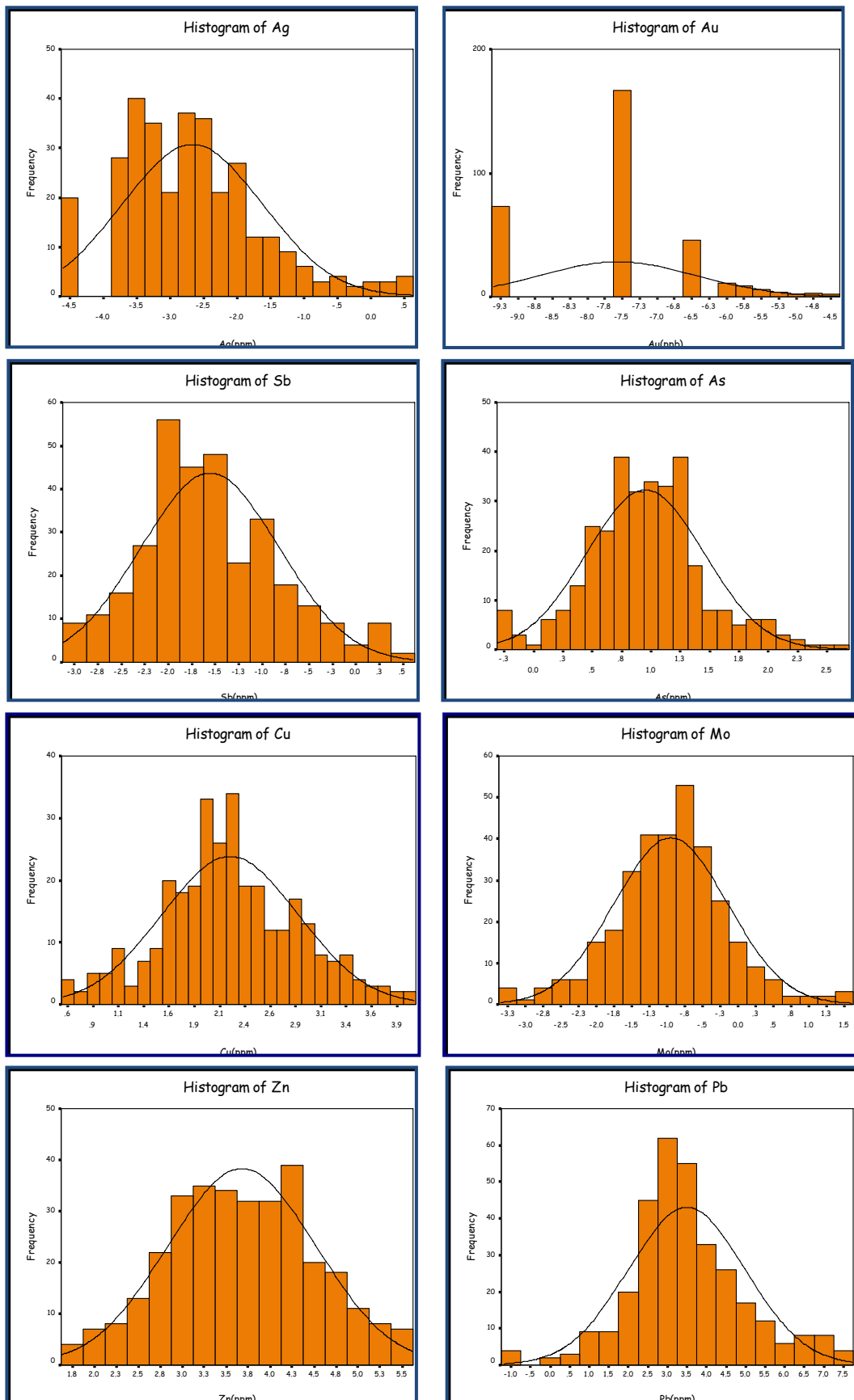
در این پژوهه بعضی از عناصر مانند Al, Ca, Co, Ce, Ge, Ga, Fe, Hg, Hf, Mg, Na, Zr بعد از جایگزینی مقادیر خارج از ردیف مقدار چولگی‌شان به کمتر از ۵٪ کاهش یافت (جدول ۳-۵) و توزیعشان به توزیع نرمال نزدیک شد. عناصری مانند Ti, Te, Th, Tl, Cr, Se, Sn, Sc, P, Rb, Nb, Mn, K, Li, W اینگونه نبودند و تحت تبدیل لگاریتمی قرار گرفته و نرمال گشتند. از آنجا که چولگی گاهی با تبدیل لگاریتمی داده‌ها از بین نمی‌رود و بر روی نمودار احتمال، توزیع آنها بصورت خط راست در نمی‌آید، در اینگونه موارد می‌توان از تبدیل سه پارامتری استفاده کرد که بصورت زیر تعریف می‌شود [حسنی‌پاک، شرف الدین ۱۳۸۰]:

$$P(x) = \ln(aX \pm \theta) \quad (9-3)$$

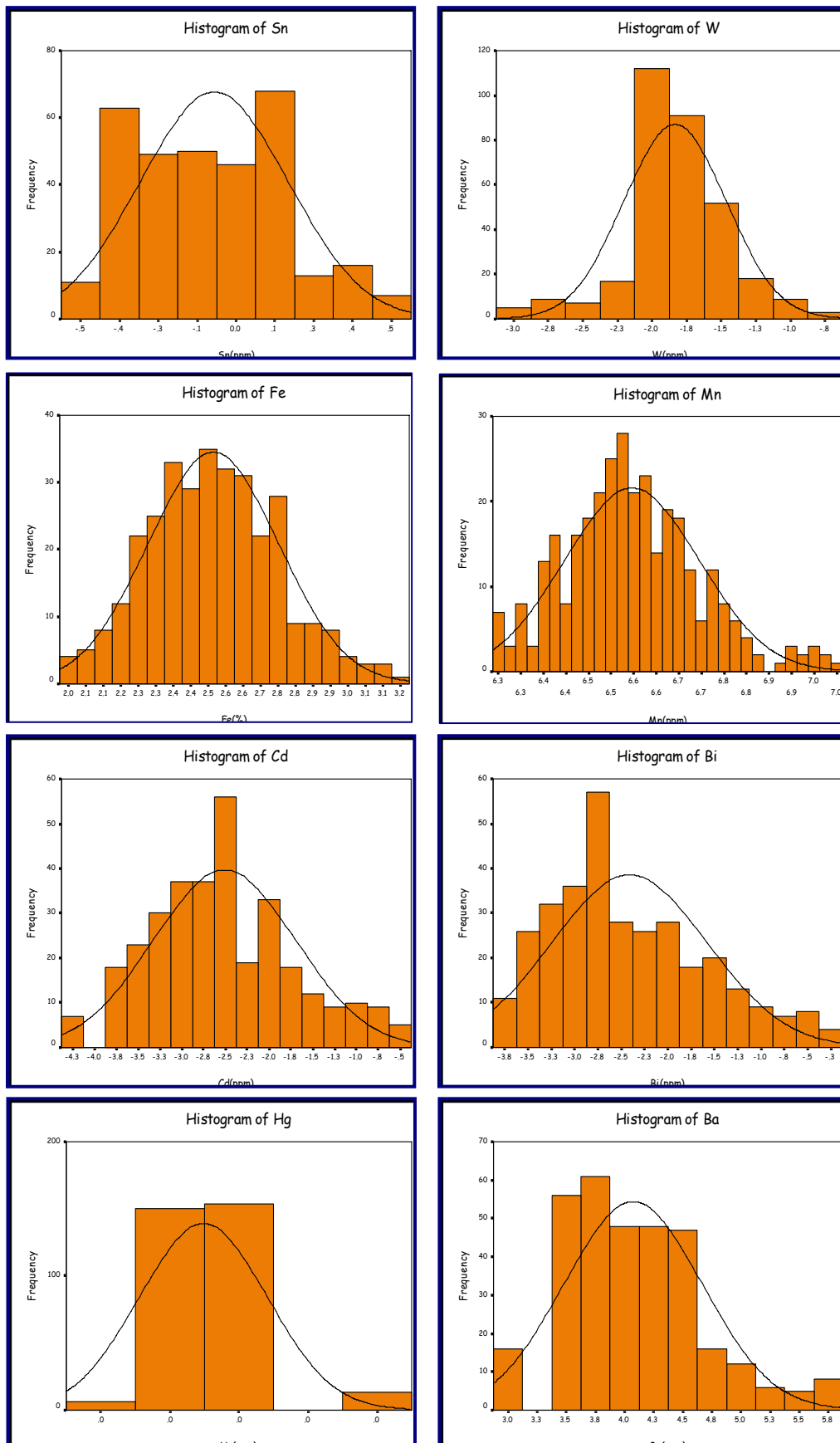
<sup>1</sup> Reimann  
<sup>2</sup> Limpert

X مقدار متغیر مورد نظر می‌باشد. در عمل برای ساده کردن تبدیل، مقدار  $a$  را واحد در نظر می‌گیرند. مقدار  $\theta$  با سعی و خطا بدست آمده و معمولاً مقدار آن نزدیک به مینیمم مقدار کل داده‌هاست. در صورتیکه چولگی مثبت باشد مقدار  $\theta$  از  $aX$  کم و در صورتیکه چولگی منفی باشد مقدار  $\theta$  به تابع اضافه می‌شود. بعد از بدست آوردن مقدار تابع، تابع تحت تبدیل لگاریتم طبیعی قرار می‌گیرد [حسنی پاک، شرف الدین ۱۳۸۰]. در این پژوهه عناصری که به این طریق از توزیع نرمال  $Au, Ag, Ba, As, Bi, Be, V, U, Sr, Sb, S, Pb, Ni, Mo, La, Zn, Y, In, Cu, Cs, Cd$ ، عناصر نرمال شده نیز ترسیم گردید با توجه به اشکال (۴-۳) و (۵-۳) به جز عنصر طلا سایر عناصر نسبتاً نرمال شده و هیستوگرام آنها شکل زنگوله‌ای بخود گرفته است.

در این مرحله قبل از مطالعات چندمتغیره برای درک هرچه بهتر نحوه توزیع غلظت این عناصر نقشه پراکندگی ژئوشیمیایی آنها در منطقه رسم گردید.



شكل (٣-٤): هيستوغرام عناصر نرمال شده طلا، نقره، آرسنيك، آنتيمون، موليبدين، مس، سرب و روی



شكل (۳-۵): نمودار هیستوگرام عناصر نرمال شده قلع، تنگستان، آهن، منگنز، بیسموت، کادمیوم، جیوه و باریم

جدول (۵-۳): پارامترهای آماری داده های نرمال منطقه وزن

Parameter	Au(ppb)	Ag	Al(%)	As	Ba	Be	Bi	Ca(%)	Cd	Ce	Co	Cr	Cs	Cu	Fe(%)	Ga	Ge	Hf	Hg	In	K(%)	La	Li	Mg(%)
N Used.	323	323	323	323	323	323	323	323	323	323	323	323	323	323	323	323	323	323	323	323	323	323	323	323
N Missing.	0	0	0	0	0	0	0	0	0	0	0	0	0	0	0	0	0	0	0	0	0	0	0	0
Mean	-7.567	-2.668	1.575	0.950	4.073	-1.237	-2.412	5.086	-2.511	3.72	11.250	3.685	-0.093	2.227	2.519	5.085	0.067	0.105	0.016	-4.999	-1.389	2.569	3.194	1.223
Mode	-7.601	-3.474	1.540	1.253	3.738	-1.470	-2.797	5.520	-2.937	3.66	11.100	3.555	-0.151	1.960	2.620	4.630	0.070	0.090	0.020	-5.116	-1.514	2.468	2.986	1.150
CV%	-15.03	-39.23	10.80	52.38	14.51	-27.60	-34.59	10.29	-32.27	4.69	13.10	3.85	-682.28	30.32	9.25	11.46	14.62	53.62	37.25	-7.97	-11.24	9.36	5.75	12.41
Std. Deviation	1.137	1.047	0.170	0.498	0.591	0.341	0.834	0.523	0.810	0.17	1.474	0.142	0.631	0.675	0.233	0.583	0.010	0.056	0.006	0.399	0.156	0.240	0.184	0.152
Variance	1.293	1.096	0.029	0.248	0.350	0.117	0.696	0.274	0.656	0.03	2.173	0.020	0.399	0.456	0.054	0.340	0.000	0.003	0.000	0.159	0.024	0.058	0.034	0.023
Skewness	0.237	0.029	0.405	0.259	0.144	0.119	0.090	-0.054	0.358	0.49	0.167	0.430	0.119	0.087	0.276	0.487	-0.193	0.537	0.400	0.107	0.207	0.414	0.249	0.227
Kurtosis	2.803	3.711	3.303	3.652	3.436	2.425	2.741	2.055	2.980	2.85	2.617	2.617	2.920	2.919	2.814	2.919	4.088	2.788	2.225	4.183	2.549	2.859	2.468	2.488
Minimum	-9.210	-4.510	1.180	-0.223	3.091	-1.966	-3.863	3.980	-4.343	3.41	8.500	3.401	-1.609	0.642	2.030	3.950	0.037	0.015	0.008	-6.215	-1.772	2.104	2.809	0.890
25th %tile	-7.601	-3.474	1.460	0.642	3.738	-1.470	-2.976	4.620	-2.937	3.60	10.200	3.584	-0.494	1.808	2.360	4.670	0.060	0.060	0.010	-5.298	-1.514	2.398	3.049	1.110
Median	-7.601	-2.797	1.570	0.956	3.951	-1.238	-2.645	5.140	-2.617	3.70	11.200	3.664	-0.139	2.208	2.520	5.030	0.070	0.100	0.020	-4.962	-1.386	2.549	3.190	1.200
75th %tile	-6.502	-2.112	1.660	1.224	4.407	-0.968	-1.890	5.520	-2.017	3.84	12.300	3.784	0.351	2.667	2.670	5.450	0.070	0.140	0.020	-4.828	-1.273	2.721	3.325	1.340
Maximum	-4.465	0.605	2.100	2.565	5.864	-0.416	-0.273	6.150	-0.540	4.26	15.500	4.078	1.459	3.983	3.190	6.730	0.100	0.270	0.030	-3.576	-0.968	3.314	3.723	1.620

Parameter	Mn	Mo	Na(%)	Nb	Ni	P	Pb	Rb	S(%)	Sb	Sc	Se	Sn	Sr	Te	Th	Ti(%)	Tl	U	V	W	Y	Zn	Zr
N Used.	323	323	323	323	323	323	323	323	323	323	323	323	323	323	323	323	323	323	323	323	323	323	323	323
N Missing.	0	0	0	0	0	0	0	0	0	0	0	0	0	0	0	0	0	0	0	0	0	0	0	0
Mean	6.571	-0.948	0.049	-0.689	4.635	6.501	3.496	2.824	-5.109	-1.555	1.517	-0.757	-0.070	4.164	-3.746	1.537	-2.765	-2.273	-1.390	2.926	-1.834	0.893	3.680	4.486
Mode	6.471	-1.833	0.040	-0.734	4.522	6.477	-1.204	2.653	-5.426	-1.897	1.435	-0.916	-0.357	3.871	-3.912	1.482	-3.101	-2.303	-1.514	2.773	-1.897	0.875	2.773	4.200
CV%	2.268	-84.295	25.755	-50.139	0.971	1.603	42.728	6.750	-38.027	-47.354	6.790	-53.836	-338.08	7.282	-18.18	11.680	-12.068	-9.797	-23.780	11.326	-20.132	37.641	22.815	52.361
Std. Deviation	0.149	0.799	0.013	0.345	0.045	0.104	1.494	0.191	1.943	0.736	0.103	0.408	0.238	0.303	0.681	0.180	0.334	0.223	0.330	0.331	0.369	0.336	0.840	2.349
Variance	0.022	0.639	0.000	0.119	0.002	0.011	2.231	0.036	3.774	0.542	0.011	0.166	0.056	0.092	0.464	0.032	0.111	0.050	0.109	0.110	0.136	0.113	0.705	5.517
Skewness	0.450	0.003	0.480	0.424	-0.493	0.448	0.158	0.233	0.166	0.467	0.314	-0.474	0.229	0.074	0.180	0.150	0.384	-0.123	0.036	0.107	-0.282	0.048	0.029	0.411
Kurtosis	3.311	3.908	3.119	3.069	3.244	3.241	4.084	2.998	2.496	3.049	2.707	3.863	2.330	2.887	2.998	4.506	2.284	3.376	2.538	2.676	4.611	3.184	2.567	3.141
Minimum	6.267	-3.219	0.020	-1.470	4.522	6.292	-1.204	2.361	-7.824	-2.996	1.281	-1.772	-0.511	3.450	-4.962	0.693	-3.411	-2.996	-2.040	1.946	-2.996	0.020	1.792	0.375
25th %tile	6.471	-1.386	0.040	-0.916	4.609	6.430	2.625	2.688	-5.426	-2.040	1.435	-0.916	-0.223	3.932	-3.912	1.435	-3.037	-2.408	-1.609	2.708	-2.040	0.673	3.091	2.700
Median	6.558	-0.892	0.050	-0.734	4.640	6.492	3.364	2.821	-5.426	-1.661	1.504	-0.693	-0.105	4.174	-3.912	1.504	-2.813	-2.303	-1.386	2.890	-1.833	0.875	3.664	4.300
75th %tile	6.661	-0.478	0.060	-0.462	4.665	6.565	4.253	2.939	-4.241	-1.079	1.589	-0.511	0.095	4.363	-3.507	1.629	-2.489	-2.120	-1.139	3.178	-1.609	1.131	4.248	6.000
Maximum	7.017	1.556	0.080	0.293	4.745	6.824	7.392	3.367	-0.439	0.399	1.808	0.182	0.531	4.927	-1.609	2.041	-1.802	-1.661	-0.580	3.871	-0.693	2.008	5.545	13.300

Range (ppm)

### ۶-۳- ترسیم نقشه‌های تک عنصری

داده‌های رسوبات آبراهه‌ای بنا به طبیعتی که دارند می‌توانند فقط معرف بخشی از حوضه آبریز باشند که در بالادست آنها واقع است در نتیجه پیوستگی خود را به نوعی از دست می‌دهند. برای درونیابی چنین داده‌های جهت‌داری لازم است اولاً مرز حوضه آبریز مربوط به آنها در نظر گرفته شود ثانیاً جهتی که نمونه و یا داده‌ها می‌تواند در برآورده باشد کنده مشخص شود. این روش ترسیم نقشه، روش تخمین شبکه‌ای نامیده می‌شود. در این روش ابتدا نقشه مورد نظر بوسیله شبکه‌ای از سلول‌های هم‌بعد پوشانده می‌شود. ابعاد شبکه بستگی به مقیاس برداشت‌ها، دقت مورد نیاز و امکانات سخت‌افزار (حافظه) دارد. پس از انداختن شبکه بر روی نقشه برای هر نمونه مرز حوضه آبریز بالادست آن با رسم قطاع مشخص می‌شود کمان انتهایی قطاع بالاترین قسمت حوضه آبریز مربوطه را می‌پوشاند و دو ضلع آن باید حتی‌الامکان منطبق بر رأس‌الخط دو طرف حوضه آبریز در بالادست نمونه مربوطه باشد. [حسنی‌پاک، ۱۳۸۰].

بر این اساس نقشه پراکندگی غلظت عناصر با استفاده از روش تخمین شبکه‌ای ترسیم گردیده است. حد جدایش آنومالیها بدین صورت است که مقادیر متضاد با  $5^{\circ}$  درصد فراوانی تجمعی برابر میانه ( $x$ )،  $84\%$  فراوانی برابر  $S_{+2S}$  یعنی مقدار زمینه و  $97/5\%$  برابر  $S_{+3S}$  حد آستانه‌ای در نظر گرفته می‌شود. مقادیر بین  $S_{+2S}$  و  $S_{+3S}$  می‌توانند بعنوان آنومالی‌های ممکن و مقادیر بزرگتر از  $S_{+3S}$  تحت عنوان آنومالی‌های احتمالی طبقه‌بندی می‌شوند.

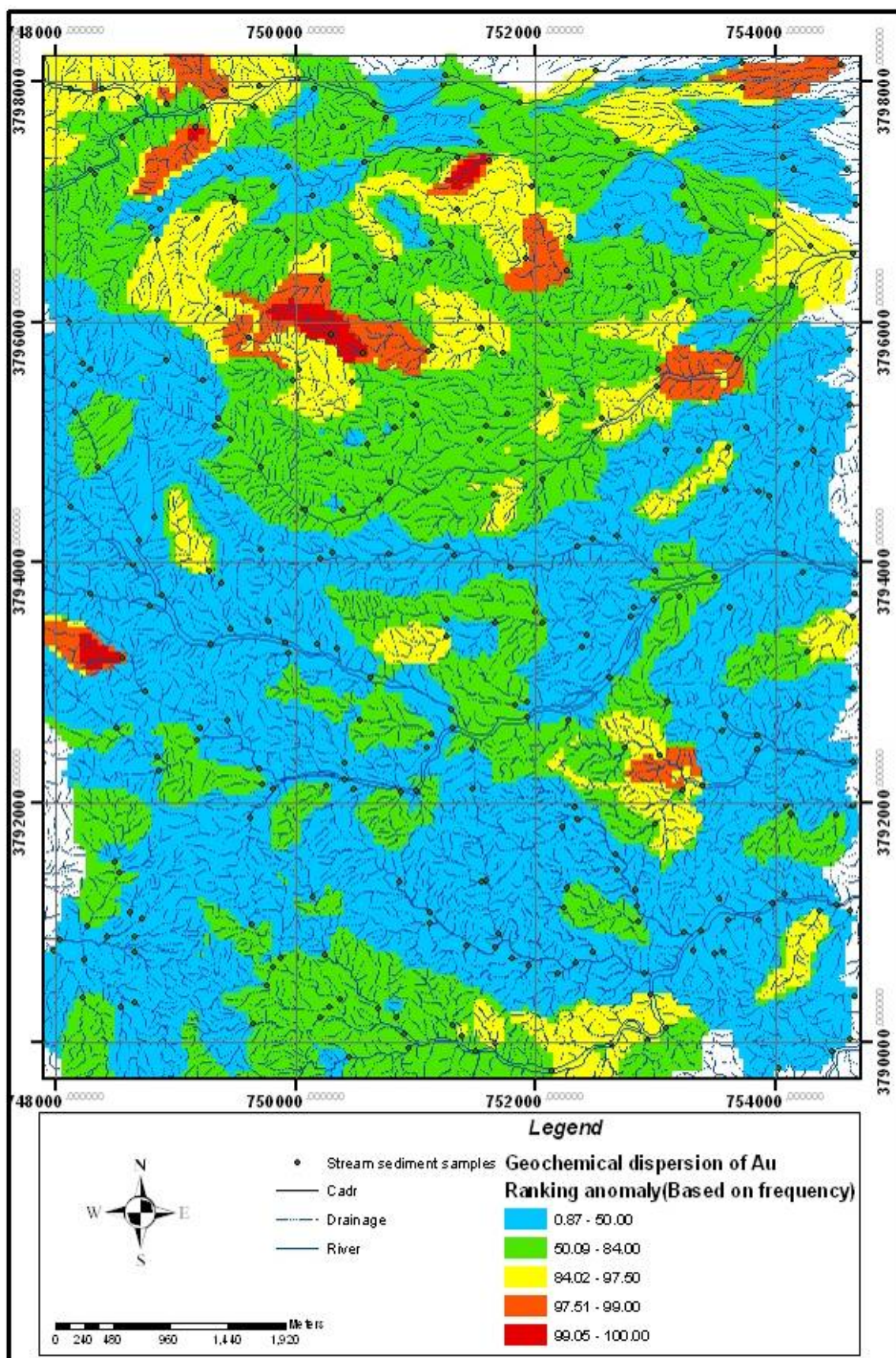
در تحلیل این نقشه‌ها میزان غلظت هر متغیر با حدود زمینه غلظت مربوطه در رسوبات مقایسه می‌گردد و سپس از بین عناصر مختلف آن دسته از عناصر که دارای شدت غلظتی بالاتر از حد زمینه در رسوبات آبراهه‌ای بوده مشخص می‌گردد (اشکال ۳-۶ تا ۳-۱۶). در این نقشه‌ها بجز عنصر طلا، عناصر با اهمیت به ترتیب از عنصری که بیشترین اختلاف غلظت با زمینه را دارند مرتب شده‌اند.

در شکل (۳-۶) نقشه پراکندگی غلظت عنصر طلا دیده می‌شود با توجه به این شکل محدوده‌های ناهنجار غلظت این عنصر عمدتاً در نیمه شمالی منطقه قرار گرفته‌اند. مقدار زمینه عنصر سرب در رسوبات رودخانه‌ای ۴۰۰ گرم در تن می‌باشد که این مقدار در نمونه‌ای که ناهنجاری درجه یک در شمال منطقه نشان می‌دهد به ۳۸۰۰ گرم در تن می‌رسد منشأ این ناهنجاری می‌تواند در ارتباط با توده نفوذی گرانوڈیوریتی و کنتاکت آن با واحدهای شیلی ماسه‌سنگی سازند سردر در بالادست این نمونه باشد (شکل ۳-۷).

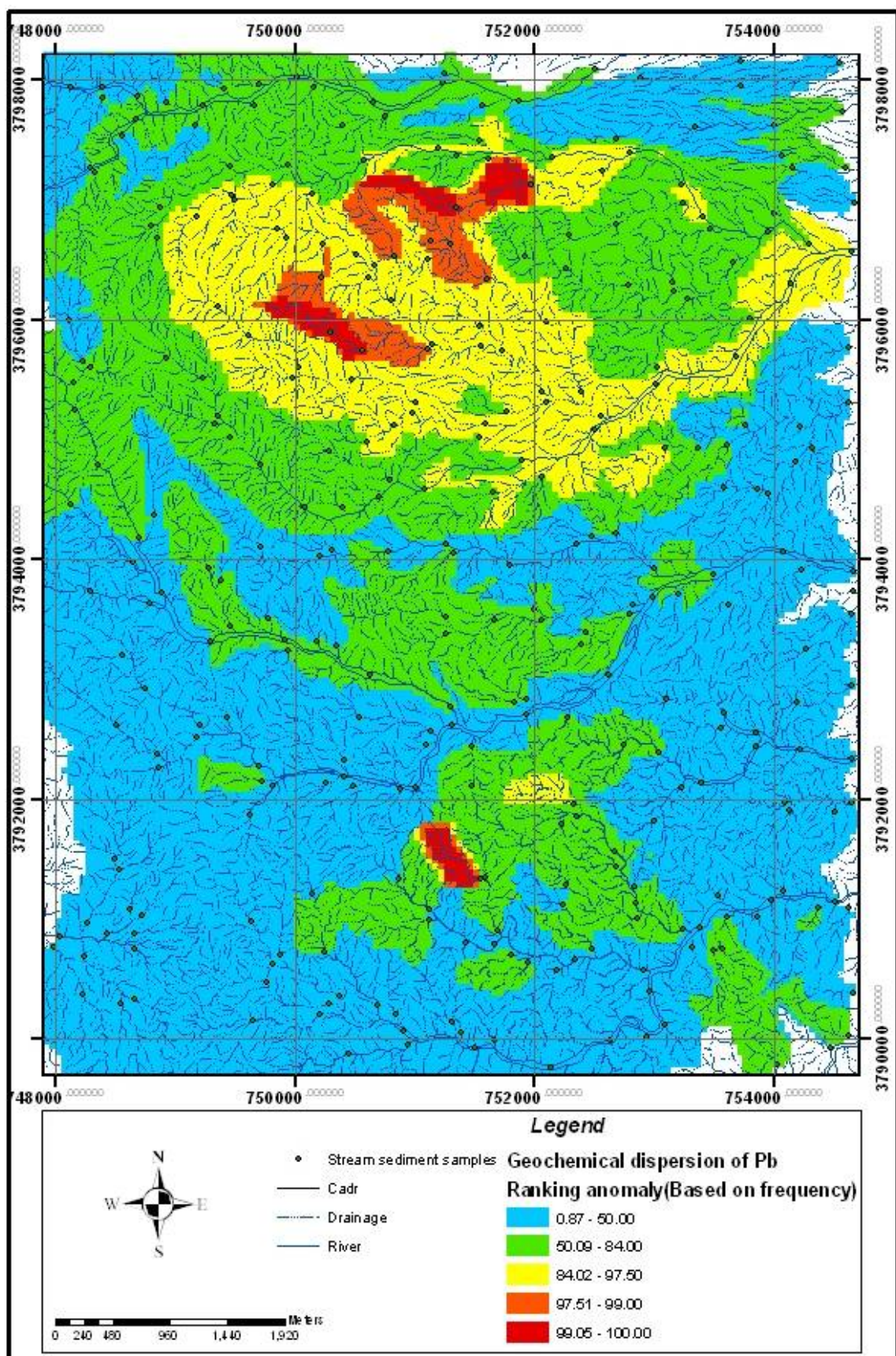
محدوده پرعیار عنصر نقره نیز در شکل (۳-۸) در بخش شمالی نقشه واقع شده است و غلظت این عنصر در محدوده ناهنجار شمالی به ۳/۶ گرم در تن می‌رسد.

زمینه باریم در رسوبات رودخانه‌ای ۵۰۰ گرم در تن می‌باشد که با توجه به شکل (۳-۹) این مقدار در دو نمونه که از شمال منطقه (محدوده ناهنجاری درجه یک) برداشت شده به ۱۸۷۰ و ۲۳۰۰ گرم در تن می‌رسد، با توجه به وجود اندیس باریم در واحدهای شیلی و ماسه‌سنگی (بالادست این نمونه‌ها) (شکل ۱-۲) و شواهدی که از کانی سازی باریت در این بخش از منطقه بدست آمده غنی‌شدگی نسبت به این عنصر دور از انتظار نمی‌باشد. با توجه به شکل (۱۱-۳) عیار عنصر روی در محدوده پرعیار خود که به مانند عناصر سرب و نقره در بخش شمالی منطقه مشخص شده است به ۹۶۰ گرم در تن می‌رسد. همانطور که در سایر نقشه‌های تک‌عنصری دیده می‌شود، محدوده‌هایی که در آنها غلظت عناصر بیسموت، آنتیموان، کادمیوم و مولیبدن بیشتر از حد زمینه آنها در نمونه‌های برداشت شده به ثبت رسیده، در بخش شمالی ناحیه وزن واقع شده است.

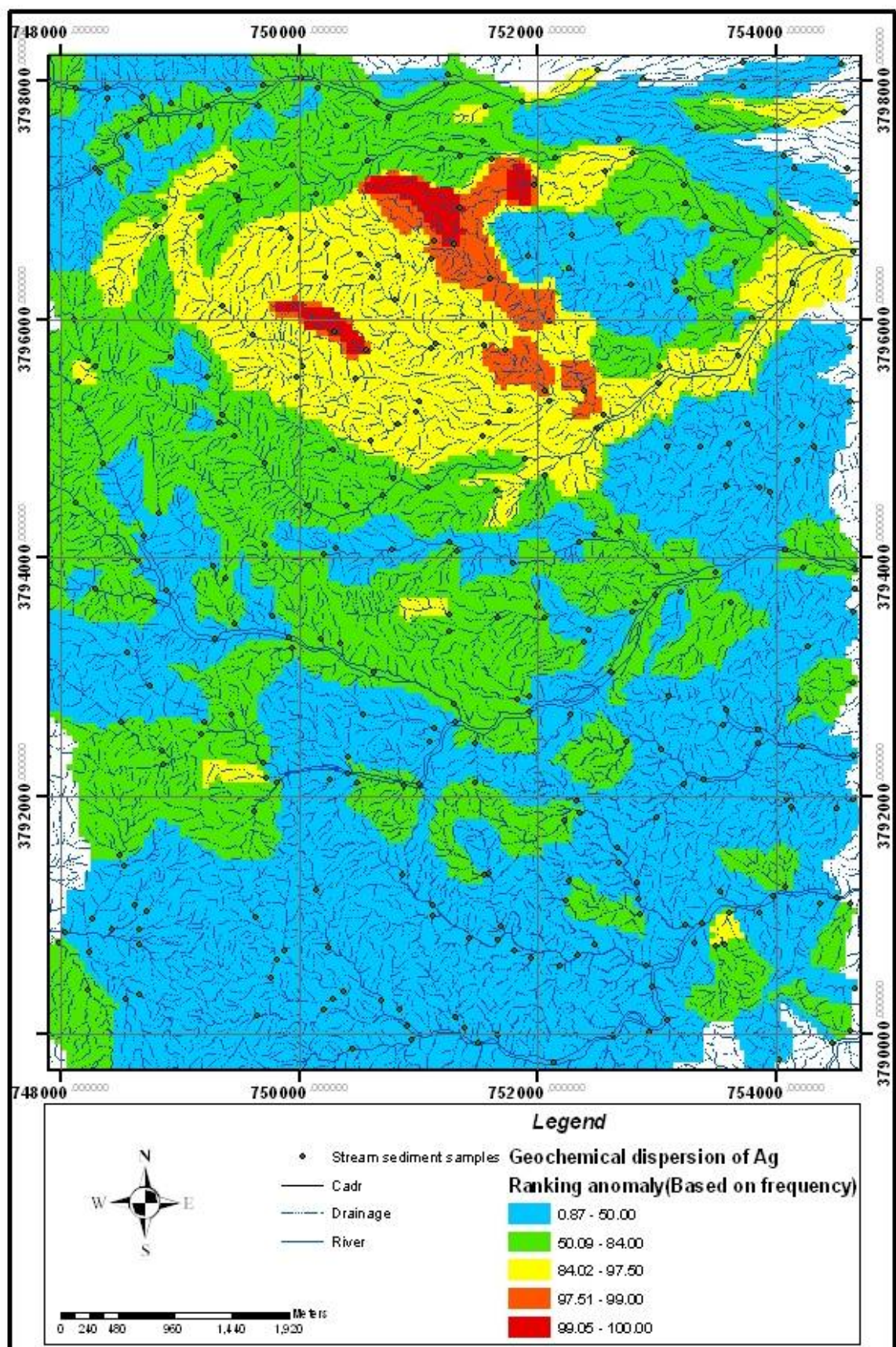
با توجه به نقشه‌های تک عنصری رسم شده و مقایسه آنها با یکدیگر مشخص گردید که بیشترین نواحی که در آنها عیارهای بالایی از عناصر با اهمیت نظری سرب، روی، مس، باریم و نقره به ثبت رسیده است در نیمه شمالی منطقه قرار گرفته‌اند و این نقشه‌ها همپوشانی خوبی را با یکدیگر نشان میدهند. لذا ادامه مطالعات را تنها بر روی داده‌های ژئوشیمیایی این بخش ادامه می‌دهیم.



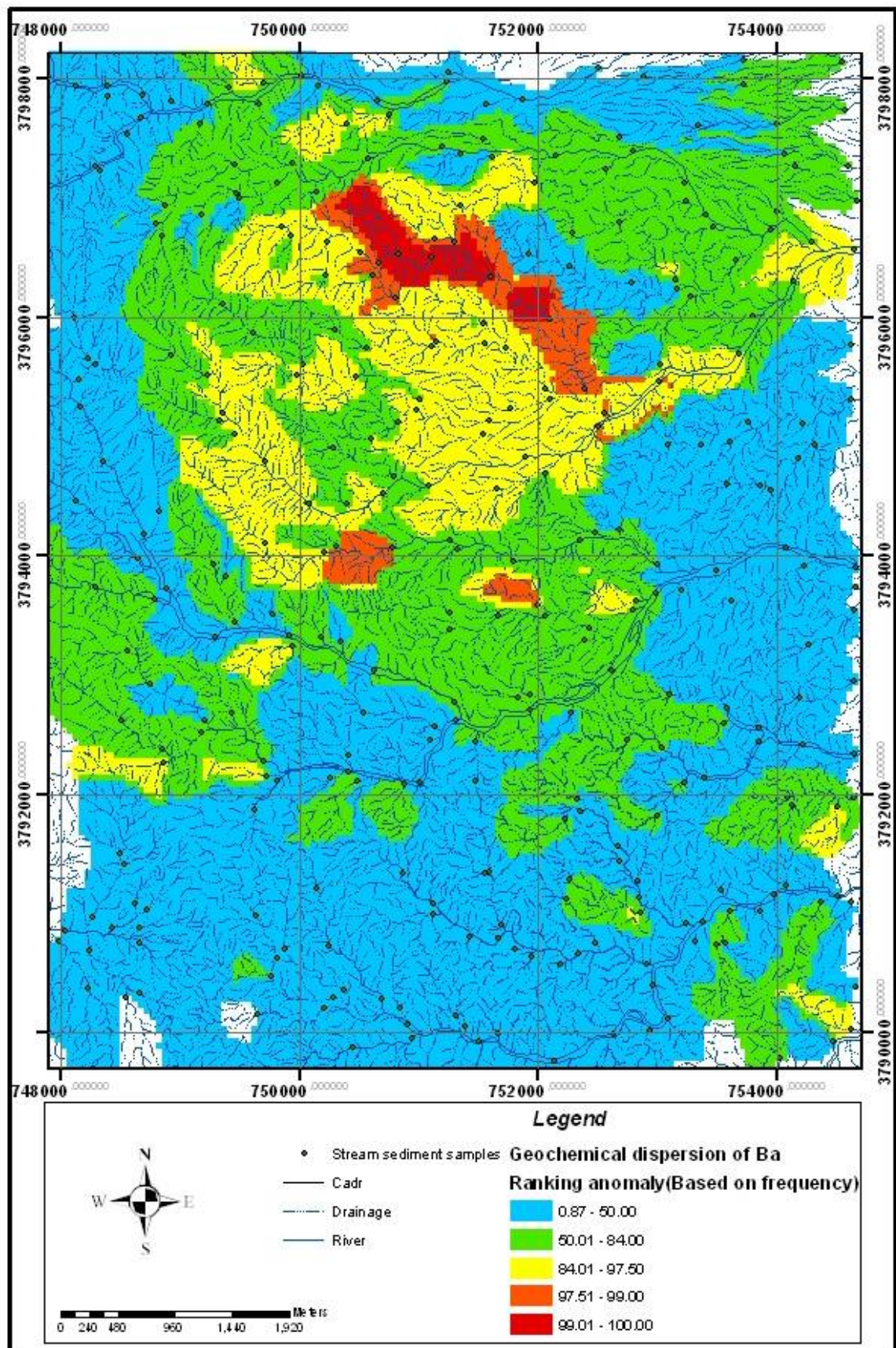
شکل (۳-۶): نقشه پراکندگی غلظت عنصر طلا



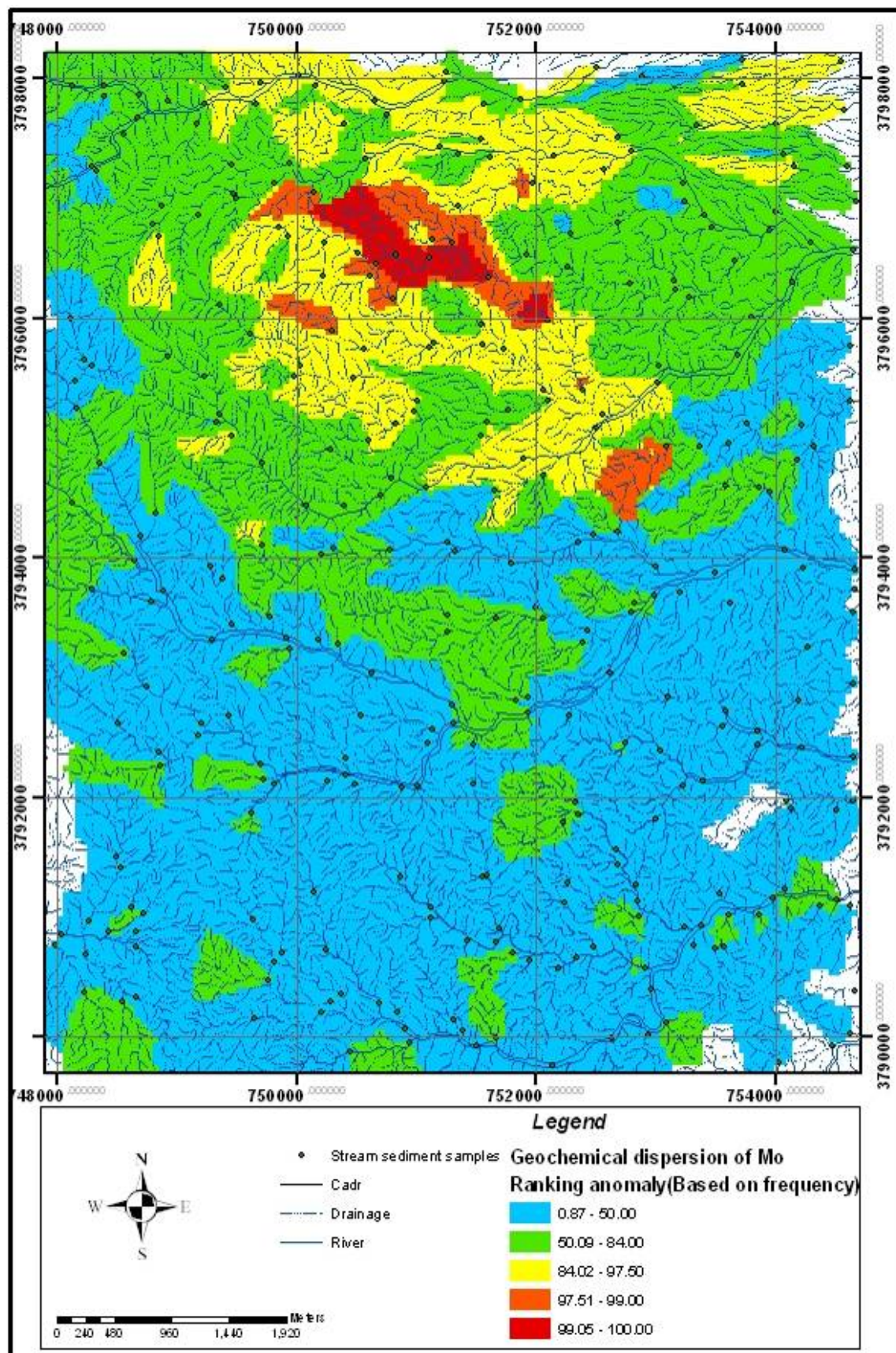
شكل (٧-٣): نقشه پراکندگی غلظت عنصر سرب



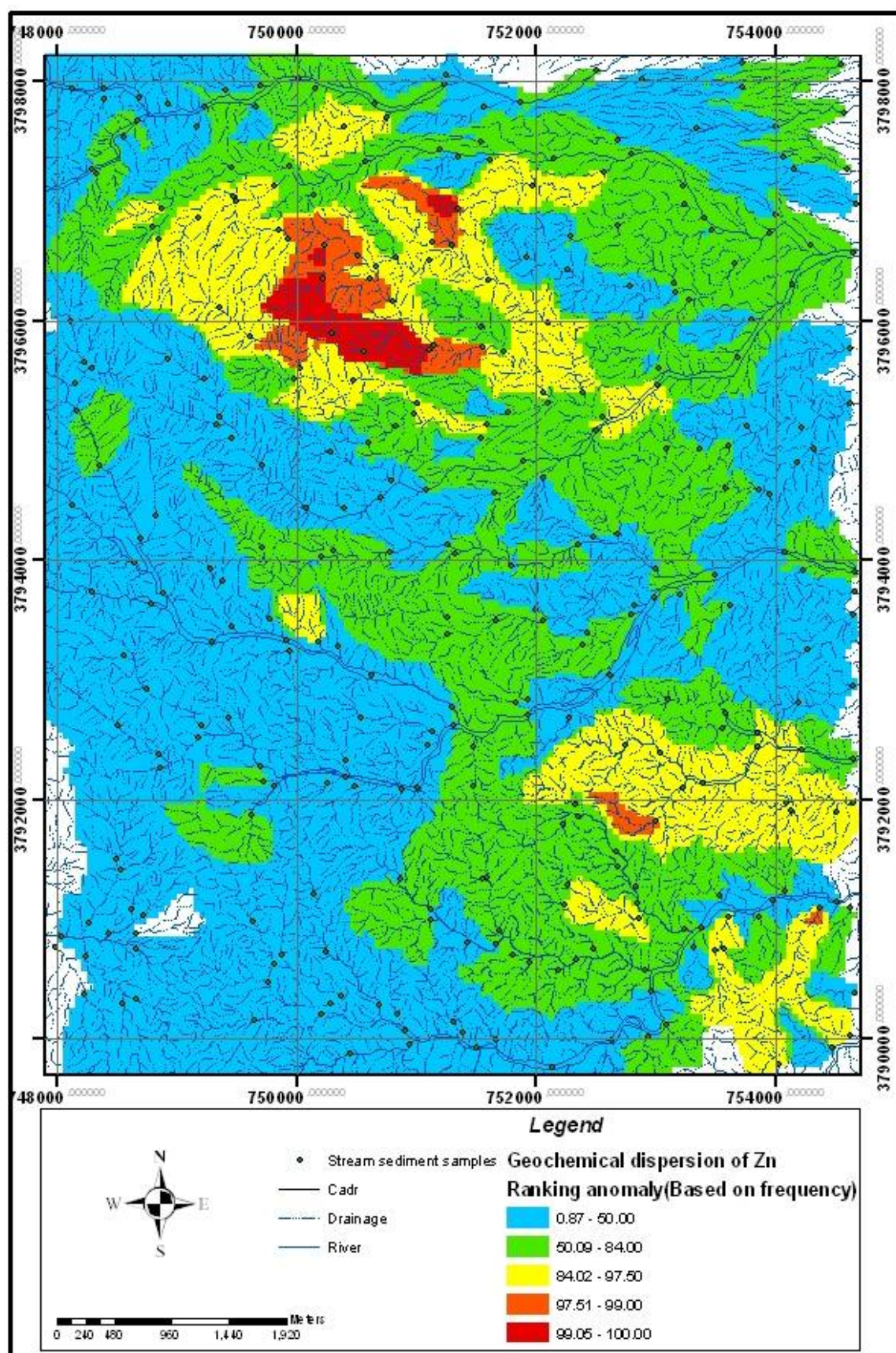
شکل (۸-۳): نقشه پراکندگی غلظت عنصر نقره



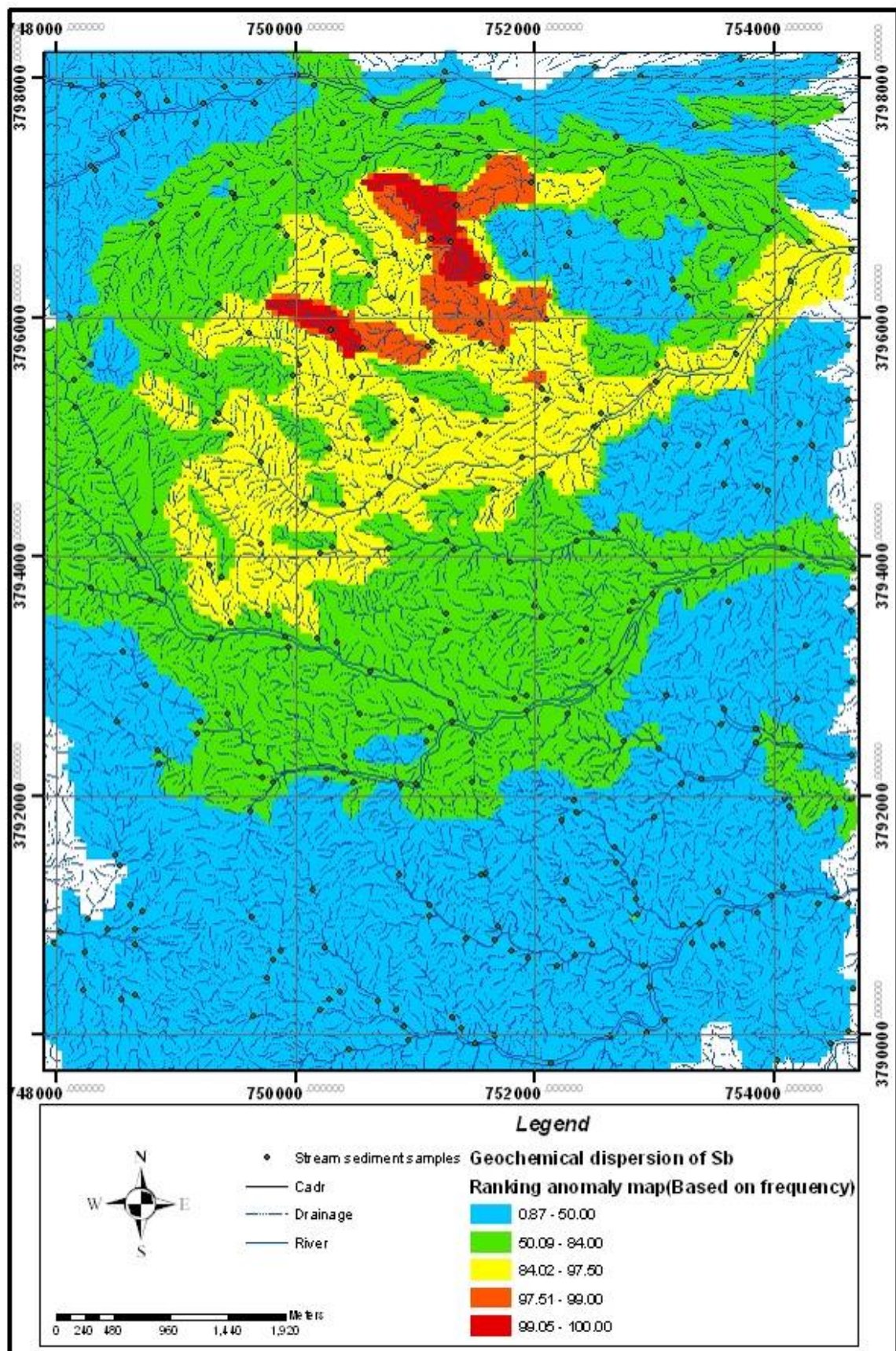
شکل (۹-۳): نقشه پراکندگی غلظت عنصر باریم



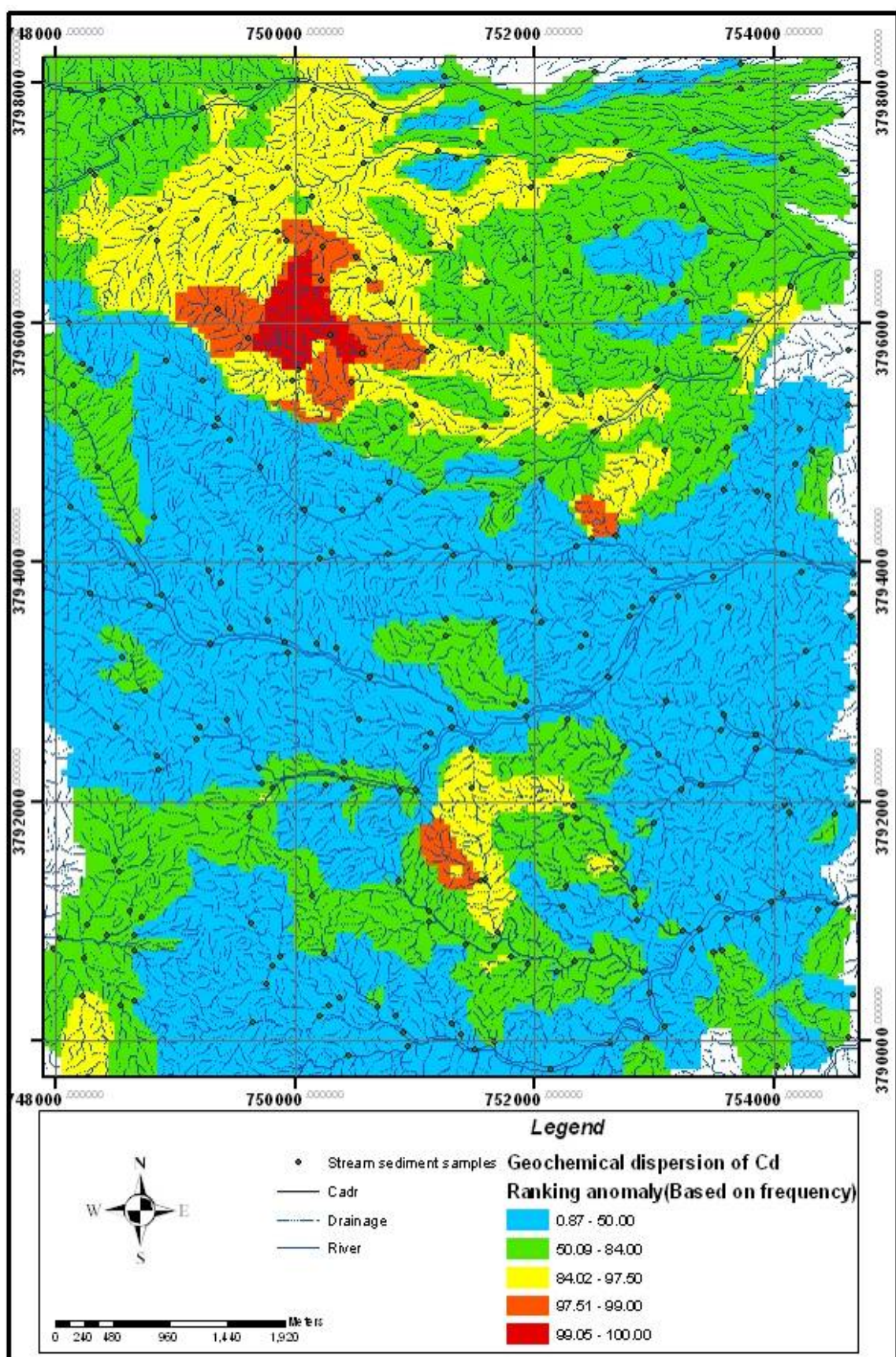
شکل (۱۰-۳): نقشه پراکندگی غلظت عنصر مولیبدن



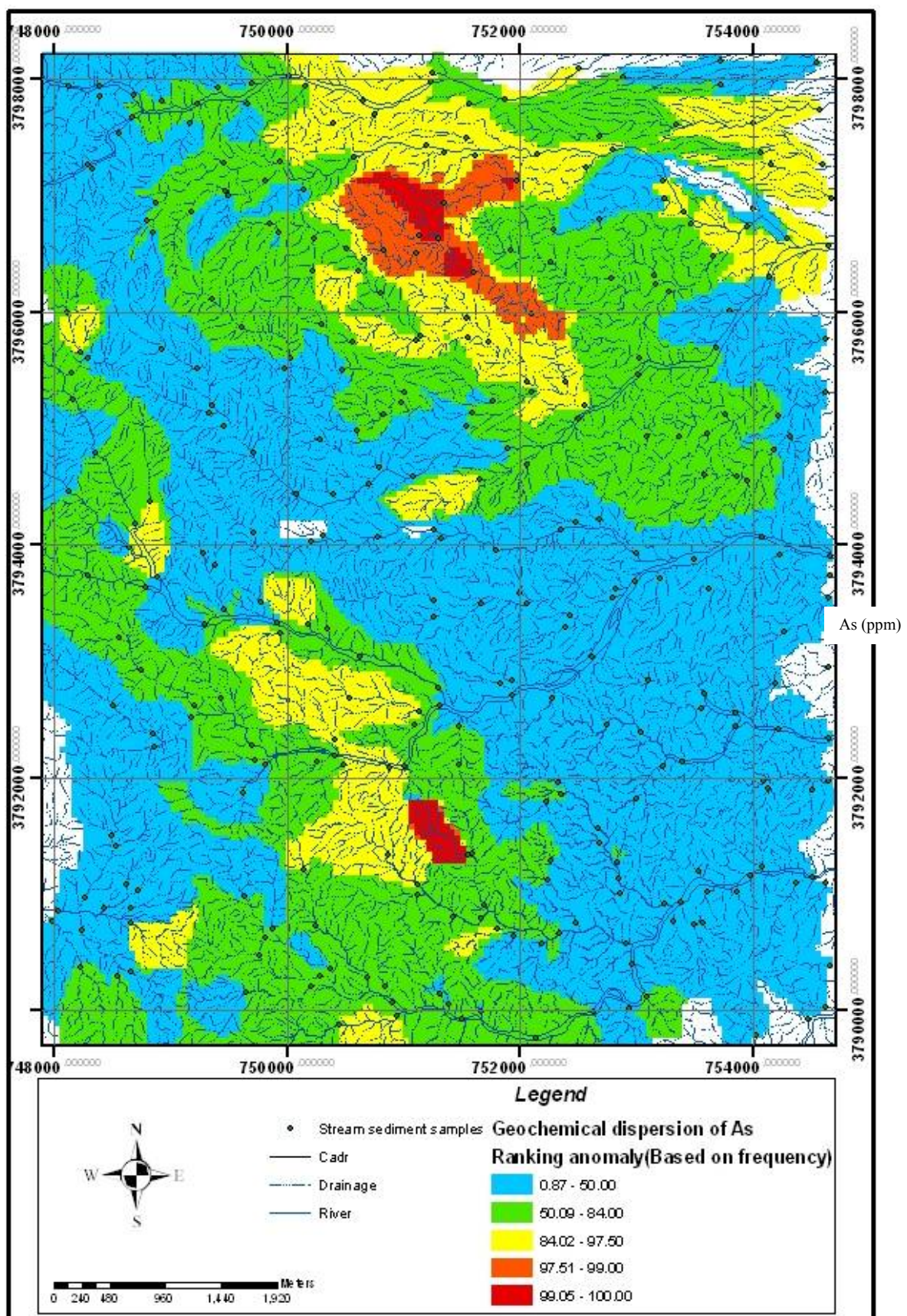
شکل (۱۱-۳): نقشه پراکندگی غلظت عنصر روی



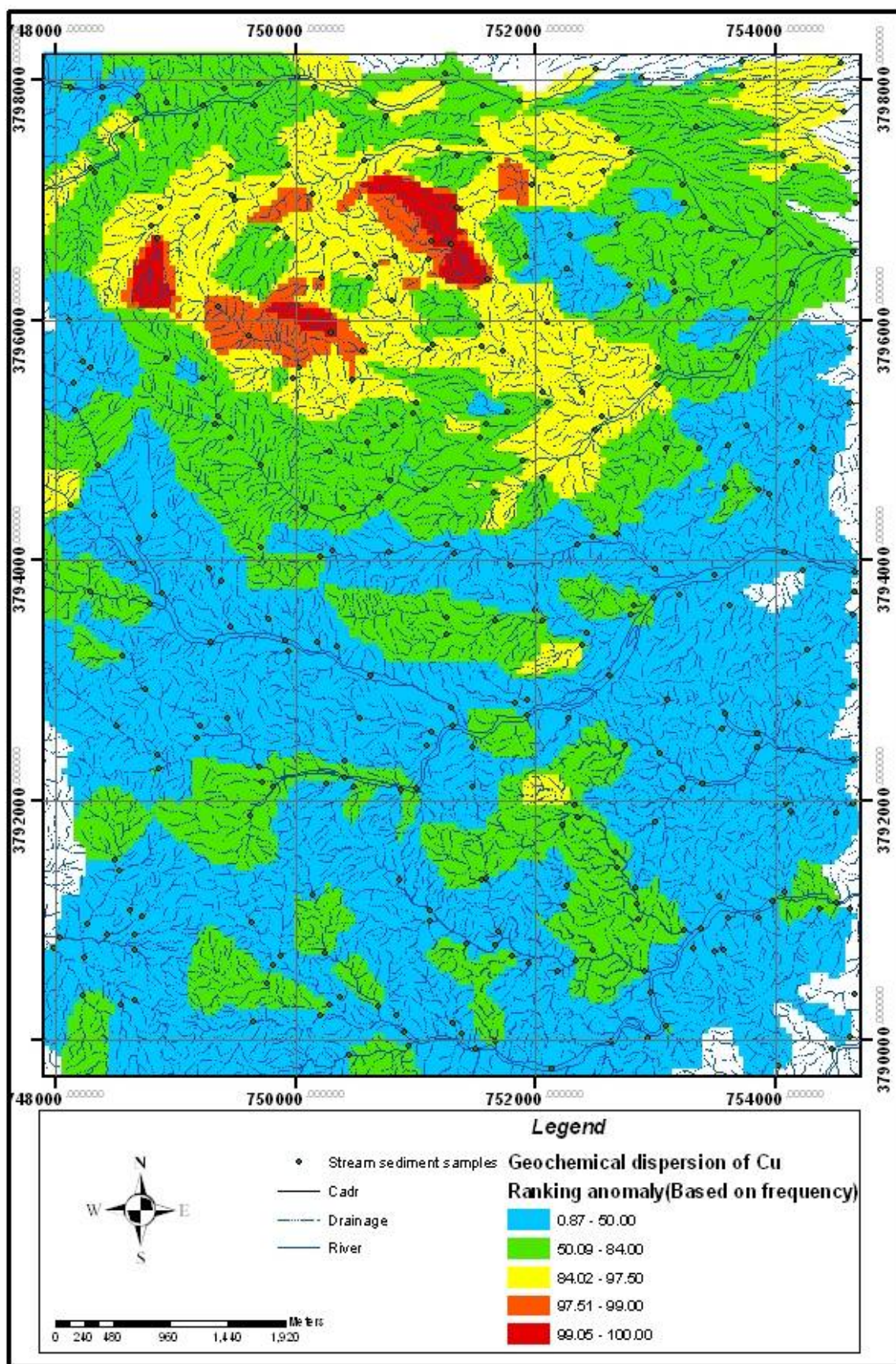
شکل (۱۲-۳): نقشه برآنده‌گی غلظت عنصر آنتیموان



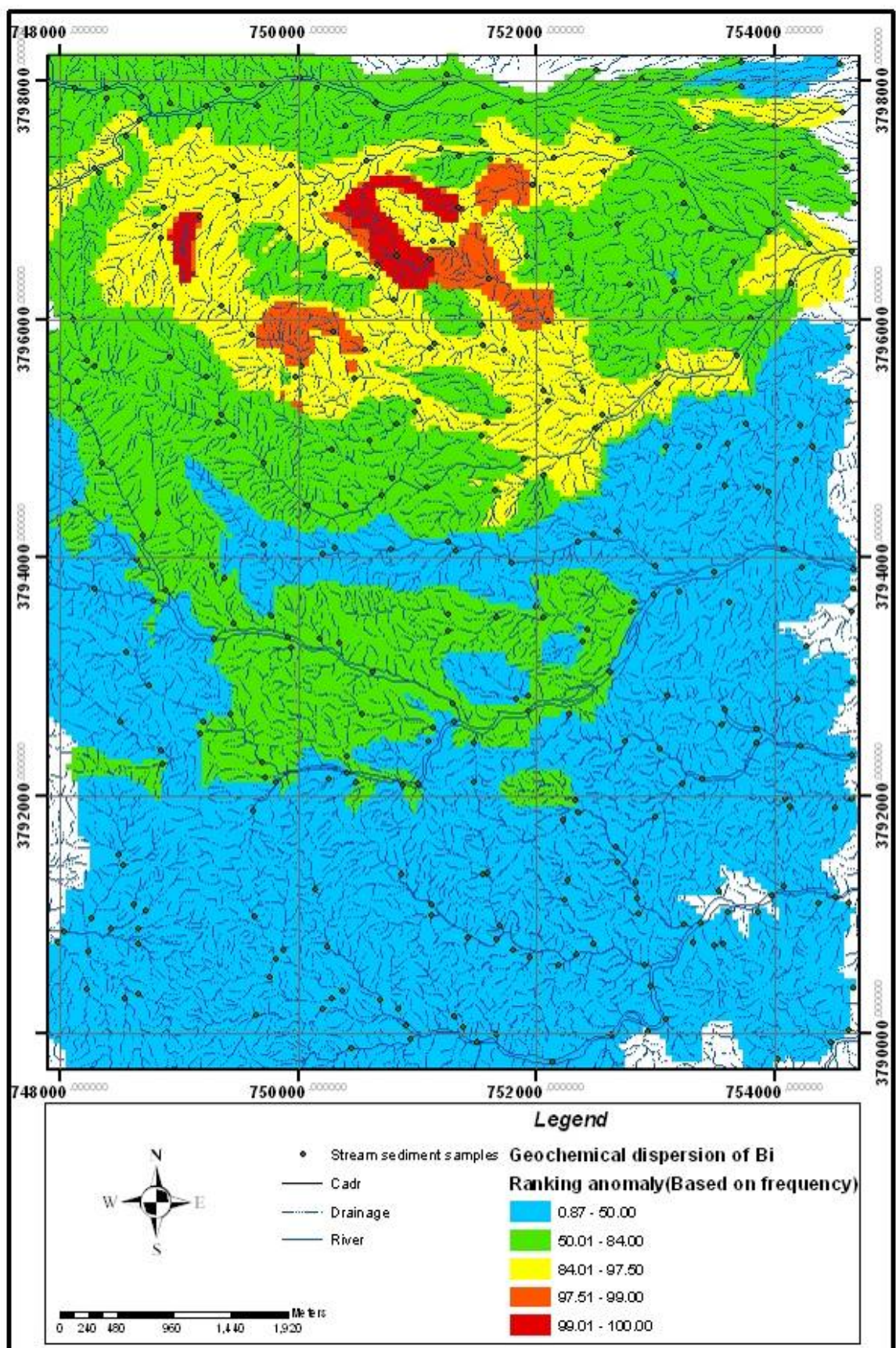
شکل (۱۳-۳): نقشه پراکندگی غلظت عنصر کادمیوم



شکل (۱۴-۳): نقشه پراکندگی غلظت عنصر آرسنیک



شکل (۱۵-۳): نقشه پراکندگی غلظت عنصر مس



شکل (۱۶-۳): نقشه پراکندگی غلظت عنصر بیسموت

## فصل چهارم

تحلیل‌های آماری چندمتغیره و تهیه نقشه

مبنا در نیمه شمالی منطقه

## ۱-۴- مقدمه

نتایج تحلیل تک متغیره عنصری و نقشه‌های پراکندگی ژئوشیمیایی عناصر نشان‌دهنده آن است که نیمه جنوبی منطقه وزن از اهمیت ژئوشیمیایی کمتری برخودار می‌باشد. بمنظور ارزیابی تاثیر فرآیندهای کانی‌سازی احتمالی بر روابط چند متغیره بوجود آمده در منطقه سعی شد از بخشی از داده‌های منطقه که تاثیر فرآیندهای مذکور بر روی آن بیشتر عملکرد است کمک گرفته شود. لذا در این مرحله تجزیه و تحلیل‌های آماری دو و چندمتغیره (با استفاده از نرم‌افزار SPSS) بر روی داده‌های نیمه شمالی منطقه که از لحاظ تمرکز عیارهای بالای عناصر مس، سرب، روی، طلا، نقره، بیسموت، آنتیموان و کادمیوم اهمیت بیشتری برخوردارند، صورت گرفت هدف تعیین نحوه ارتباط متغیرهایی است که با فرآیندهای کانی‌سازی و هیدروترمالی در ارتباط می‌باشند. بر این اساس از ۳۲۳ نمونه، تعداد ۱۵۱ نمونه رسوب آبرهایی که از بخش‌های شمالی و مرکزی منطقه برداشت گردیده‌اند انتخاب و مورد تحلیل آماری قرار گرفتند.

## ۲-۴- تحلیل آماری دو متغیره

فرآیندهای کانی‌سازی بر روی ارتباط ژنتیکی بین متغیرهای ژئوشیمیایی تاثیرگذار می‌باشند یا بعبارت دیگر ارتباط بین متغیرها به نوع و شدت فرآیندهای کانی‌سازی بستگی دارد [Reyment و Savazzi<sup>1</sup>]. ضریب همبستگی شاخص ریاضی جهت ارزیابی روابط دو متغیر می‌باشد. در صورتیکه روند تغییرپذیری دو متغیر همسو باشد می‌توان گفت که بین آنها همبستگی وجود دارد [Dundtمن<sup>2</sup>، ۱۹۸۴؛ Rimen ۲۰۰۰].

<sup>1</sup> Reyment and Savazzi

<sup>2</sup> Dundtman

ضریب همبستگی مقدار شدت وابستگی بین متغیرها را نشان می‌دهد. عدم وابستگی ژنتیکی را با تمایل به سمت صفر معرفی می‌کنند و قدر مطلق همبستگی برابر با یک نشان دهنده وجود یک رابطه قطعی بین دو متغیر می‌باشد [لوینسون، ۱۹۸۶].

نمودار پراکنش یا دیاگرام پراکندگی بهترین تصویر برای نشان دادن همبستگی بین دو متغیر است. برای سنجش همبستگی ضرایب گوناگون به کار می‌رود که ضریب همبستگی پیرسون و اسپیرمن دو نمونه از آنها می‌باشند. در همبستگی خطی نرمال از ضریب پیرسون و در همبستگی غیرخطی از ضریب همبستگی اسپیرمن کمک گرفته می‌شود [جانسون<sup>۱</sup> و ویچرن<sup>۲</sup>، ۲۰۰۷].

ضریب همبستگی رتبه‌ای اسپیرمن بین متغیرهای ژئوشیمیایی که مستقل از نوع تابع توزیع متغیر مورد بررسی است محاسبه و نتایج آن در جدول (۱-۴) ارائه گردیده است.

در ارزیابی وابستگی بین پارامترها، معنی دار بودن ضرایب همبستگی، در سطح اعتماد ۹۵ درصد توسط یک ستاره و همبستگی بسیار معنی‌دار در سطح اعتماد ۹۹ درصد با دو ستاره مشخص شده است. همبستگی‌های ۰/۶ در حد خوب ارزیابی می‌شود و ضریب همبستگی ۰/۸ و بالاتر بسیار عالی تفسیر می‌شوند.

با توجه به جدول (۱-۴)، همبستگی میان عناصر روی-کادمیوم، سرب-روی و آهن-وانادیم همبستگی بسیار نزدیکی را نشان می‌دهد و لذا همبستگی عنصر روی با عناصر سرب و کادمیوم حائز اهمیت است.

عنصر سرب با عناصر نقره، مس، روی، کادمیوم و بیسموت همبستگی بالای ۰/۷ با عنصر آنتیموان حدود ۰/۶ و با عناصر مولیبدن، منگنز و باریم دارای همبستگی حدود ۰/۵ می‌باشد. عنصر مس با عناصر روی، سرب، مولیبدن، نقره، کادمیوم، بیسموت همبستگی بالای ۰/۶ و با عنصر آنتیموان همبستگی حدود ۰/۵ برقرار کرده است. لذا ارتباط خوبی بین عناصر مس، سرب، روی، بیسموت،

<sup>1</sup> Johnson  
<sup>2</sup> Wichern

کادمیم و تا حدی با نقره و آنتیمون وجود دارد. البته ارتباط بین روی ، سرب، آنتیمون و مولیبدن در حد متوسط می باشد.

بیشترین همبستگی منفی میان عنصر منیزیم و آنتیموان به ثبت رسیده است.

جدول(۴-۱): ماتریس همبستگی عناصر به روش اسپیرمن

Elements	Au	Ag	As	Ba	Bi	Cd	Co	Cu	Fe	Hg	Mg	Mn	Mo	Ni	Pb	P	S	V	W	Zn	Sb															
	Au																																			
<b>Spearman Correlation</b>	1																																			
Au		.243(**)																																		
Ag			.126	.355(**)	1																															
As				.394(**)	.216(**)	1																														
Ba					-.002	.317(**)	.407(**)	1																												
Bi						.366(**)	.667(**)		.317(**)	.407(**)	1																									
Cd							.423(**)	.630(**)	.209(*)	.248(**)	.680(**)	1																								
Co								.154	.250(**)	.623(**)	0.066	.226(**)	.349(**)	1																						
Cu									.242(**)	.667(**)	.367(**)	.446(**)	.761(**)	.645(**)	.379(**)	1																				
Fe									0	0.089	.485(**)	0.13	0.041	-0.033	.591(**)	.195(*)	1																			
Hg										-.05	.344(**)	.185(*)	.162(*)	.217(**)	.195(*)	.173(*)	.305(**)	-0.147	1																	
Mg										0.113	-.191(*)	0.111	-.377(**)	-.313(**)	0.025	.401(**)	-.194(*)	.253(**)	0.036	1																
Mn											-.021	.345(**)	.300(**)	.344(**)	.269(**)	.297(**)	.467(**)	.439(**)	.418(**)	0.07	-0.08	1														
Mo											0.066	.496(**)	.477(**)	.568(**)	.509(**)	.379(**)	.413(**)	.709(**)	.461(**)	.172(*)	-.222(**)	.419(**)	1													
Ni											0.036	-0.01	.299(**)	-0.114	-0.06	0.104	.546(**)	.163(*)	0.128	.445(**)	.590(**)	0.044	0.075	1												
Pb												.244(**)	.770(**)	.365(**)	.464(**)	.704(**)	.741(**)	.340(**)	.699(**)	0.096	.200(*)	-.180(*)	.532(**)	.537(**)	-0.051	1										
P												-0.043	0.023	-0.048	-0.041	-.186(*)	-0.081	0.046	-.183(*)	.163(*)	0.023	.325(**)	.182(*)	-.206(*)	0.025	-0.008	1									
S												0.021	.335(**)	0.106	0.139	.406(**)	.364(**)	0.121	.321(**)	-.280(**)	.477(**)	-0.123	-0.059	.179(*)	.253(**)	.240(**)	-0.06	1								
V													-.035	-0.106	.431(**)	0.038	-.189(*)	-0.112	.460(**)	-0.031	.826(**)	-.191(*)	.388(**)	.204(*)	.272(**)	.182(*)	-0.047	.174(*)	-.269(**)	1						
W														.191(*)	.312(**)	-0.088	.284(**)	.439(**)	.346(**)	-.206(*)	.480(**)	-0.094	-0.005	-.353(**)	0.157	.244(**)	-.222(**)	.297(**)	-0.094	.186(*)	-.222(**)	1				
Zn															.305(**)	.651(**)	.319(**)	.395(**)	.634(**)	.850(**)	.477(**)	.741(**)	.188(*)	.173(*)	-0.002	.547(**)	.518(**)	0.068	.836(**)	-0.005	.192(*)	0.055	.287(**)	1		
Sb																-0.048	.634(**)	.312(**)	.657(**)	.438(**)	.284(**)	0.02	.541(**)	0.086	.164(*)	-.485(**)	.491(**)	.536(**)	-.253(**)	.651(**)	-0.061	0.097	-0.028	.367(**)	.500(**)	1

### ۳-۴- تجزیه و تحلیل خوشهای<sup>۱</sup>

روش‌های آماری چندمتغیره امکان تحلیل همزمان چند متغیر را فراهم می‌کنند. در تحلیل داده‌ها زمانیکه تعداد متغیرها به بیش از دو یا سه متغیر افزایش می‌یابد، عنوان مثلا در مسایل اکتشافی با یک فضای ۲۰، ۵۰ یا ۱۰۰ متغیره مواجه هستیم، بررسی روابط بین آنها صرفا از طریق تحلیل‌های چندمتغیره میسر می‌باشد [قومی ریابی ۲۰۰۷]. روشهای متعدد و متنوعی در تحلیل چند متغیره داده‌ها موجود می‌باشد که از جمله آنها می‌توان به تحلیل خوشهای، تحلیل مولفه‌های اصلی، تحلیل کنونیکال و ... اشاره نمود. در این روشهای سعی بر آن است تا بر اساس تحلیل داده‌ها و ارتباط بین متغیرهای مختلف نمونه‌های یک دسته داده بدست آمده از منطقه، روابط ژنتیکی بین متغیرها را مورد ارزیابی قرار داد [دیویس ۲۰۰۲؛ قومی ریابی ۲۰۰۷].

یکی از روشهای آنالیز روابط ژنتیکی چندمتغیره، آنالیز خوشهای است که هدف آن تفسیر ساختار ماتریس واریانس-کوواریانس مجموعه‌ای از داده‌های چندمتغیره می‌باشد. در برخی از شیوه‌های محاسباتی این روش، ماتریس ضرایب همبستگی دومتغیره (فوائل اقلیدوسی تشابه یا عدم تشابه محاسبه شده برای دو به دو متغیرها) مبنای کار قرار می‌گیرد [دیویس، ۲۰۰۲؛ ریچارد<sup>۲</sup> ۲۰۰۲]. شناخت همبستگی‌های ژنتیکی بین عناصر، اطلاعات لازم را در جهت تفسیر هر چه صحیح‌تر داده‌های ژئوشیمیایی در اختیار می‌گذارد و در تفسیر و تشخیص نوع نهشته از ناهنجاریهای بی‌اهمیت و گمراه کننده کاربرد زیادی دارد [ Templ<sup>۳</sup>، ۲۰۰۳؛ ۲۰۰۶].

هدف از تحلیل خوشهای دست یافتن به ملاکی برای طبقه‌بندی هر چه مناسب‌تر متغیرها و یا نمونه‌ها بر اساس تشابه هر چه بیشتر درون گروهی و اختلاف هر چه بیشتر بین گروهی است. تحلیل خوشهای با برقراری ارتباط بین مجموعه‌ای از متغیرهای به ظاهر بی‌ارتباط، به شناخت یک مدل

<sup>1</sup> Cluster Analysis

<sup>2</sup> Richard

<sup>3</sup> Templ

فرضی بین آنها اقدام کرده و به کاهش ابعاد متغیرها می‌پردازد. دو نوع تجزیه و تحلیل در این رابطه

مدنظر قرار داده می‌شود [اندرسون<sup>۱</sup>، ۲۰۰۳؛ حسنی‌پاک ۱۳۸۰]:

۱- تجزیه و تحلیل نوع R-Mode: در این روش تعیین بستگی‌های بین پارامتری متغیرها (غلظت

عناصر) مدنظر است. بنابراین با استفاده از این روش عناصر اصلی موجود در یک مجموعه

ژئوشیمیایی شناخته می‌شوند.

۲- تجزیه و تحلیل نوع Q-Mode: هدف از این بررسی، تعیین و ارزیابی همبستگی‌های موجود

بین نمونه‌های مختلف (بر حسب تغییر متغیرها، مانند آنالیز و ترکیب شیمیایی سنگها)

می‌باشد. در این روش نمونه‌های مشابه در گروههای یکسان قرار می‌گیرند [حسنی‌پاک

۱۳۸۰؛ کلوتیر<sup>۲</sup> و همکاران ۲۰۰۸].

در تحلیل خوش‌های با بررسی همبستگی‌های موجود بین نمونه‌ها و متغیرهای مختلف و بر اساس بیشترین شباهت، اقدام به طبقه‌بندی و خوش‌بندی می‌گردد. در هر مرحله، بالاترین شباهتها یا همبستگی‌های موجود بین متغیرها مبنای دسته‌بندی (خوش‌بندی) اولیه خواهد شد و بدین ترتیب در هر مرحله از تعداد متغیرها کاسته خواهد شد و به جای آن یک دسته متغیر معرفی می‌گردد. مراحل محاسباتی دسته‌بندی یا خوش‌بندی تا مرحله‌ای ادامه می‌یابد تا کلیه متغیرها در یک خوش، دسته‌بندی گردند [حسنی‌پاک و شرف‌الدین، ۱۳۸۰]. روش اتصال نزدیکترین همسایگی، روش دورترین همسایگی، روش اتصال میانگین، و روش وارد<sup>۳</sup> برخی از روش‌های محاسباتی می‌باشند. از آنجا که روش اتصال میانگین‌ها حدواتر روش کمترین همسایگی و دورترین همسایگی است لذا نتایج آن معمولاً مناسب می‌باشند [سوآن، ۱۹۹۵].

نتایج حاصل از تحلیل خوش‌های بصورت یک دندوگرام نمایش داده می‌شود که نحوه اتصال متغیرها به یک خوشه یا یک خوشه به خوشه دیگر بر روی مقیاس خطی، متناظر با درجه شباهت آن

<sup>۱</sup> Anderson

<sup>۲</sup> Cloutier

<sup>۳</sup> Ward's Method

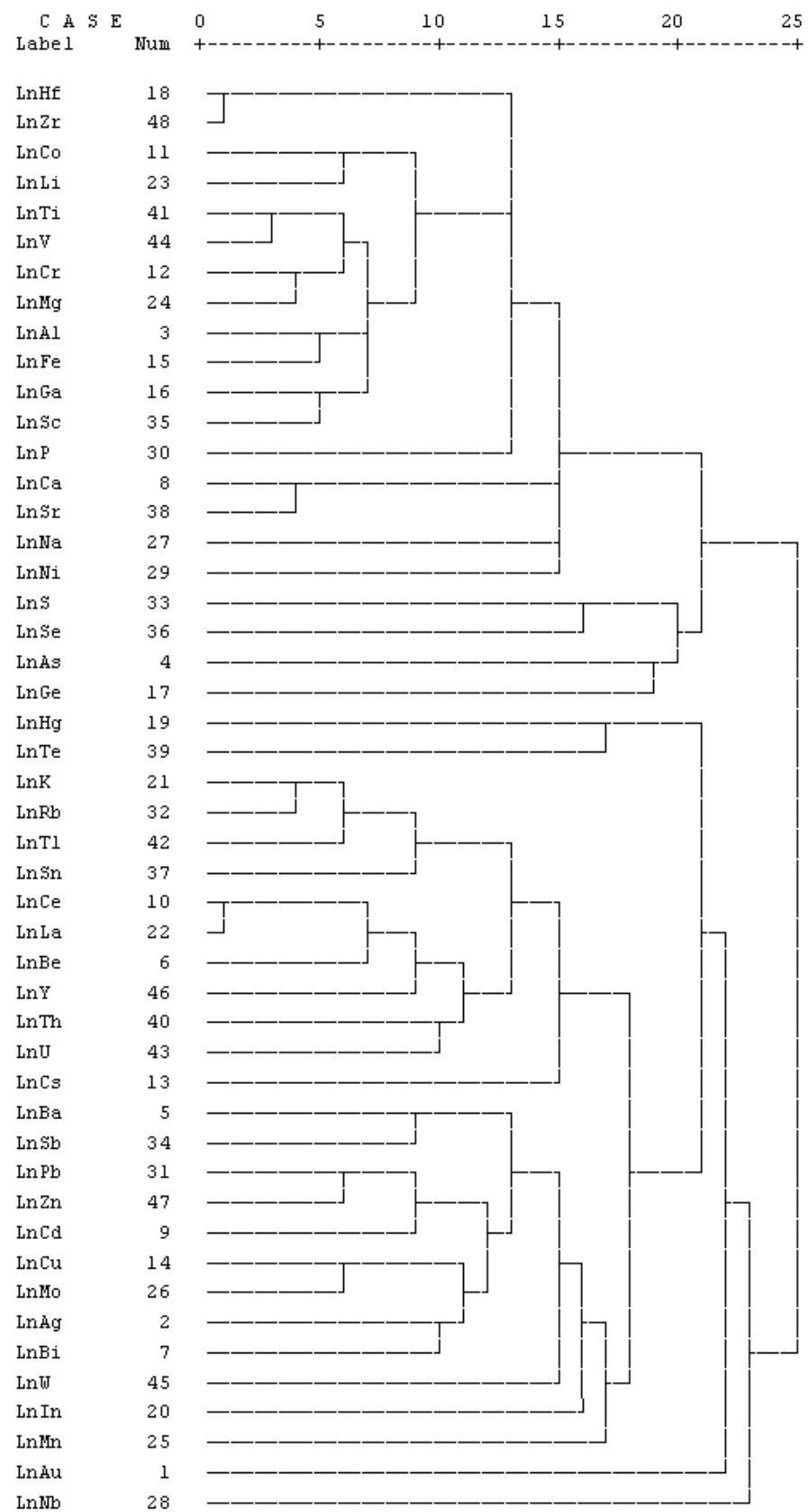
است. در این تحقیق بمنظور گروه‌بندی داده‌ها از روش سلسله مراتبی استفاده و نتیجه حاصل به صورت دندروگرام نمایش داده شد (شکل ۱-۴). برای بدست آوردن بهترین دندروگرام، روش‌های مختلف آنالیز خوشه‌ای بر روی داده‌های خام و نرمال شده اعمال گردید و در نهایت بهترین دندروگرام با استفاده از روش اتصال میانگین<sup>۱</sup> بر روی داده‌های نرمال حاصل شد.

---

<sup>۱</sup> between-group linkage

endrogram using Average Linkage (Between Groups)

Rescaled Distance Cluster Combine



شکل(۱-۴): نمودار خوش‌ای عناصر

همانطور که در شکل (۱-۴) دیده می‌شود عناصر وانادیم، تیتانیم، اسکاندیم، آلمینیم، آهن و منیزیم و استرانسیم با هم در یک گروه قرار گرفته‌اند. همیافتی عناصر فوق که از قربت خوبی برخوردار می‌باشند امری کاملاً منطقی بوده اما بدليل عدم وجود سنگهای بازیک و الترابازیک در سطح منطقه نمی‌توان انتظار کانی‌سازی این عناصر را داشت.

عناصر بیسموت، سرب، روی، مس، کادمیوم و نقره با انطباق خوبی در یک گروه قرار گرفته‌اند. همچنین عناصر باریم، آنتیموان و مولیبدن نیز با همپوشانی پایینتر با این عناصر در یک گروه قرار می‌گیرند. لازم به ذکر است که همیافتی این عناصر با یکدیگر می‌تواند معرف کانی‌سازی درجه حرارت‌های پائین تا متوسط می‌باشد که در سطح منطقه بیشتر بصورت جایگیری در درز و شکافهای موجود قابل بررسی است. بر اساس شواهدی کانی‌سازی که از منطقه مورد مطالعه بدست آمده است (آثار گالن، مالاکیت، کالکوپیریت، رگچه‌های باریت و مقادیر در حدود ۳۳۰ میلی‌گرم درتن طلا) بخشی از این روابط مورد تأیید قرار می‌گیرد.

#### ۴-۴- تجزیه و تحلیل فاکتوری<sup>۱</sup>

تحلیل مولفه‌های اصلی و فاکتوری یکی دیگر از روش‌های آمار چندمتغیره است که هدف اولیه آن تفسیر ساختار ماتریس واریانس-کواریانس مجموعه‌ای از داده‌های چندمتغیره است. ارزیابی همبستگی بین متغیرها (غلظت‌های مختلف یک متغیر) و تعیین همبستگی نمونه‌های مختلف (بر حسب تغییرات متغیرها) در تحلیل مولفه‌های اصلی مورد بررسی قرار می‌گیرد [۱] مردیا و همکاران<sup>۲</sup>، ۱۹۷۹؛ گلاور و همکاران<sup>۳</sup>، ۲۰۰۴]. این نوع از تجزیه و تحلیل، مقایسه‌ای بدست می‌دهد تا با تکیه بر آن، روابط همبستگی پارامتری متغیرها (در این تحقیق غلظت اندازه‌گیری شده توسط آزمایشگاه) در نمونه‌های آنالیز شده مشخص گردد و قادر خواهد بود متغیرهای اصلی موجود در تحلیل داده‌های یک

<sup>1</sup> Factor Analysis

<sup>2</sup> Mardia et al

<sup>3</sup> Glover et al

پدیده (در این تحقیق، منظور رخدادهای زمین‌شناسی، تکتونیکی و ژئوشیمیایی موثر بر پراکندگی ژئوشیمیایی غلظت عناصر در منطقه نمونه‌برداری شده می‌باشد) را شناسایی کند و اولویت آنها را در توجیه میزان واریانس کلی (تفسیر کلیه پدیده و رخدادهای تاثیرگذار بر منطقه مورد مطالعه یا تغییرپذیری غلظت در نمونه‌ها) محاسبه کرده و در قالب جداول و نمودارها نشان دهد [ریمن ۲۰۰۲؛ جانسون ۲۰۰۷].

تحلیل فاکتوری بین مجموعه فراوانی از متغیرها، رابطه خاصی را تحت یک مدل فرضی برقرار می‌کند. این روش در پی تحقق اهداف زیر خواهد بود:

- ۱- تعریف فاکتورهایی اساسی که شامل مجموعه‌ای از متغیرهای مرتبط با یکدیگر باشند.
- ۲- تعیین سهم نسبی هر یک از فاکتورها که در توجیه تغییرات به وجود آمده در بین کل داده‌ها (ارزیابی مقدار ویژه هر یک از بردارهای ویژه) نقش دارند.
- ۳- تعیین و شناخت متغیرهای کنترل‌کننده در میان یک سری از داده‌های ژئوشیمیایی و یافتن کمترین تعداد متغیر در میان یک سری از داده‌ها که بیشترین پدیده‌های حادث شده در منطقه را نشان بدهند.

به منظور آشنایی با مبانی روش، فرض کنید تعداد  $p$  متغیر  $x_1, x_2, \dots, x_p$  برای  $n$  نمونه اندازه‌گیری شده است. همچنین فرض کنید  $f_1, f_2, \dots, f_k$  متغیرهای تصادفی باشند که بتوان برای آنها روابط زیر را نوشت [حسنی‌پاک و شرف‌الدین، ۱۳۸۰؛ گلاور و همکاران، ۲۰۰۴]:

$$\begin{aligned} x_1 &= \mu_{x1} + a_{11}f_1 + a_{12}f_2 + \dots + a_{1k}f_k + e_1 \\ x_2 &= \mu_{x2} + a_{21}f_1 + a_{22}f_2 + \dots + a_{2k}f_k + e_2 \end{aligned}$$

.

.

$$x_p = \mu_{xp} + a_{p1}f_1 + a_{p2}f_2 + \dots + a_{pk}f_k + e_p$$

که در آن  $\mu_{xi}$  میانگین متغیر  $x_i$ ،  $a_{ij}$  ضرایب متغیرهای  $f_i$  می‌باشند که باید محاسبه شوند و بالاخره  $e_i$  مؤلفه‌های خطای تصادفی می‌باشند که ممکن است ناشی از خطاهای اندازه‌گیری باشد. رابطه فوق را به شکل ماتریسی می‌توان بصورت زیر نوشت:

$$[x] = [\mu] + [A] [f] + [e]$$

که در آن  $[x]$  برداری  $k \times 1$  است که حاوی هر یک از متغیرهای اولیه است.  $[\mu]$  برداری  $1 \times 1$  است که حاوی میانگین‌های مقادیر متغیرهای  $X_i$  است،  $[A]$  ماتریسی  $k \times p$  است که حاوی ضرایب متغیرهای  $f_i$  است که باید محاسبه شوند،  $[f]$  برداری  $1 \times p$  است که حاوی متغیرهای تصادفی  $f_i$  است که فاکتور نامیده می‌شوند و بالاخره  $[e]$  برداری  $1 \times k$  است که حاوی مؤلفه‌های خطای تصادفی برای هر یک از متغیرهای  $x_i$  است [حسنی پاک و شرف الدین، ۱۳۸۰؛ گلاور و همکاران، ۲۰۰۴].

همانگونه که در بالا ذکر شد، متغیرهای  $f_i$  را فاکتور می‌نامند. این متغیرها عوامل فیزیکوشیمیایی محیط اکتشافی (رخدادهای زمین‌شناسی، تکتونیکی و ژئوشیمیایی موثر بر پراکندگی ژئوشیمیایی غلظت عناصر در منطقه نمونه‌برداری) است که در روابط علت و معلولی می‌توانند نقش علت را ایفا کنند. در واقع هدف از تجزیه و تحلیل فاکتوری تعیین و تفکیک عمدۀ ترین متغیرهای کنترل‌کننده از متغیرهای با نقش کمتر است. در این صورت می‌توان با حداقل تعداد متغیرهای فاکتوری، حداقل تغییرپذیری بین داده‌ها را توجیه کرد و سهم نسبی هریک از متغیرهای فاکتوری را در توجیه تغییرپذیری مشخص نمود. بطور خلاصه هدف از تجزیه و تحلیل فاکتوری آن است که برای  $p$  متغیر اندازه‌گیری شده (تحت بررسی) بتوان  $k$  متغیر فاکتوری ( $p < k$ ) را طوری تعریف کرد که بتوانند بخش اعظمی از تغییرپذیری‌ها را توجیه کنند [حسنی پاک و شرف الدین، ۱۳۸۰، هاردل<sup>۱</sup>].

از آنجا که اغلب یک یا چند عامل ویژه چندمتغیره را کنترل می‌کنند، روشهایی بوجود آمده‌اند که بدون تغییر میزان اشتراک، تفسیر عوامل را ساده‌تر می‌سازند. این روشهای همان دوران عوامل هستند که به دو روش عمود و مایل صورت می‌گیرند. دورانهای عمود استقلال میان عوامل را حفظ کرده اما

<sup>۱</sup> Härdle

دورانهای مایل عوامل را به هم وابسته می‌نمایند [هاردل، ۲۰۰۷]. در این فصل با استفاده از روش وریمکس<sup>۱</sup> که دوران متعامد است بر روی ضرایب عاملی دوران صورت می‌گیرد. مقادیری با قدر مطلق نسبتاً بزرگ و یا صفر به ستونهای ماتریس ضرایب عاملها اختصاص یافتد. در نتیجه عواملی ایجاد شده‌اند که یا شدیداً به متغیرها وابسته‌اند یا مستقل از آنها هستند و سبب ساده شدن تفسیر عاملها می‌گردند. با استفاده از این روش می‌توان عناصری را که در هر عامل از اهمیت بیشتری برخوردارند تعیین کرد [گلاور و همکاران، ۲۰۰۴].

در این تحقیق برای ساخت متغیرهای مرکب و تعیین عناصر پاراژنز و همراه با یکدیگر، از روش تجزیه عاملها استفاده شده است. برای نیل به این هدف ابتدا پارامترهای آماری شامل : مقادیر ویژه، واریانس و واریانس تجمعی هر مولفه، همراه با مقادیر مشارکت هر مولفه محاسبه و نتایج آن در جدول (۲-۴) آورده شده است. برای نشان دادن مقادیر ویژه نسبت به تعداد مولفه‌ها نمودار مقادیر ویژه در مقابل تعداد مولفه‌ها نیز ترسیم گردیده است [حسنی پاک و شرف الدین، ۱۳۸۰] (شکل ۲-۴).

با توجه به نتایج محاسبات انجام شده در تحلیل فاکتوری (جدول ۲-۴)، بیشترین مقدار ویژه برابر  $\frac{7}{4}$  که حدود ۲۶٪ تغییرپذیری را نمایش می‌دهد و کمترین آن حدود  $\frac{4}{0}$  که کمتر از ۲٪ تغییرپذیری را معرفی می‌نماید. شکستی بین مولفه‌ها گویای این مطلب است که در حد چهار مولفه بخش قابل ملاحظه‌ای از مولفه‌ها محاسبه گردیده است. مقدار واریانس برای مولفه‌های اول تا هفتم به ترتیب  $\frac{25}{4}$ ،  $\frac{22}{2}$ ،  $\frac{11}{6}$ ،  $\frac{5}{6}$ ،  $\frac{5}{5}$  و  $\frac{4}{5}$  درصد می‌باشد. این هفت مولفه در حدود ۸۰ درصد واریانس را در محیط ژئوشیمیایی مورد مطالعه پوشش می‌دهند. مقادیر خام، مقادیر تبدیل یافته و ضرایب امتیازی هر مولفه در مرحله بعد محاسبه گردیده است. مقادیر خام تحت بردار خاص وریمکس قرار گرفته‌اند که این بردار در اثر چرخش محورها بیشترین واریانس را برای هر مولفه محاسبه می‌نماید. به استناد مولفه چرخش یافته<sup>۲</sup> هرفاکتور (جدول ۳-۴)، فاکتور اول شامل عناصر سرب، روی،

<sup>1</sup> Varimax

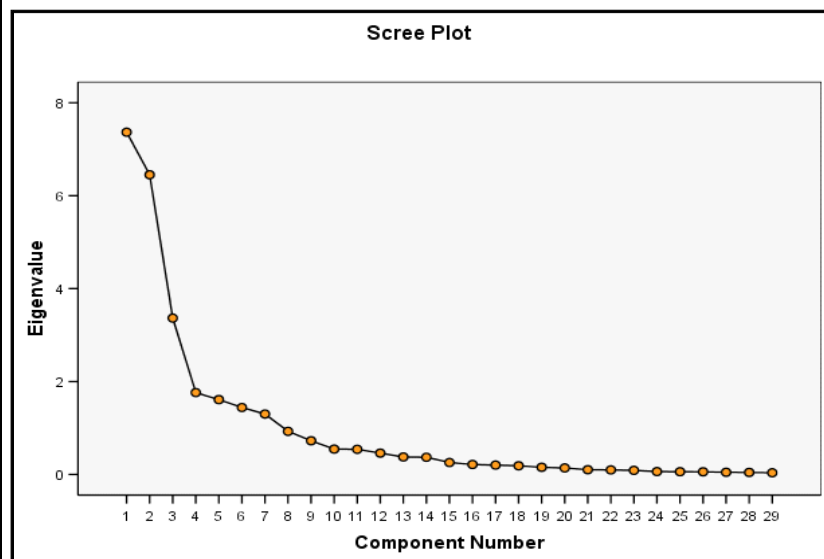
<sup>2</sup> Rotated Component

نقره، مس، آنتیموان، کادمیوم، بیسموت، باریم می‌باشد که همیافتی این عناصر می‌تواند نشانی از کانی‌سازی کانساری درجه حرارت پایین تا متوسط (به استثناء بیسموت) در منطقه باشد، که بیشتر بصورت رگه‌ای در درز و شکافها جایگیر شده‌اند. این امر با حضور اندیس‌های معدنی باریم در سطح منطقه نیز قابل توجیه می‌باشد. فاکتور دوم در برگیرنده عناصر وانادیم، اسکاندیم، منیزیم، اسکاندیم، کرم، تیتانیم می‌باشد. پاراژنز این عناصر هرچند منطقی و قابل قبول بوده و نشان دهنده کانی‌سازی و یا سری پاراژنهای سنگهای بازیک و التربابازیک است، اما در منطقه مورد مطالعه بدلیل عدم حضور سنگهای فوق انتظار کانی‌سازی خاصی از این عناصر وجود ندارد. سایر فاکتورها و متغیرهای تأثیرگذار بر آنها شامل عناصر قلع، روبيدیم، لانتانیم بعنوان فاکتور سوم، عناصر لیتیم، آرسنیک و کبالت بعنوان فاکتور چهارم، گروه عناصر نیکل و گوگرد در فاکتور پنجم، عناصر فسفر و منگنز در فاکتور ششم و نهایتاً عنصر طلا در فاکتور هفتم می‌باشند.

جدول (۲-۴): جدول واریانس تجمعی

Total Variance Explained			Extraction Sums of Squared Loadings						
	Total	% of Variance	Cumulative %	Total	% of Variance	Cumulative %	Total	% of Variance	Cumulative %
1	7.366	25.400	25.400	7.366	25.400	25.400	6.643	22.909	22.909
2	6.450	22.240	47.640	6.450	22.240	47.640	5.480	18.898	41.807
3	3.365	11.604	59.244	3.365	11.604	59.244	3.243	11.182	52.989
4	1.762	6.077	65.321	1.762	6.077	65.321	2.744	9.464	62.453
5	1.611	5.555	70.876	1.611	5.555	70.876	1.877	6.473	68.926
6	1.441	4.969	75.845	1.441	4.969	75.845	1.721	5.936	74.862
7	1.301	4.488	80.333	1.301	4.488	80.333	1.587	5.472	80.333
8	0.928	3.202	83.535						
9	0.726	2.503	86.038						
10	0.546	1.883	87.921						
11	0.542	1.868	89.789						
12	0.459	1.584	91.372						
13	0.377	1.300	92.672						
14	0.370	1.278	93.950						
15	0.258	0.888	94.838						
16	0.215	0.741	95.579						
17	0.202	0.697	96.276						
18	0.187	0.644	96.920						
19	0.154	0.533	97.453						
20	0.141	0.485	97.938						
21	0.103	0.355	98.293						
22	0.099	0.341	98.633						
23	0.088	0.305	98.938						
24	0.063	0.216	99.154						
25	0.059	0.205	99.359						
26	0.057	0.198	99.556						
27	0.047	0.164	99.720						
28	0.044	0.153	99.873						
29	0.037	0.127	100.000						

Extraction Method: Principal Component Analysis.



شکل (۲-۴): نمودار مقادیر ویژه در مقابل تعداد مولفه‌ها

جدول(۴-۳): ماتریس مؤلفه های چرخش یافته عناصر

	Rotated Component Matrix(a)						
	Component						
	1	2	3	4	5	6	7
<b>LnPb</b>	<b>0.931</b>	-0.092	-0.011	0.101	-0.055	0.083	-0.010
<b>LnZn</b>	<b>0.899</b>	0.089	-0.050	0.085	-0.033	0.156	0.156
<b>LnAg</b>	<b>0.835</b>	-0.124	0.093	0.102	0.046	0.033	-0.017
<b>LnCu</b>	<b>0.808</b>	0.083	0.282	0.066	0.203	-0.119	0.116
<b>LnCd</b>	<b>0.808</b>	-0.016	-0.133	-0.117	0.149	0.086	0.348
<b>LnBi</b>	<b>0.797</b>	-0.271	0.169	0.088	0.106	-0.131	0.173
<b>LnSb</b>	<b>0.712</b>	-0.171	0.205	0.034	-0.248	0.020	-0.403
<b>LnMo</b>	<b>0.667</b>	0.261	0.304	0.129	0.127	-0.307	-0.230
<b>LnBa</b>	<b>0.591</b>	-0.012	0.216	0.018	-0.010	-0.100	-0.512
<b>LnCr</b>	-0.094	<b>0.923</b>	0.041	-0.020	0.178	0.025	0.006
<b>LnV</b>	-0.025	<b>0.872</b>	-0.030	0.185	-0.157	0.050	-0.158
<b>LnTi</b>	0.015	<b>0.849</b>	-0.137	0.065	-0.235	-0.001	-0.130
<b>LnSc</b>	-0.029	<b>0.831</b>	0.018	0.299	-0.012	-0.026	0.061
<b>LnAl</b>	0.016	<b>0.731</b>	0.363	0.397	0.217	0.028	0.156
<b>LnMg</b>	-0.208	<b>0.725</b>	-0.381	0.114	0.253	0.201	0.266
<b>LnRb</b>	0.153	-0.145	<b>0.848</b>	-0.137	0.078	0.101	-0.154
<b>LnSn</b>	0.029	0.403	<b>0.812</b>	-0.116	-0.150	-0.189	-0.151
<b>LnLa</b>	0.095	-0.073	<b>0.679</b>	0.234	-0.508	0.251	-0.060
<b>LnBe</b>	0.278	-0.252	<b>0.666</b>	0.367	-0.148	0.293	0.009
<b>LnW</b>	0.400	-0.175	0.435	-0.392	0.018	0.025	0.333
<b>LnLi</b>	-0.025	0.450	0.113	<b>0.798</b>	-0.092	0.011	0.157
<b>LnAs</b>	0.397	0.125	-0.012	<b>0.721</b>	0.117	-0.209	-0.181
<b>LnCo</b>	0.295	<b>0.473</b>	-0.171	<b>0.692</b>	0.222	0.083	0.058
<b>LnNi</b>	-0.025	0.253	-0.211	0.365	<b>0.767</b>	0.016	0.053
<b>LnS</b>	0.320	-0.326	-0.001	-0.107	<b>0.709</b>	-0.009	-0.135
<b>LnP</b>	-0.079	0.221	0.056	-0.004	0.026	<b>0.768</b>	-0.044
<b>LnSr</b>	-0.053	0.451	-0.092	0.352	0.031	-0.629	-0.035
<b>LnMn</b>	<b>0.475</b>	0.195	0.182	0.305	-0.134	<b>0.500</b>	-0.167
<b>LnAu</b>	0.350	-0.019	-0.145	0.039	-0.080	-0.131	<b>0.710</b>

Extraction Method: Principal Component Analysis. Rotation Method: Varimax with Kaiser Normalization.

a

Rotation converged in 10 iterations.

#### ۴-۵- ترسیم نقشه کانی سنگین و بررسی انتشار کانی های با اهمیت

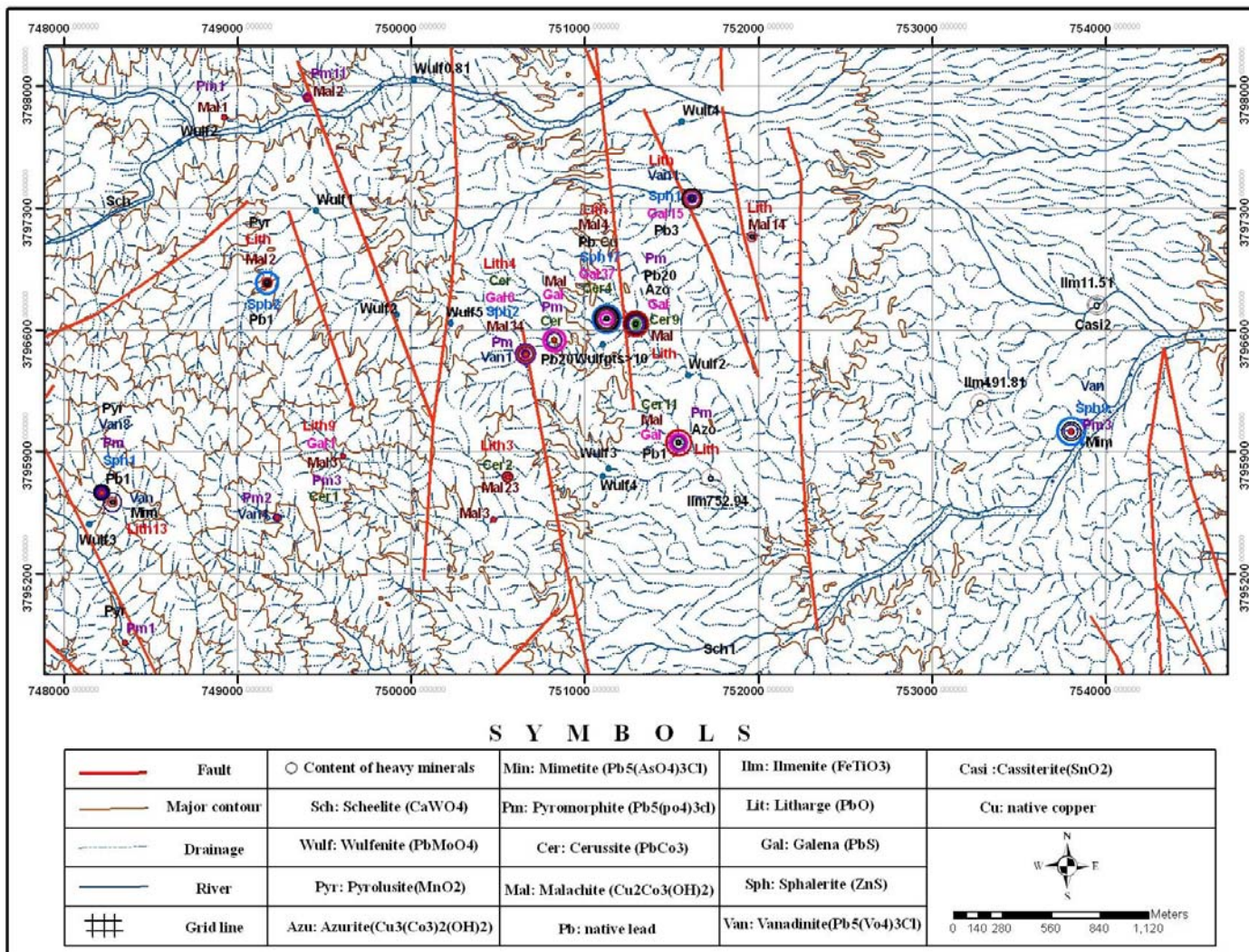
به منظور تلفیق نتایج ژئوشیمی (آنالیز عنصری) و مطالعات کانی سنگین و درک هر چه بهتر موقعیت مکانی و نحوه انتشار کانی های کانسارساز در کل گستره منطقه مورد مطالعه اقدام به ترسیم نقشه کانی سنگین گردید [مهندسین مشاور کان ایران، ۱۳۸۸] بر روی نقشه موقعیت مکانی نمونه های کانی سنگین و همچنین کانی های با اهمیتی که برای هر نمونه غنی شدگی (تجمع کانی سنگین در نمونه ها) نشان داده اند، مشخص گردیده است. هر کانی با یک رنگ و یک علامت خاص مشخص گردیده بطور یکه اندازه هر دابره نشان دهنده میزان غنی شدگی آن کانی می باشد. هر کانی با علامت

اختصاری و به همراه تعداد ذره آن در کنار محل نمونه برداری نوشته شده است. این نقشه بهمراه نقشه محدوده های آنومال بعداً بعنوان نقشه مبنا مورد استفاده قرار خواهد گرفت.

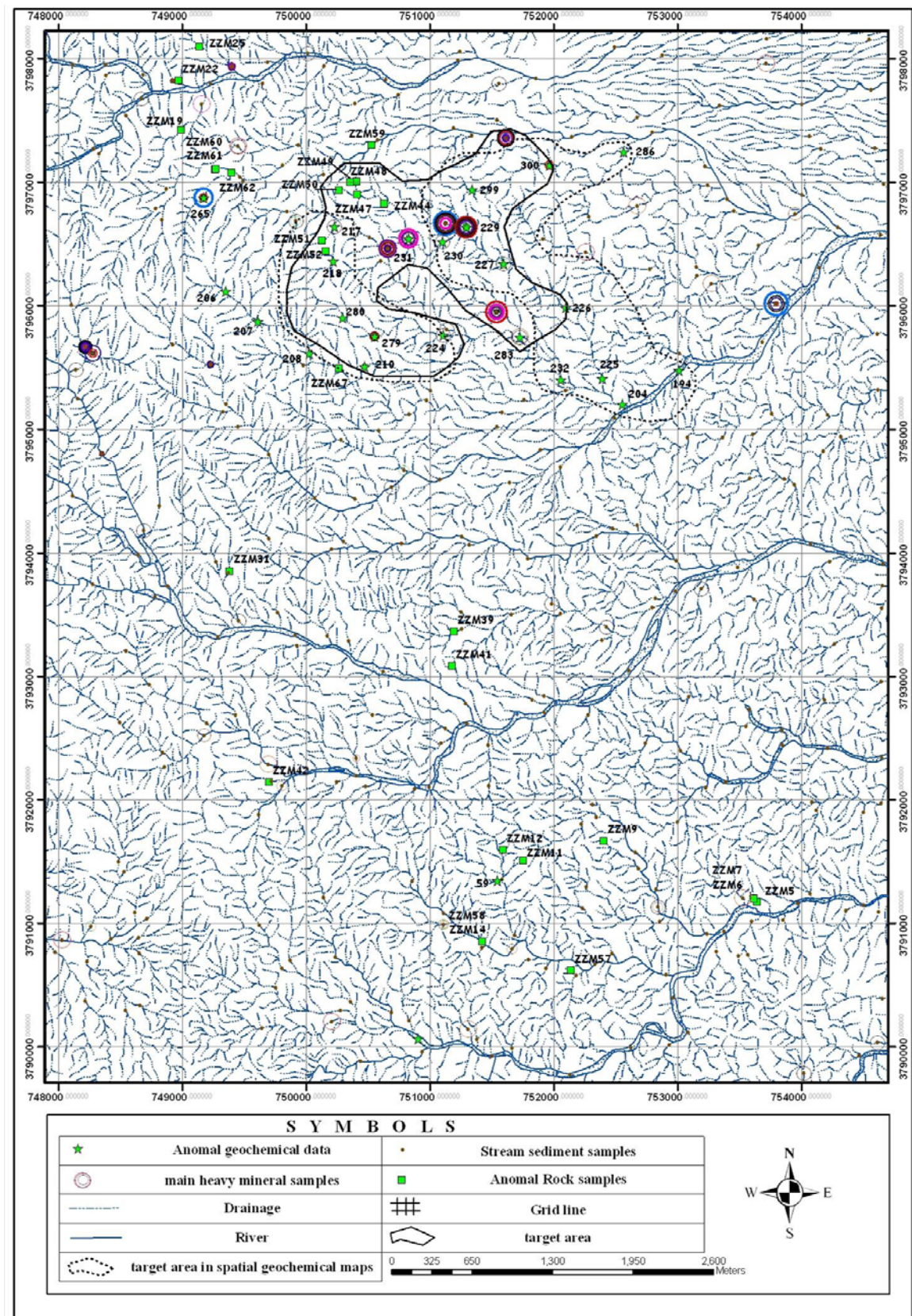
#### ۴-۶-رسم نقشه مبنا

هدف اصلی این پروژه دستیابی به شاخص ژئوشیمیایی مناسبی است که از طریق آن بتوان به آشکارسازی نواحی آنومال و تفکیک آنها از زمینه دست یافت، لذا استفاده از یک نقشه مبنا که بتوان نتایج بدست آمده از مرحله بعد را توسط آن محک زد از اهمیت خاصی برخوردار می باشد. برای این منظور در محیط GIS اقدام به رسم نقشه ای با مشخصات زیر گردیده است:

- ۱- داده های آنومال بدست آمده از مرحله مطالعات نمونه های رسوبات آبراهه ای با علامت ستاره و شماره نمونه،
  - ۲- نمونه های کانی سنگینی که نسبت به کانی های با اهمیت غنی شدگی نشان داده اند با علامت دایره،
  - ۳- نمونه های با اهمیت در مرحله چک آنومالی با علامت مربع و شماره نمونه ،
  - ۴- محدوده ناهنجاری ژئوشیمیایی که از همپوشانی نقشه های تک عنصری بدست آمده است.
- از این نقشه بمنظور چک کردن آنومالی ها در مطالعات مراحل بعدی استفاده شده است:



شکل (۴-۴): نقشه پراکندگی نمونه‌های کانی سنگین در بخش شمالی منطقه زوزن



شکل (۴-۴): نقشه مبنای حاصل از همپوشانی نمونه های کانی سنگین، نتایج چک آنومالی و مطالعات ژئوشیمیایی

تک عنصری

## فصل پنجم

### تحلیل آماری بر روی داده‌های آنومال

## ۱-۵- مقدمه

برای تعریف یک نسبت شاخص ژئوشیمیایی ضرورت دارد که رفتار عناصر واقع در دو طرف آن کاملاً با یکدیگر متفاوت باشد. نتایج بدست آمده از فصل قبل توانست نحوه ارتباط میان عناصر را بخوبی توجیه نماید ولی در خصوص توجیه رفتار متقابل عناصر با یکدیگر لازم است تا بررسی بیشتری صورت پذیرد. برای این منظور در یک دسته داده مشتمل بر اطلاعات با اهمیت و کم اهمیت، ضمن تشدید تغییر رفتارها عناصر، اقدام به تحلیلهای آماری دومتغیره (آنالیز همبستگی) و چندمتغیره (آنالیز کلاستر و فاکتوری) داده‌ها شده است. بدین ترتیب امکان آن فراهم گردیده است تا بهتر بتوان به ارتباط ژنتیکی میان عناصر در محدوده‌های بی‌هنجار پی‌برد. لیست نمونه‌های مورد بررسی در پیوست ۳ گزارش آورده شده است.

## ۲-۵- پردازش‌های آماری بر روی داده‌های آنومال

مطالعات تحلیل آماری ماتریس همبستگی دو متغیره به دو روش پیرسن و اسپیرمن محاسبه و نتایج نهایی به روش پیرسن که بر روی داده‌های نرمال شده اعمال گردید در جدول (۱-۵) آورده شده است. با توجه به این جدول عناصر سرب، روی، طلا، نقره، مس و کادمیوم از همبستگی‌های نسبتاً خوبی با یکدیگر برخوردارند در بین این عناصر سرب بیشترین همبستگی را با عناصر روی، طلا و نقره دارد. مس با عناصر آنتیموان، روی و نقره همبستگی بسیار خوبی دارد. عناصر قلع، تیتانیم، لانتانیم، وانادیم، گالیم، اسکاندیم، کروم و آهن با عناصر نامبرده از همبستگی منفی بیش از  $40\%$  برخوردارند. عنصر طلا با عناصر کادمیوم( $70\%$ )، تنگستن( $70\%$ )، سرب( $54/0\%$ )، روی( $53/0\%$ ) همبستگی بالای مثبت و با عناصر لیتیم( $70\%$ )-، تیتانیم( $65/0\%$ )-، اسکاندیم( $55/0\%$ )- و آهن( $57/0\%$ )- همبستگی منفی دارد.

جدول(۵): ماتریس همبستگی پیرسن میان عناصر

		Correlations																																			
		Pearson Correlation																																			
Elements	Au	1																																			
		0.245	1																																		
Au	Au	1																																			
Ag	Ag	-0.376	-0.486(*)	1																																	
Al	Al	-0.414(*)	.401(*)	0.251	1																																
As	As	-0.353	0.278	0.096	.563(**)	1																															
Ba	Ba	0.276	.419(**)	-0.19	0.175	.522(**)	1																														
Bi	Bi	-0.314	0.393	0.324	.674(**)	.439(*)	0.187	1																													
Ca	Ca	.697(**)	0.126	-0.221	-0.371	-.566(**)	-0.017	-.459(*)	1																												
Cd	Cd	-0.334	-.571(**)	.822(**)	0.062	-0.3	-.514(**)	0.126	-0.035	1																											
Cr	Cr	.406(*)	.754(**)	-0.297	0.197	0.163	.540(**)	0.283	0.308	-.532(**)	1																										
Cu	Cu	-.573(**)	-0.255	.532(**)	.475(*)	0.394	-0.186	0.275	-.563(**)	.423(*)	-.414(*)	1																									
Fe	Fe	-.398(*)	-.589(**)	.723(**)	0.141	-0.108	-.394	-0.202	0.003	.775(**)	-.524(**)	.531(**)	1																								
Ga	Ga	-.576(**)	-0.306	0.35	.430(*)	0.237	-0.196	0.119	-.232	.446(*)	-.470(*)	.531(**)	.498(*)	1																							
Hf	Hf	-.052	.458(*)	-.156	0.298	0.387	0.325	0.303	-0.116	-.389	0.378	-.259	-0.331	-.113	1																						
Hg	Hg	.634(**)	0.374	-0.181	-0.141	-0.076	.548(**)	0.085	0.339	-0.24	.522(**)	-.0333	-.366	-.534(**)	-0.143	1																					
In	In	-.710(**)	-0.096	.575(**)	.600(**)	0.223	-0.177	.605(**)	-.489(*)	.551(**)	-0.22	.621(**)	.444(*)	.548(**)	0.026	-.400(*)	1																				
Li	Li	-0.192	-0.362	.631(**)	0.046	-.471(*)	-.433(*)	0.243	0.112	.828(**)	-0.267	0.031	.484(*)	0.292	-0.087	-.192	.536(**)	1																			
Mg	Mg	-0.018	.500(*)	0.028	.486(*)	.772(**)	.709(**)	0.377	-0.192	-.322	.439(*)	0.123	-0.186	0.029	0.369	0.302	0.063	-.399(*)	1																		
Mo	Mo	-0.335	-.429(*)	.749(**)	-.006	0.066	-0.025	0.279	-.263	.562(**)	-0.217	0.215	.409(*)	0.142	0.035	-0.071	0.335	-.454(*)	0.137	1																	
Na	Na	.489(*)	-0.057	-0.114	-.0339	-.0364	-0.17	-.0346	.415(*)	-.0011	0.112	-.504(*)	0.018	-.536(**)	-.044	0.321	-.579(**)	0.029	-.199	-.087	1																
Nb	Nb	.542(**)	.613(**)	-0.122	0.363	-0.09	0.342	0.196	.526(**)	-.0117	.546(**)	-.0288	-0.187	-.093	0.207	.500(*)	-.118	0.096	0.344	-.242	0.154	1															
Pb	Pb	.0241	.781(**)	-.527(**)	0.318	0.309	0.296	0.169	0.029	-.618(**)	.626(**)	0.007	-.540(**)	-.0234	0.248	0.332	-.221	-.587(**)	.484(*)	-.485(*)	-.071	.453(*)	1														
Sb	Sb	-.553(**)	-.378	.808(**)	.506(**)	0.198	-0.274	.503(*)	-.369	.729(**)	-.343	.586(**)	.582(**)	.637(**)	0.02	-.376	.713(**)	.649(**)	0.017	.562(**)	-.241	-.101	-.376	1													
Sc	Sc	-.38	-.428(*)	0.362	0.048	0.321	-0.155	-.136	-.384	0.214	-.328	.670(**)	.495(*)	0.185	-.479(*)	-.162	0.11	-.281	0.078	0.235	-.036	-.583(**)	-.101	0.231	1												
Sn	Sn	-.0327	0.322	0.391	.677(**)	.555(**)	0.274	.921(**)	-.545(**)	0.116	0.241	0.247	-.122	0.072	0.341	0.128	.551(**)	0.192	.497(*)	0.391	-.224	0.158	0.107	.499(*)	-.046	1											
Sr	Sr	-.652(**)	-.457(*)	.616(**)	.477(*)	0.148	-0.329	0.249	-.471(*)	.688(**)	-.580(**)	.757(**)	.698(**)	.749(**)	-.303	-.417(*)	.732(**)	.454(*)	-.089	0.338	-.328	-.234	-.36	.804(**)	.447(*)	0.294	1										
Ti	Ti	-.0373	-.267	0.034	0.047	0.24	-0.031	-.323	-.324	0.013	-.334	.624(**)	0.377	0.261	-.443(*)	-.107	0.115	-.399(*)	0.137	-.066	-.22	-.387	0.161	0	.744(**)	-.259	0.384	1									
U	U	-.511(**)	-.485(*)	.601(**)	.398(*)	0.088	-.452(*)	0.104	-.325	.717(**)	-.643(**)	.817(**)	.758(**)	.751(**)	-.405(*)	-.434(*)	.614(**)	0.387	-.16	0.203	-.294	-.197	-.303	.722(**)	.506(**)	0.099	.920(**)	.438(*)	1								
V	V	-.694(**)	-.012	-.265	-.368	-.128	.409(*)	-.436(*)	.547(**)	-.392	0.39	-.0356	-.165	-.386	-.181	.433(*)	-.636(**)	-.379	0.022	-.294	0.356	0.181	0.089	-.468(*)	0.075	-.467(*)	-.511(**)	-.007	-.395	1							
W	W	-.528(**)	.676(**)	-.428(*)	-.028	-.141	0.223	-.01	.675(**)	-.418(*)	.678(**)	-.415(*)	-.427(*)	-.0355	0.223	.398(*)	-.324	-.24	0.244	-.319	0.044	.622(**)	.476(*)	-.451(*)	-.158	-.640(**)	-.281	-.544(**)	0.287	1							
Zn	Zn	-.565(**)	-.306	0.376	.444(*)	0.205	-0.205	0.159	-.225	.472(*)	-.440(*)	.558(**)	.499(*)	.992(**)	-.132	-.519(**)	.588(**)	0.33	-.01	0.144	-.574(**)	-.088	-.236	.663(**)	0.181	0.089	.764(**)	0.236	.769(**)	-.38	-.34	1					
Zr	Zr	Elements	Au	Ag	Al	As	Ba	Bi	Ca	Cd	Cr	Cu	Fe	Ga	Hf	Hg	In	Li	Mg	Mo	Na	Nb	Pb	Sb	Sc	Sn	Sr	Ti	U	V	W	Zn	Zr				

\* Correlation is significant at the 0.05 level (2-tailed).

\*\* Correlation is significant at the 0.01 level (2-tailed).

نتایج آنالیز فاکتوری داده‌ها (جدول ۲-۵) گویای عملکرد پنج مولفه اصلی در تغییرپذیری می‌باشد.

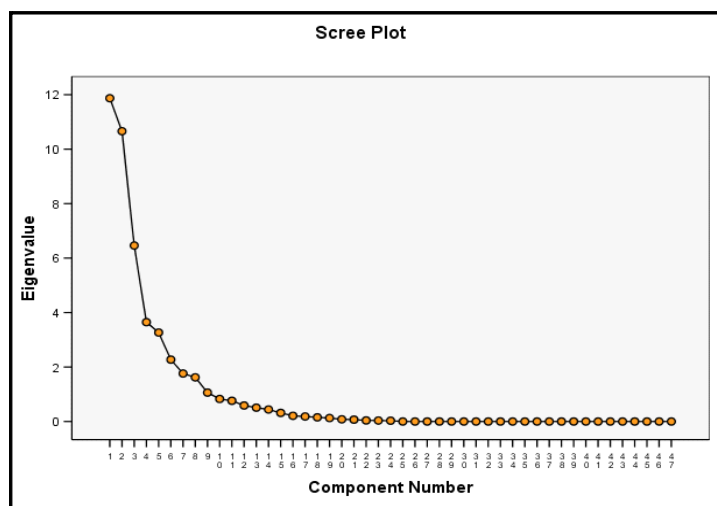
مقدار واریانس برای مولفه‌های اول تا نهم به ترتیب  $25/25$ ,  $22/67$ ,  $13/74$ ,  $7/76$ ,  $6/95$ ,  $4/83$ ,  $3/74$ ,  $3/45$ ,  $2/25$  می‌باشد. این نه مولفه در حدود  $90/68$  درصد تغییرات عمومی محیط ژئوشیمیایی مورد مطالعه که بخش قابل ملاحظه‌ای است را پوشش می‌دهند.

بعد از انتخاب مولفه‌ها مقادیر خام، مقادیر تبدیل یافته و ضرایب امتیازی هر مولفه محاسبه شده است. مقادیر خام تحت بردار خاص وریمکس قرار گرفته اند که این بردار در اثر چرخش محورها بیشترین واریانس را برای هر مولفه محاسبه می‌نماید. همانطور که در جدول (۳-۵) دیده می‌شود عناصر سرب، روی، نقره، طلا، کادمیوم، آنتیموان، ایندیم و مس در فاکتور سوم قرار گرفته‌اند. فاکتور دوم که شامل عناصر  $U$ ,  $Sn$ ,  $Be$ ,  $Rb$ ,  $K$ ,  $Th$  می‌گردد به نظر می‌رسد بیشتر مؤلفه پتروژنز و فرسایش سنگهای اسیدی را توجیه می‌نماید.

جدول(۵-۲): واریانس تجمعی عناصر و تحلیل مؤلفه‌های اصلی

Component	Total Variance Explained			Extraction Sums of Squared Loadings			Rotation Sums of Squared Loadings		
	Total	% of Variance	Cumulative %	Total	% of Variance	Cumulative %	Total	% of Variance	Cumulative %
1	11.869	25.254	25.254	11.869	25.254	25.254	9.887	21.035	21.035
2	10.659	22.678	47.932	10.659	22.678	47.932	9.459	20.126	41.161
3	6.460	13.745	61.677	6.460	13.745	61.677	4.636	9.863	51.024
4	3.649	7.763	69.440	3.649	7.763	69.440	4.167	8.866	59.891
5	3.267	6.951	76.391	3.267	6.951	76.391	4.076	8.673	68.564
6	2.273	4.835	81.226	2.273	4.835	81.226	2.847	6.058	74.622
7	1.762	3.749	84.975	1.762	3.749	84.975	2.770	5.893	80.514
8	1.622	3.451	88.426	1.622	3.451	88.426	2.632	5.600	86.114
9	1.062	2.259	90.685	1.062	2.259	90.685	2.148	4.571	90.685
10	0.828	1.762	92.447						
11	0.761	1.619	94.066						
12	0.588	1.252	95.318						
13	0.509	1.084	96.402						
14	0.442	0.940	97.342						
15	0.317	0.674	98.016						
16	0.209	0.445	98.460						
17	0.184	0.392	98.852						
18	0.153	0.326	99.178						
19	0.128	0.272	99.450						
20	0.082	0.174	99.624						
21	0.070	0.149	99.773						
22	0.041	0.087	99.859						
23	0.036	0.077	99.936						
24	0.03	0.06	100						
25	0.00	0.00	100						
26	0.00	0.00	100						
27	0.00	0.00	100						
28	0.00	0.00	100						
29	0.00	0.00	100						
30	0.00	0.00	100						
31	0.00	0.00	100						
32	0.00	0.00	100						
33	0.00	0.00	100						
34	0.00	0.00	100						
35	0.00	0.00	100						
36	0.00	0.00	100						
37	0.00	0.00	100						
38	0.00	0.00	100						
39	0.00	0.00	100						
40	0.00	0.00	100						
41	0.00	0.00	100						
42	0.00	0.00	100						
43	0.00	0.00	100						
44	0.00	0.00	100						
45	0.00	0.00	100						
46	0.00	0.00	100						
47	0.00	0.00	100						

Extraction Method: Principal Component Analysis.

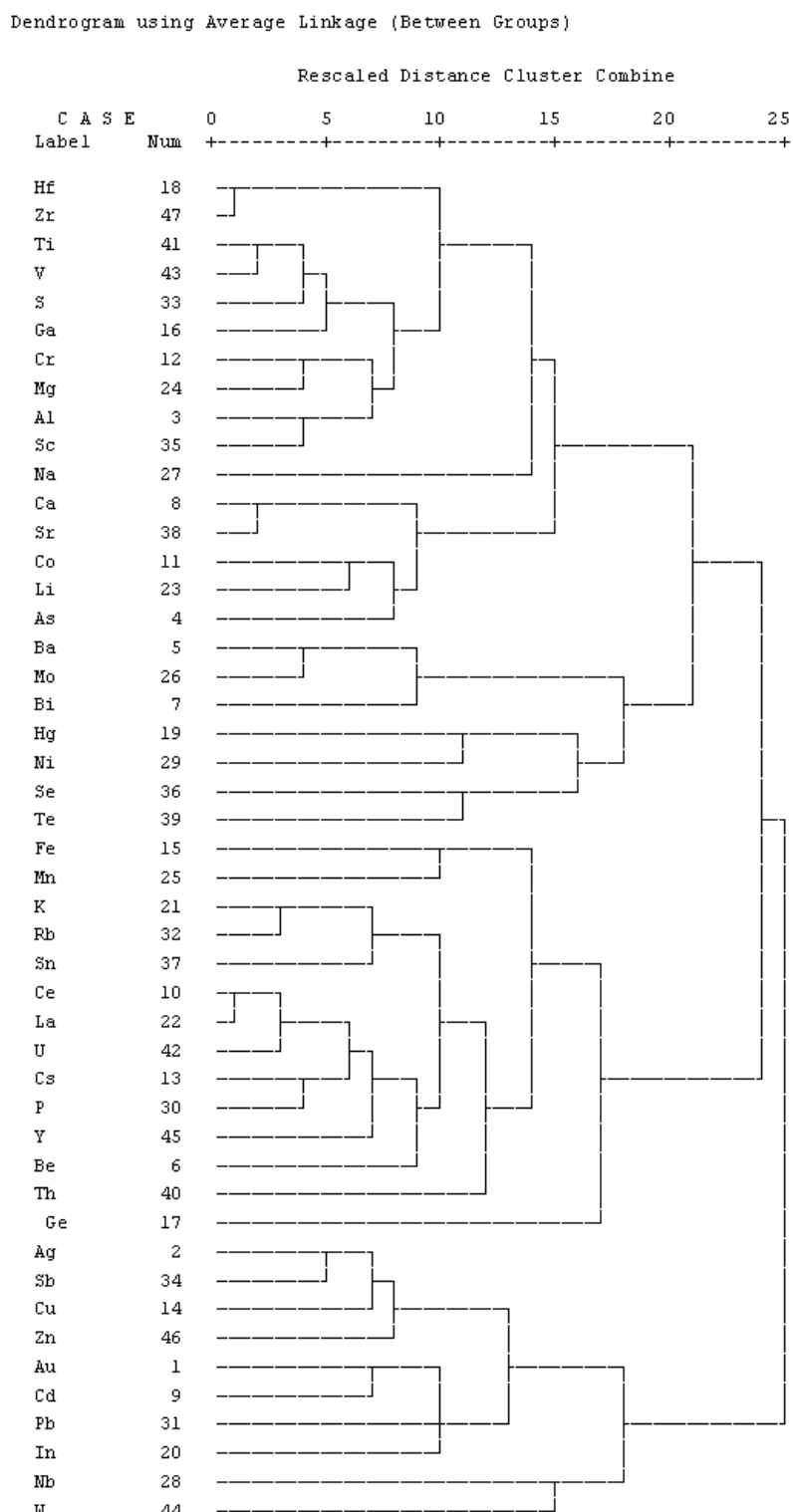


شکل (۱-۵): نمودار مقادیر ویژه در مقابل تعداد مولفه ها

جدول(۳-۵): نتایج آنالیز فاکتوری

Elements	Rotated Component Matrix(a)								
	Component								
	1	2	3	4	5	6	7	8	9
V	<b>0.948</b>	0.160	-0.096	-0.050	-0.139	-0.098	0.102	0.000	-0.081
Ti	<b>0.927</b>	0.081	-0.237	0.103	-0.038	-0.082	0.089	0.069	-0.068
S	<b>0.924</b>	-0.155	0.120	-0.107	-0.050	-0.010	-0.063	-0.103	-0.103
Ga	<b>0.835</b>	0.135	-0.165	-0.318	-0.029	0.301	-0.132	-0.051	0.012
Cr	<b>0.834</b>	-0.229	-0.163	0.056	-0.261	0.316	-0.056	0.054	-0.103
Sc	<b>0.779</b>	-0.118	-0.232	0.283	0.201	0.214	0.044	0.164	0.007
Al	<b>0.719</b>	-0.073	-0.164	0.201	0.109	<b>0.585</b>	-0.066	-0.042	0.079
Li	<b>0.706</b>	-0.179	-0.198	0.309	0.085	-0.071	0.257	0.239	0.298
Zr	<b>0.702</b>	-0.049	-0.197	-0.125	0.174	-0.172	<b>0.515</b>	0.060	-0.085
Hf	<b>0.676</b>	-0.029	-0.206	-0.161	0.221	-0.165	<b>0.499</b>	0.088	-0.135
Fe	<b>0.647</b>	<b>0.573</b>	-0.117	0.210	0.035	0.066	0.299	0.106	0.206
As	<b>0.567</b>	-0.016	0.238	0.339	0.441	-0.382	0.064	0.122	0.269
Co	<b>0.481</b>	-0.293	0.197	0.281	0.432	0.167	0.318	0.338	0.251
La	-0.017	<b>0.961</b>	-0.154	-0.111	-0.075	-0.142	0.013	-0.030	0.026
Ce	-0.089	<b>0.952</b>	-0.114	-0.171	-0.080	-0.135	0.030	-0.084	0.003
U	0.200	<b>0.865</b>	-0.108	-0.164	-0.045	-0.052	0.211	-0.066	-0.107
Y	0.026	<b>0.845</b>	-0.041	0.176	0.272	-0.024	0.043	0.113	-0.226
Cs	-0.006	<b>0.842</b>	-0.187	-0.106	-0.101	-0.027	-0.113	0.307	-0.279
Sn	0.296	<b>0.775</b>	-0.327	0.051	-0.041	0.250	-0.050	-0.225	0.132
Be	-0.216	<b>0.772</b>	0.117	-0.189	0.068	0.310	0.170	-0.082	0.123
Ni	0.221	-0.766	-0.166	-0.109	0.427	0.093	-0.114	0.160	0.093
Rb	-0.273	<b>0.686</b>	-0.034	-0.207	0.115	<b>0.488</b>	-0.176	-0.175	-0.140
P	0.101	<b>0.669</b>	-0.152	-0.428	-0.168	0.029	-0.174	0.345	-0.115
Mg	<b>0.609</b>	-0.649	-0.125	0.099	-0.226	0.197	-0.135	0.135	-0.083
Mn	0.379	0.432	0.387	-0.341	-0.185	0.219	0.306	-0.110	0.314
Pb	0.098	-0.341	<b>0.850</b>	0.057	0.177	-0.216	-0.100	-0.104	-0.108
Zn	-0.369	-0.179	<b>0.813</b>	-0.151	-0.095	0.002	0.086	0.021	0.256
Sb	-0.327	0.374	<b>0.655</b>	0.196	0.171	-0.358	0.036	0.145	0.078
Ag	-0.355	-0.072	<b>0.641</b>	0.250	0.268	-0.385	-0.020	0.151	0.276
Au	-0.379	-0.295	<b>0.592</b>	-0.159	-0.210	0.023	-0.313	-0.193	-0.291
In	-0.313	-0.096	<b>0.558</b>	0.351	-0.058	0.067	-0.168	-0.430	-0.197
Cd	-0.103	-0.351	<b>0.555</b>	-0.526	-0.312	0.080	-0.181	-0.285	-0.014
Cu	-0.403	-0.167	<b>0.552</b>	0.219	0.264	-0.131	-0.205	-0.243	0.313
Ge	0.142	0.192	-0.083	-0.880	-0.041	-0.169	0.079	0.046	0.061
Ca	0.189	-0.232	0.067	<b>0.790</b>	0.284	-0.045	0.133	0.155	0.322
Sr	0.182	-0.160	-0.014	<b>0.767</b>	<b>0.472</b>	0.043	-0.032	0.159	0.227
Ba	0.092	0.222	-0.156	0.214	<b>0.845</b>	0.007	0.270	0.010	0.124
Mo	0.018	-0.040	0.118	0.279	<b>0.834</b>	0.200	0.123	-0.050	-0.060
Hg	-0.287	-0.283	0.103	-0.041	<b>0.661</b>	-0.031	-0.111	0.414	0.191
Bi	-0.361	-0.032	0.237	0.172	<b>0.607</b>	-0.012	0.183	-0.512	0.073
Na	0.291	-0.176	-0.225	0.306	0.152	<b>0.781</b>	0.015	0.050	-0.068
K	-0.096	<b>0.567</b>	-0.199	-0.072	0.143	<b>0.642</b>	-0.181	-0.250	0.102
Nb	-0.179	-0.035	0.079	-0.130	-0.138	0.079	-0.867	-0.110	-0.241
Th	-0.119	<b>0.543</b>	-0.059	-0.119	0.227	0.060	<b>0.672</b>	-0.173	-0.144
W	-0.321	0.007	0.026	-0.346	-0.169	0.096	-0.185	-0.774	0.097
Se	-0.372	-0.281	-0.203	0.066	-0.044	-0.101	-0.072	<b>0.615</b>	0.384
Te	-0.146	-0.191	0.117	0.180	0.172	-0.015	0.116	0.040	<b>0.803</b>
Extraction Method: Principal Component Analysis. Rotation Method: Varimax with Kaiser Normalization.									
a	Rotation converged in 10 iterations.								

در این بخش از تحقیق علاوه بر محاسبه ماتریس همبستگی و تحلیل فاکتوری، آنالیز خوش‌های نیز بر روی داده‌های مورد نظر صورت گرفت که نتیجه بدست آمده بصورت دندوگرام در شکل(۲-۵) نمایش داده شده است.



شکل (۲-۵): نمودار خوشه‌ای عناصر

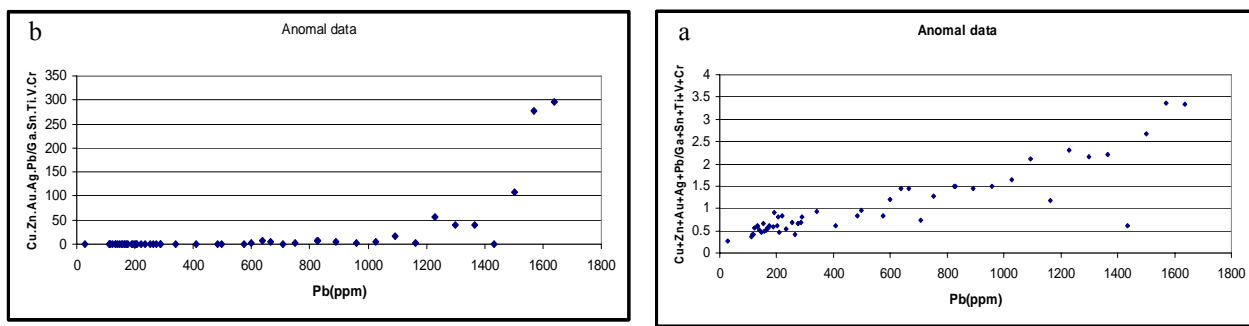
خوشه اول احتمالاً مربوط به عناصر حاصل فرسایش سنگهای حدواتست تا بازیک مانند Ti, Cr, و خوشه دوم عناصری نظیر K, Rb, Sn, U, Th و Mg, Ca, Sr, Ni می‌توانند حاصل فرسایش و

هوازدگی سنگهای اسیدی باشند. به عبارت دیگر فرآیندهای سنتزیک در دو گروه بالای این دندوگرام بررسی می‌شود. تأثیر فرآیندهای اپیزنتمیک بر روی طلا بهمراه عناصر Pb, Ag, Cd, Zn, Cu, Sb را در دسته‌ای جداگانه از دندوگرام می‌توان ملاحظه نمود. مقایسه نتایج خوشبندی گویای آن است که تفکیک ناحیه باپتانسیل بعنوان مبنای قرار گرفتن برای محاسبات تفکیک آنومالی در این مرحله به خوبی صورت گرفته است.

### ۳-۵- تعیین نسبت‌های چندعنصری

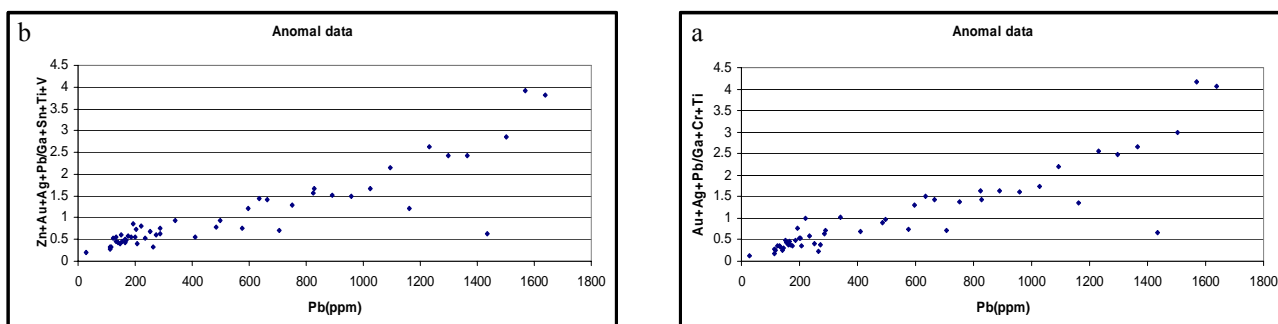
بر اساس نتایج ماتریس همبستگی، آنالیز PCA و کلاستر در این قسمت اقدام به محاسبه نسبت‌های عنصری گردیده است. این نسبتها بصورت جمعی و ضربی عناصر در صورت و مخرج، شامل متغیرهایی با رفتارهایی کاملاً متفاوت می‌گردند. نسبتها مذکور می‌توانند به صورت دو تایی، چهارتایی و ... تعریف گرددند. به استناد نتایج بدست آمده از فصول قبلی، و با توجه به نتایج تحلیل‌های چند متغیره، عناصر سرب، طلا، روی، نقره و مس (فاکتور سوم مربوط به نمونه‌های آنومال) را می‌توان در مقابل عکس العمل عناصر گالیم، وانادیم، تیتانیم، قلع و کروم (فاکتور اول) مورد بررسی قرار داده و نسبتها جمعی و ضربی متفاوت را محاسبه نمود. در محاسبات مربوطه اقدام به حذف اثرات زمینه ناشی از ماهیت متغیره مورد نظر پرداخته شده و از نسبتها استاندارد شده نسبت به معدل داده‌های متغیر مورد مطالعه، استفاده شد. بمنظور ارزیابی شدت عکس العمل نسبتها مربوطه سعی شده است تا تغییرات نسبتها در مقابل پارامترهای با اهمیت نظیر مس، سرب و نقره مورد مطالعه قرار داده شود. بطور کلی نسبتها جمعی روند تغییرات و تفکیک داده‌ها را بهتر نشان می‌دهند (شکل ۳-۵ a,b).

لذا با توجه به ماهیت داده‌ها برای ادامه تنها نسبت جمعی مورد بررسی قرار داده شده است. لازم به ذکر است که مقدار کمی نسبتها ضربی بمراتب بزرگتر از مقدار عددی نسبتها جمعی می‌باشد.

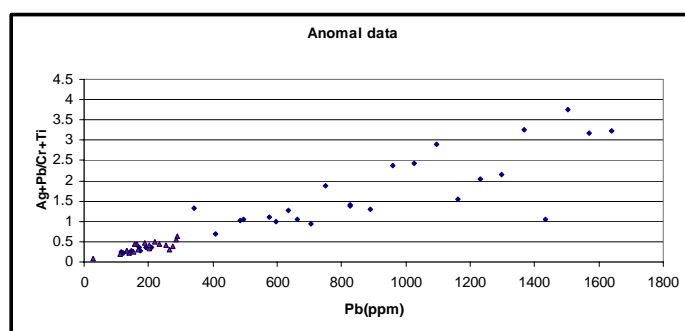


شکل(۳-۵): تغییرات نسبت جمعی ده عنصری (a) و ضربی ده عنصری (b) در مقابل عنصر سرب

برای یافتن بهترین نسبت‌های عناصر، نسبت‌های متفاوت و نمودارهای مربوطه را رسم نموده‌ایم که نتایج در اشکال (۴-۵) و (۵-۵) نمایش داده شده است. آنچه از ترسیم این نمودارها مشخص می‌گردد این است که در نسبت‌های مذکور دو عنصر Au و Ga نقش موثری در روند تغییرات دارند (شکل ۵-۵) ولی عناصر Sn و Zn تاثیر کمتری داشته‌اند (اشکال ۴-۵ a, b).



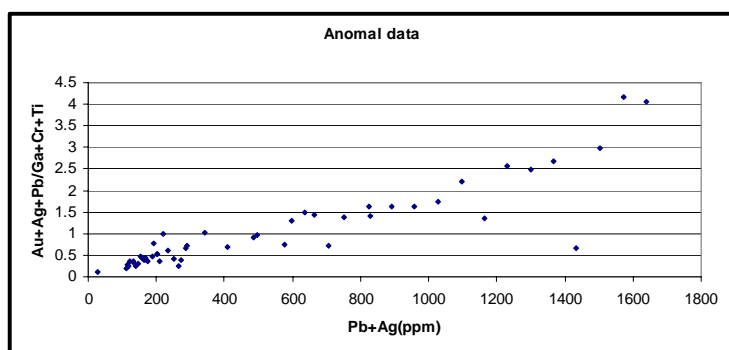
شکل(۴-۵): تغییرات نسبت جمعی هشت عنصری (a) و نسبت جمعی شش عنصری (b) در مقابل عنصر سرب



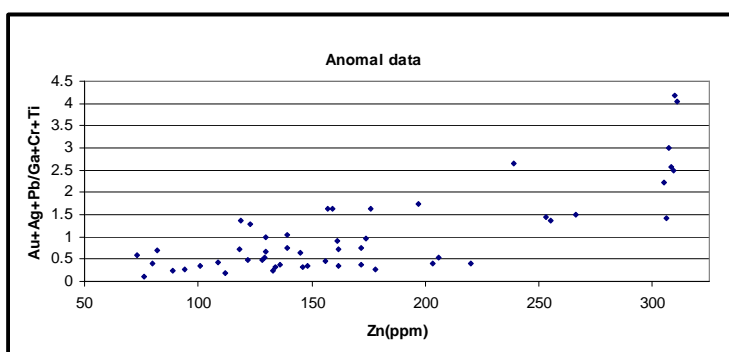
شکل(۵-۵): تغییرات نسبت جمعی (چهار عنصری) در مقابل عنصر سرب

همانطور که از مقایسه نمودارها دیده می‌شود، در مقادیر بالای سرب پراکندگی بیشتری قابل ملاحظه می‌باشد. لذا از بین این نسبتها، از نسبت عناصر  $(Au+Ag+Pb)/(Ga+Cr+Ti)$  جهت رسم

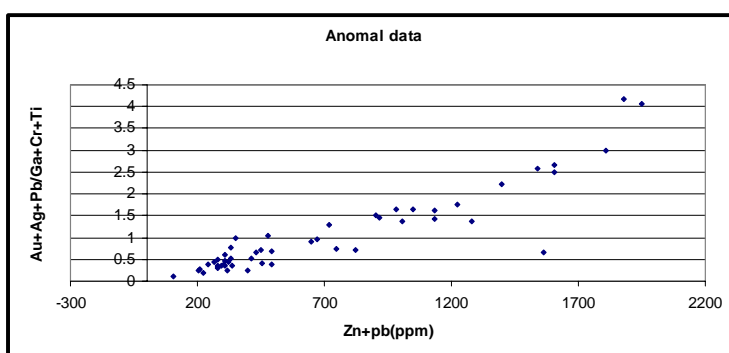
سایر نمودارها کمک گرفته شده است. همانطور که در نمودارها دیده می‌شود این نسبت تا حدی توانسته نسبت به تغییرات عنصر سرب و نقره روند افزایشی نشان دهد (شکل ۵-۶ و شکل ۷-۸)، برای عنصر روی روند خاصی در داده‌ها دیده نمی‌شود (شکل ۷-۵).



شکل(۵-۶): نمودار تغییرات نسبت جمعی شش عنصری در مقابل تغییرات عنصر سرب

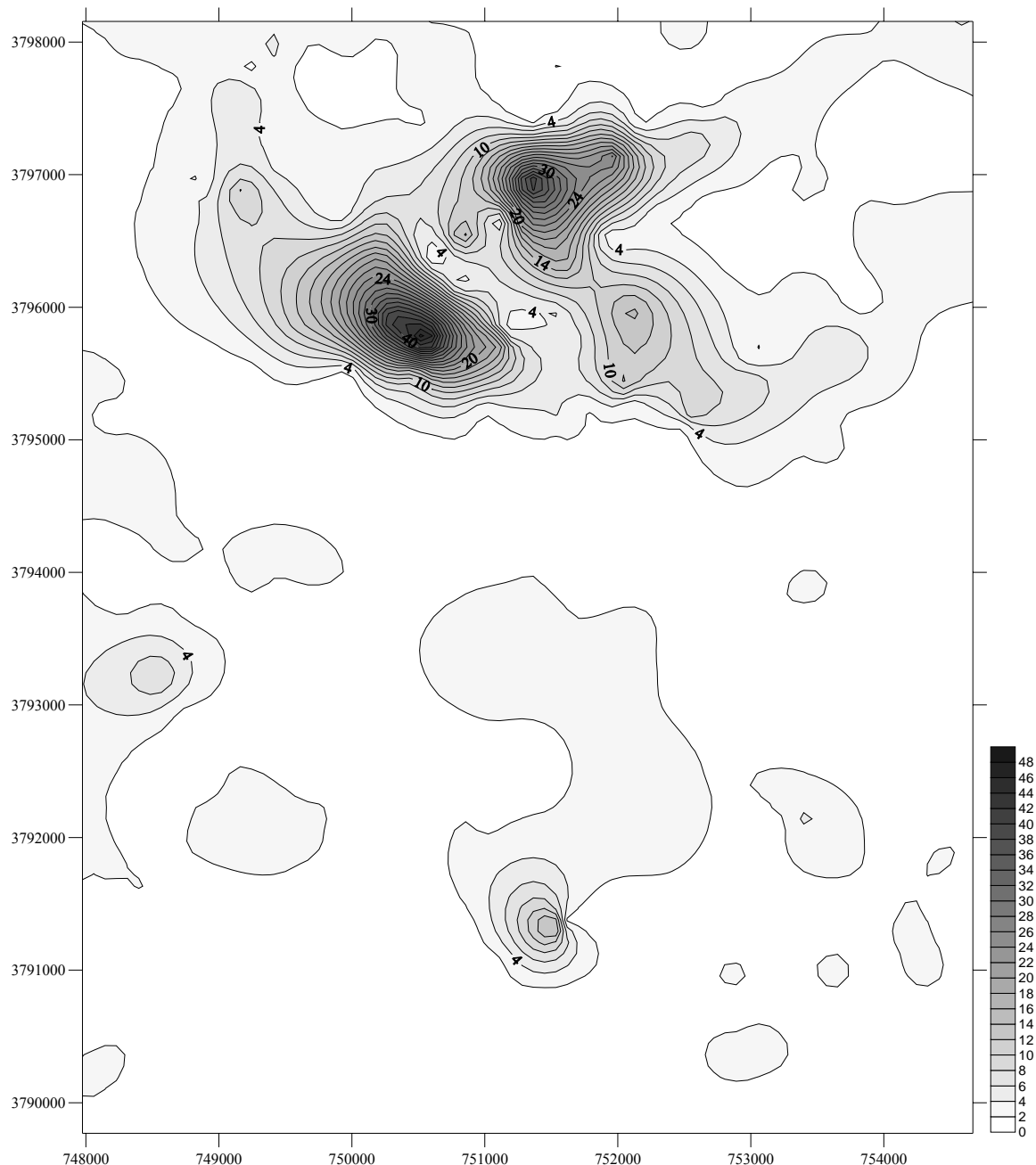


شکل(۵-۷): نمودار تغییرات نسبت جمعی شش عنصری در مقابل تغییرات عنصر روی



شکل(۵-۸): نمودار تغییرات نسبت جمعی شش عنصری در مقابل تغییرات روی + سرب

در مقایسه نقشه پراکندگی نسبت شش عنصری (شکل ۹-۵)، با نقشه مبنا (شکل ۴-۴) بنظر می‌رسد این نسبت بخوبی توانسته اثر ناهنجاریهای بی‌اهمیت را کاهش و اثر آنومالی‌های با اهمیت را در منطقه مورد مطالعه افزایش دهد.



شکل (۹-۵): نقشه پراکندگی نسبت عنصری  $\text{Au}+\text{Ag}+\text{Pb}/\text{Ti}+\text{Cr}+\text{Ga}$

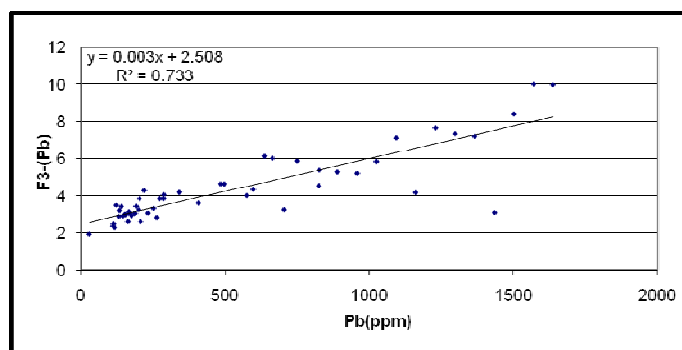
#### ۴-۵- محاسبه فاکتورها و رسم نمودار تغییرات فاکتورها

با توجه به تحلیل‌های چند متغیره صورت گرفته می‌توان فاکتورهای مختلفی را تعریف نمود. یکی از این فاکتورها، فاکتوری است که نقش پارامترهای موثر در کانی‌سازی در آن ذکر گردیده است.

چنانچه این فاکتور را  $F_3$  معرفی نمائیم، می‌توان این فاکتور را به صورت زیر تعریف نمود:

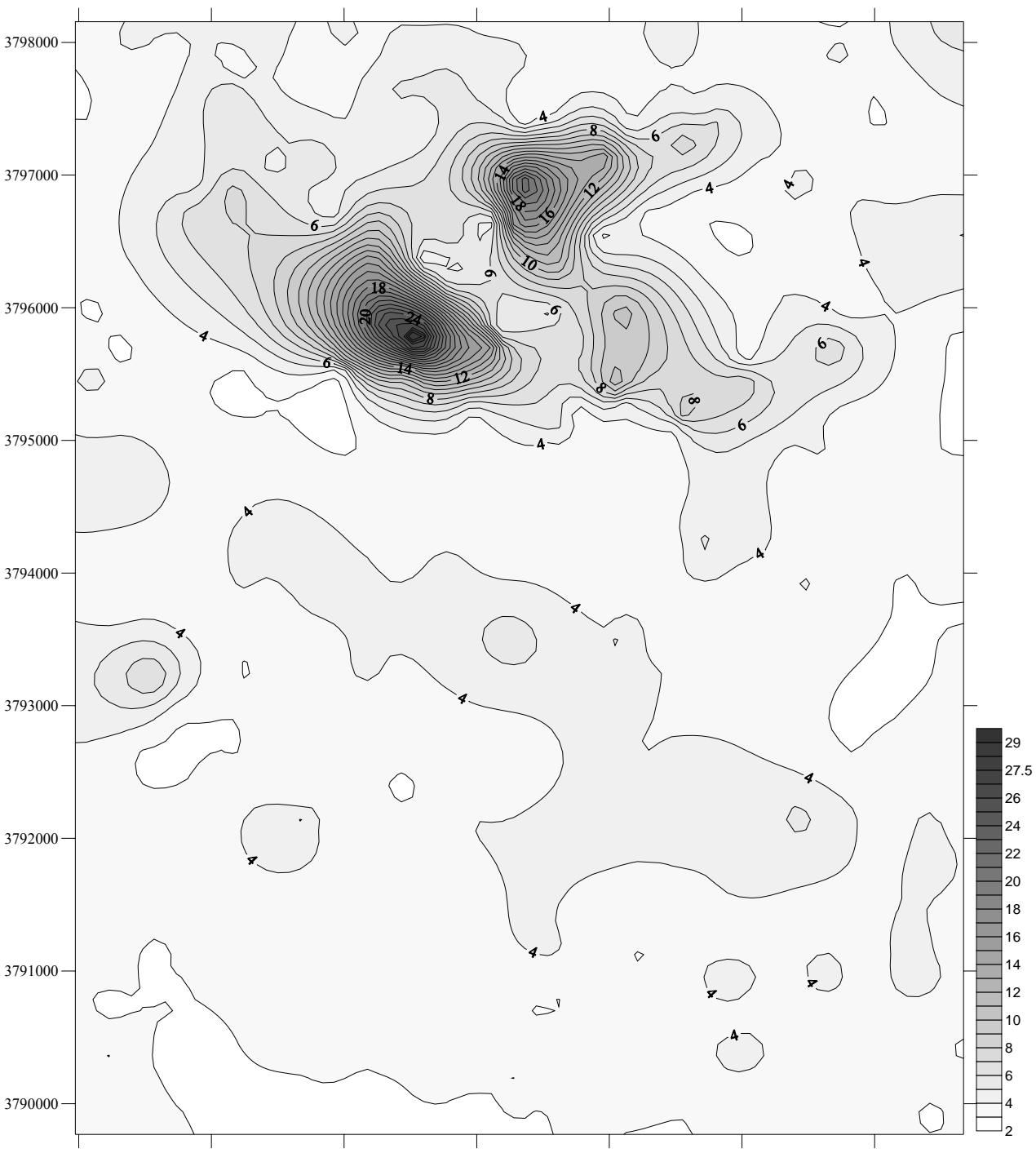
$$F_3 = (0.850 \times Pb) + (0.813 \times Zn) + (0.655 \times Sb) + (0.641 \times Ag) + (0.592 \times Au) + (0.558 \times In) + (0.555 \times Cd) + (0.552 \times Cu)$$

بمنظور بررسی نقش عناصر با اهمیت در این فاکتور ( $F_3$ )، با حذف اثر سرب به بررسی تغییرات این فاکتور در مقابل سرب پرداخته شده است (شکل ۱۰-۵). روند خطی نسبتاً خوبی بین تغییرات فاکتور  $F_3$  با سرب ملاحظه می‌گردد. این امر گویای نقش موثر عناصر دیگر در این فاکتور در نبود سرب می‌باشد.



شکل (۱۰-۵): نمودار تغییرات فاکتور  $F_3$  در نبود عنصر سرب در مقابل تغییرات عنصر سرب

همچنین با توجه به نقشه پراکندگی این فاکتور (شکل ۱۱-۵) میزان انطباق این نقشه با نقشه مبنابسیار بالا بوده و بخوبی توانسته دو محدوده آنومال را در نیمه شمالی منطقه نشان دهد.



Spatial Geochemical map of F3 without considered variations of pb	Drawn by: Z. Jangravi Date: 2010/Nov /19	
Data From: Kan iran Consulting Engineering Co.		
0	1000	2000

meters



شکل(۱۱-۵): نقشه پراکندگی فاکتور سوم

## ۵-۵- آنالیز روند سطحی

تحلیل روند سطحی را بیشتر بعنوان تحلیل تک متغیره معرفی می‌نمایند در حالیکه این تحلیل می‌تواند بعنوان نوع خاصی از رگرسیون چندگانه نیز معرفی گردد. برای این منظور لازم است تا متغیره مورد بررسی فاکتور یا نسبتی باشد که خود بر اساس نتایج تحلیل چند متغیره بدست آمده باشد. در این شرایط در فاکتور یا نسبت تعریف شده می‌توان تاثیر و نقش چند متغیر دیگر را ملاحظه نمود.

تکنیکهای حل معادلات روش روند سطحی متفاوت می‌باشند که از میان آنها می‌توان به روش حداقل مربعات و روش ارتونرمال اشاره نمود. روش روند سطحی با بهره‌گیری از توابع ارتونرمال و تحلیل حداقل مربعات برای تفکیک آنومالی‌های گرانی در مناطق مختلفی از دنیا و ایران به کار گرفته شده است [اولدهام و ساترلند<sup>۱</sup>، وان ورھیز و دیویس<sup>۲</sup>، فاکلیویچ<sup>۳</sup>، عبدالرحمان و همکاران<sup>۴</sup>، دولتی اردھجانی<sup>۵</sup> و سارما و اسلواراج<sup>۶</sup>]. این روش برای جداسازی داده‌های ژئوشیمیایی نیز مورد استفاده قرار گرفته است [یوچانگ و همکاران<sup>۷</sup>، طهمورثی ۱۳۸۰، کاکایی و همکاران<sup>۸</sup>]

در ورودیهای این تحلیل، مختصات نقاط بعنوان متغیر مستقل و عیار، ضخامت، فاکتور یا نسبت چند متغیره تعریف شده و ... بعنوان متغیر وابسته به موقعیت مکانی یا جغرافیایی معرفی می‌گردد. در اصول این روش مبنای بر این است که آنومالی‌های محلی حذف شده و بهترین روند یا سطحی را که از تغییرپذیری عمومی منطقه تبعیت می‌کند بکار گرفته تا بتوان مقدار متغیر مورد نظر را در هر مختصاتی تخمین زد. در این روش بر اساس تکیک حداقل مربعات، انحراف بین داده‌ها (مقدار متغیر مستقل اندازه‌گیری شده یا موجود) و نتایج تخمین به حداقل رسانده می‌شود. برای این منظور معادله

<sup>۱</sup> Oldham and Sutherland

<sup>۲</sup> Van Voorhis and Davis

<sup>۳</sup> Fajklewicz

<sup>۴</sup> Abdelrahman et al

<sup>۵</sup> Sarma and Selvaraj

<sup>۶</sup> Yu Chang et al

سطح عمومی روند تعریف شده را بوسیله توابع درجه یک، دو، سه و یا بالاتر تغییر می‌دهند تا به بالاترین انطباق ممکن دست یابند [یونوین<sup>۱</sup> ۲۰۰۹]. هرچه درجه توابع معرف این سطوح بیشتر باشد، ممکن است امکان دسترسی به سطحی که بهترین تطابق را با مقادیر مشاهده شده داشته باشد بیشتر شود [سوآن ۱۹۹۵؛ دیویس، ۲۰۰۲]. البته در این خصوص می‌بایستی بررسی لازم صورت پذیرد تا به بهترین درجه سطح روند دسترسی یافتد. ماهیت داده‌ها (ژئوشیمی، ژئوفیزیک و یا موادمعدنی یا نفتی) بر روی درجه بهترین سطح روند، تأثیرگذار است.

معادله سطح روند، یک چند جمله‌ای مانند  $Z = B_0 + B_1X + B_2Y + \dots$  می‌باشد که مقدار تابع چندجمله‌ای جبری از مختصات جغرافیایی، به علاوه خطای تصادفی بدست می‌آید و درجه سطح روند متناظر با بزرگترین درجه آن چندجمله‌ای می‌باشد [سوآن ۱۹۹۵؛ دیویس، ۲۰۰۲]. در جدول (۱-۵) جملات سطوح روند تا درجه ۳ نشان داده شده است. در حالت کلی معادله، تعداد جملات معادله سطح روند درجه K با استفاده از رابطه  $2/(K^2 + 3K)$  بدست می‌آید [سارما و سلواراج، ۱۹۹۰].

جدول ۴-۵ : نمایش جمله‌های سطوح روند تا درجه ۳

درجه	جملات
۱	X, Y
۲	X, Y, X <sup>2</sup> , XY, Y <sup>2</sup>
۳	X, Y, X <sup>2</sup> , XY, Y <sup>2</sup> , X <sup>3</sup> , X <sup>2</sup> Y, XY <sup>2</sup> , Y <sup>3</sup>

همچنین می‌توان ضرایب معادلات سطوح روند را به روش رگرسیون چندگانه محاسبه کرد. چند جمله‌ای را می‌توان به هر درجه مورد نظر گسترش داد، اگر چه محدودیت‌های محاسباتی به دلیل خطای گرد کردن وجود دارد. ضرایب مجھول با حل مجموعه‌ای از دستگاههای معادلات خطی که شامل مجموع و حاصلضرب ضربدری مقادیر  $z, y, x$  می‌باشند بدست می‌آیند. در محاسبات درجات بالاتر، این امر مستلزم حل تعداد زیادی از معادلات همزمان است که در آن عناصر ممکن است شامل

<sup>۱</sup> Unwin

اعداد بسیار بزرگ باشند. راه حل ممکن استفاده از ماتریس ناپایدار است [آگتربرگ<sup>۱</sup>; دیویس

[۲۰۰۲]

بعد از تعیین ضرایب چندجمله‌ای تخمین زده شده، مقدار تابع چندجمله‌ای را می‌توان در هر نقطه از داخل محدوده نقشه محاسبه کرد که حداقل انحراف ممکن از مقدار اندازه‌گیری شده را داشته باشد [رايلي<sup>۲</sup>, یونوین, ۱۹۷۷, ۲۰۰۹].

یکی از کاربردهای بسیار مهم این روش است که متغیر مستقل اندازه‌گیری شده یا موجود را به دو بخش مؤلفه روند ناحیه‌ای و مؤلفه باقیمانده یا روند محلی تفکیک می‌نماید. مؤلفه روند ناحیه‌ای مربوط به مفهوم ویژگی‌های منطقه‌ای یا بعبارتی تغییرات عمومی متغیر مورد نظر در منطقه مورد مطالعه می‌باشد [یونوین, ۲۰۰۹]. این مقدار را در ژئوشیمی بعنوان مؤلفه زمینه یا اثرات سن‌ژنتیک معرفی می‌نمایند. مؤلفه باقیمانده یا روند محلی را در ارتباط با انحراف روند ناحیه‌ای محاسبه شده از متغیر مستقل اندازه‌گیری یا محاسبه شده می‌دانند. این مقدار در ژئوشیمی بعنوان مؤلفه غیرعادی یا آنومال معرفی می‌شود [دیویس, ۲۰۰۲].

عمده کاربرد روش مذکور در اکتشاف نفت و مطالعات ژئوفیزیکی (روشهای گرانی‌سنجدی و مغناطیس‌سنجدی) می‌باشد. بر اساس بررسی‌های انجام شده در خصوص ذخایر معدنی و مطالعات ژئوفیزیکی ضمن اعمال درجات خاصی از سطح روند (تابع چندجمله‌ای) می‌توان به بهترین تفکیک داده‌ها و شناسایی مناطق آنومال دسترسی پیدا کرد [فائلیویچ<sup>۳</sup>, ۱۹۵۹؛ حیدریان ۱۳۸۵، آگاه و همکاران ۱۳۸۴]. کاربرد این روش در اکتشافات ژئوشیمیایی توسط دیگر محققین قبل مطرح شده است [حسنی‌پاک، ۱۳۸۰، کاکایی و همکاران ۱۳۸۵]. تحقیق در خصوص درجه‌های از سطح روند که منجر به بهترین نتیجه بمنظور شناسایی مناطق با پتانسیل در داده‌های محیط لیتوژئوشیمیایی ثانویه-رسوبات آبراهه‌ای می‌گردد موضوعی است که کمتر بطور تخصصی مورد نظر قرار گرفته است.

<sup>1</sup> Agterberg

<sup>2</sup> Wrigley

<sup>3</sup> Fajkiewicz

## ۵-۵-۲- روند سطحی ارتونرمال

در این روش میدان ناحیه‌ای، با محاسبات ریاضی سطحی با درجات (رونده) مختلف که بهترین تطابق را نسبت به مقادیر اندازه‌گیری شده داشته باشد، تقریب زده می‌شود [دیویس، ۲۰۰۲].

یکی از مزیتهای این روش نسبت به روش حداقل مربعات این است که دستگاه معادلاتی که در این روش برای تخمین ضرایب رگرسیون استفاده می‌شود مانند توابع پایه غیرهمبسته، نامرغوب نبوده و گرایش به چندخطی شدن ندارند (به سیستمی نامرغوب گفته می‌شود که شامل توابعی باشند که در آنها تغییرات کوچک در ضرایب منجر به تغییرات بزرگ در ریشه شود) [فرابرگ<sup>۱</sup>، ۱۹۷۹]. همچنین قدرت تقارب این روش نسبت به روش حداقل مربعات بیشتر است [سارما و سلواراج<sup>۲</sup>، ۱۹۹۰].

از نقطه نظر تئوری تخمین، مجموعه ای ارتونرمال از بردارها در یک فضای ضرب داخلی، ما را قادر به حل صریح و روشن مشکل مکانیابی یک نقطه که در فضایی فرضی به فاصله حداقل از یک نقطه خارجی قرار دارد، می‌نماید [سارما و سلواراج، ۱۹۹۰؛ ایساکسون<sup>۳</sup>، ۱۹۹۶].

یک مجموعه از چند جمله‌ای‌های  $(y, x)$ <sub>i</sub> نسبت به هم ارتونرمال می‌باشند در صورتیکه [سارما و سلواراج، ۱۹۹۰]:

$$\int_a^b \int_a^b g_i(x,y) \cdot g_j(x,y) dx dy = S_{i,j} ; i=j \quad (1-5)$$

$$\int_a^b \int_a^b g_i(x,y) \cdot g_j(x,y) dx dy = 0 ; i \neq j$$

که در اینجا  $S_{i,j}$  سمبل کرونکر نامیده می‌شود و به صورت زیر تعریف می‌شود [سارما و سلواراج، ۱۹۹۰]:

$$S_{i,j} = \begin{cases} 1 & \text{اگر } i=j \\ 0 & \text{اگر } i \neq j \end{cases} \quad (2-5)$$

$$S_{i,j} = 1 \quad \text{اگر } i=j$$

<sup>1</sup>Fröberg  
<sup>2</sup>Sarma and Selvaraj  
<sup>3</sup>Issacson

در حالت خاص داریم [ سارما و سلواراج، ۱۹۹۰]:

$$\int_{-1}^1 \int_{-1}^1 g_i(x,y) \cdot g_j(x,y) dx dy = 1 ; i=j \quad (3-5)$$

$$\int_{-1}^1 \int_{-1}^1 g_i(x,y) \cdot g_j(x,y) dx dy = 0 ; i \neq j$$

به طور کلی حل یک سیستم معادلات خطی در نقاط  $P_1, P_2, P_3, \dots, P_n$  که بصورت  $A_{ij} = (g_i, g_j)$  می‌باشد با مشکلات پیچیده محاسباتی مواجه می‌شود، در این رابطه  $\sum A_{ij} \cdot P_i = B_i$  یک ماتریس یکه است، استفاده می‌شود، یعنی  $A_{ij} = S_{ij}$  و این تساوی زمانی برقرار است که سیستم  $g_1, g_2, g_3, \dots, g_n$  ارتونرمال باشد [چنی<sup>۱</sup>؛ ایساکسون، ۱۹۹۶]. در روش روند سطحی ابدا صفحه زیر تعریف می‌گردد [سارما و سلواراج، ۱۹۹۰]:

$$Z = A_0 \cdot g_0(x,y) + A_1 \cdot g_1(x,y) + \dots + A_n \cdot g_n(x,y) \quad (4-5)$$

$$g_0(x,y) = 1, g_1(x,y) = x, g_2(x,y) = y, g_3(x,y) = x^2, \dots, g_k(x,y) = y^n \quad (5-5)$$

با قرار دادن مقادیر معادل از تساویهای (۴-۵) در رابطه (۵-۵)، رابطه زیر که معادله صفحه

می‌باشد حاصل می‌گردد:

$$A_0 + A_1 x + A_2 y + A_3 x^3 + A_4 x y + A_5 y^5 + \dots + A_n y^n \quad (6-5)$$

که در آن  $A_i$  ها ضرایب سطح مورد بحث می‌باشند.

برای ارتونرمال کردن سیستم از روش گرام-اشمیت استفاده می‌شود. فرآیندهای متعامدسازی گرام-اشمیت به این نیاز دارد که بردارهای نسبی  $g_1, g_2, g_3, \dots, g_n$  به طور خطی مستقل باشند [پرسن<sup>۲</sup>، ۲۰۰۵]. پس از بررسی مستقل بودن بردارها، آنها را به روش گرام-اشمیت ارتونرمال

<sup>1</sup>Cheney  
<sup>2</sup>Persson

نموده، پس از آنکه توابع ارتونرمال محاسبه شدند، می‌توان معادله سطح را بدست آورد [ایساکسون، ۱۹۹۶].

به منظور ارزیابی درجه اطمینان از انطباق سطح مورد نظر با داده‌های اندازه‌گیری شده از آزمون آماری F استفاده می‌شود. از آنجا که با تعداد داده‌های زیاد هر آزمون آماری ممکن است جواب درستی بدهد لذا از یک مجموعه داده، بطور رندوم یک تعداد نمونه محدود انتخاب شده و مورد آزمون قرار می‌گیرند [گروهمن<sup>۱</sup>، ۲۰۰۵]. پس از محاسبه مولفه ناحیه‌ای و با کسر آن از مقدار اندازه‌گیری شده مولفه باقیمانده محاسبه می‌گردد.

لازم به ذکر است که درجه سطح روند نباید آنقدر بزرگ گردد تا آنومالی‌های باقیمانده به طور کلی حذف شوند و یا اینکه آنقدر پایین درنظر گرفته شود تا اثر آنومالی‌های باقیمانده زیاد گردد و یا با آنومالی‌های مجاور همپوشانی داشته باشند. لذا با توجه به نحوه پراکندگی داده‌ها در یک منطقه و با در نظر داشتن هدف از انجام مطالعات لازم است که درجه‌ای از سطح روند انتخاب گردد که بتواند در آشکارسازی ناهنجاریها بهتر عمل نماید [رایلی<sup>۲</sup>؛ گروهمن ۱۹۷۷؛ ۲۰۰۵]. معمولاً در مطالعات ژئوشیمیایی استفاده از نقشه‌های آنومالی باقیمانده بالاتر از درجه ۶ توصیه نمی‌شود [کاکایی و همکاران، ۱۳۸۵]:

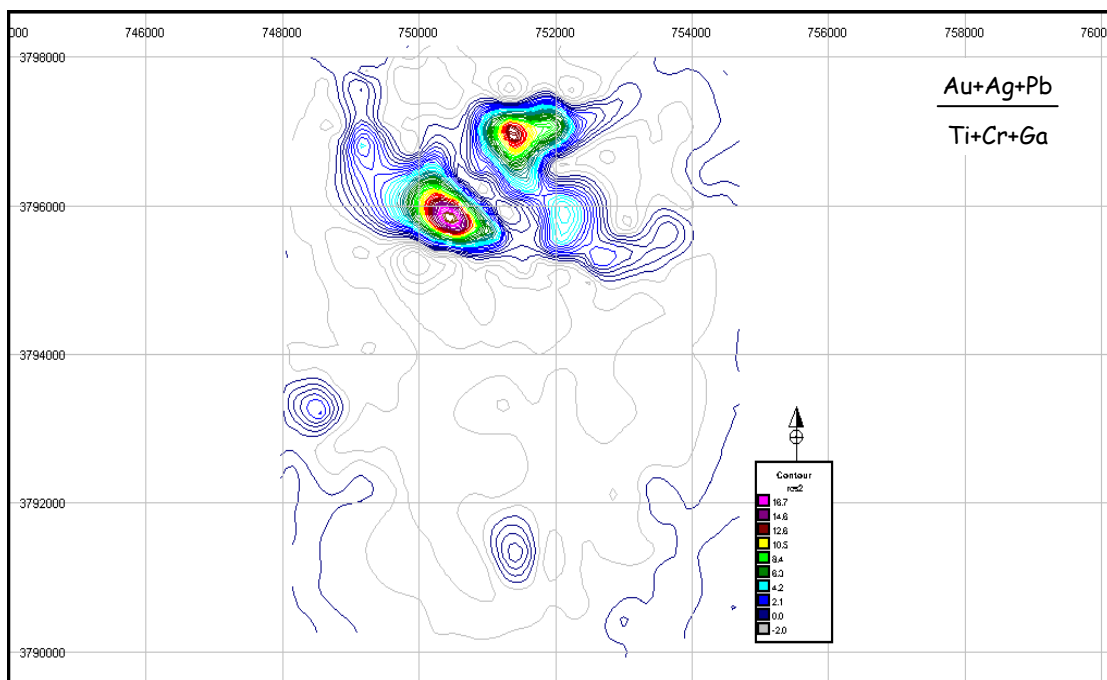
در این تحقیق جهت آشکارسازی بهتر نواحی آنومال و تفکیک آنها از زمینه از روش رondسطحی بر روی نسبت Au+Ag+Pb/Ti+Cr+Ga استفاده شده است. برای این منظور مختصات جغرافیایی و اطلاعات محاسبه شده در بخش قبل برای کل داده‌های منطقه تحت آنالیز رondسطحی قرار گرفتند. ابتدا روند یا مولفه ناحیه‌ای برای درجات مختلف رondسطحی ۱ تا ۶ نسبتهای عنصری محاسبه گردید و سپس روند یا مولفه باقیمانده بدست آمده است (اشکال ۱۲-۵، ۱۳-۵ و ۱۵-۵). مقایسه نقشه‌های باقیمانده با یکدیگر نشان داد که رondسطحی درجه ۴ در آشکارسازی ناهنجاریها نسبت به سایر

<sup>1</sup> Grohmann

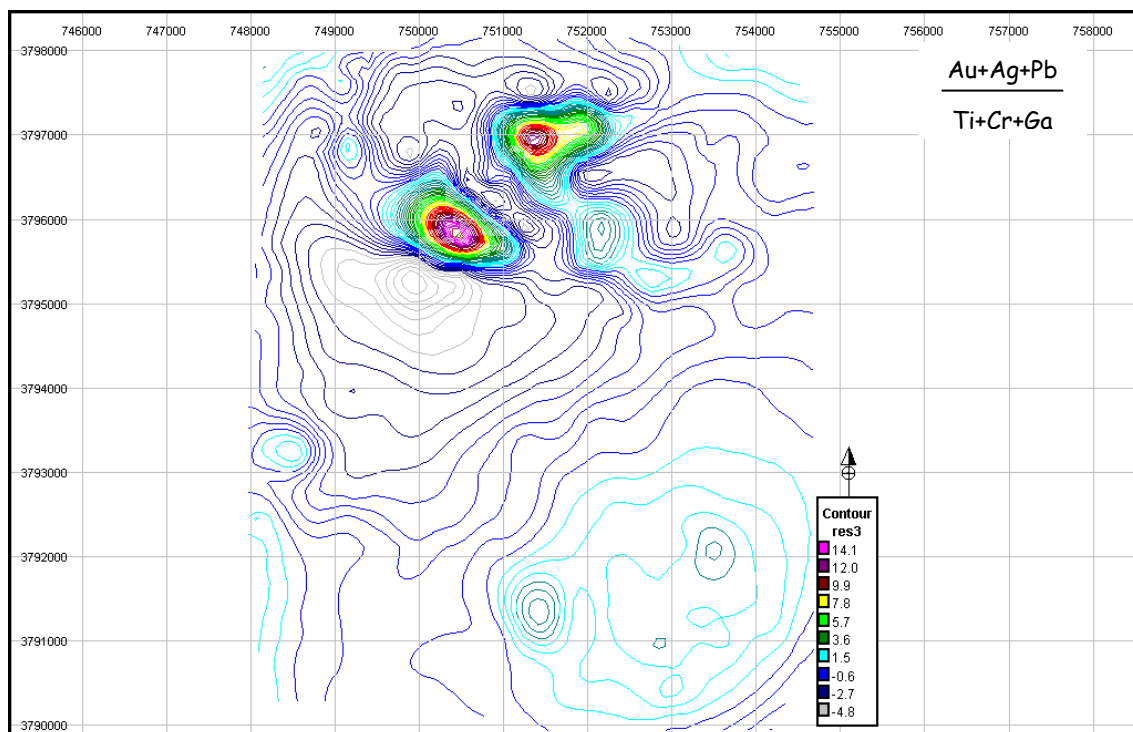
<sup>2</sup> Neil Wrigley

درجات از دقت بالاتری برخوردار است و انطباق بیشتری با نقشه مبنای ترسیم شده نشان می‌دهد. نواحی آنومال ۱، ۲ و ۳ بصورت تفکیک شده بر روی این نقشه مشخص گردیده‌اند (شکل ۱۵-۵). بر اساس اطلاعات زمین‌شناسی موجود در منطقه بخشی از محدوده‌های آنومال با واحدهای شیل و ماسه‌سنگ با میان لایه‌هایی از سنگ‌آهک انطباق دارند که در بخش‌هایی در کن tact با واحد نفوذی از جنس گرانودیوریت، گرانیت و میکروگرانیت می‌باشند. در محدوده آنومالی شماره ۲ علاوه بر رخنمون واحدهای شیلی و ماسه سنگی واحدهایی از جنس آندزیت پوروفیری، آگلومرا، ریوداسیت و توف (PEa) نیز دیده می‌شود. ضمناً دو آنومالی شماره ۴ و ۵ نیز در بخش جنوبی منطقه تفکیک گردیده که آنومالی ۵ آن با طلاعات اکتشافی قبلی انطباق دارد. این دو آنومالی از واحدهای سنگی آندزیت پوروفیری، آگلومرا، ریوداسیت و توف تشکیل شده‌اند.

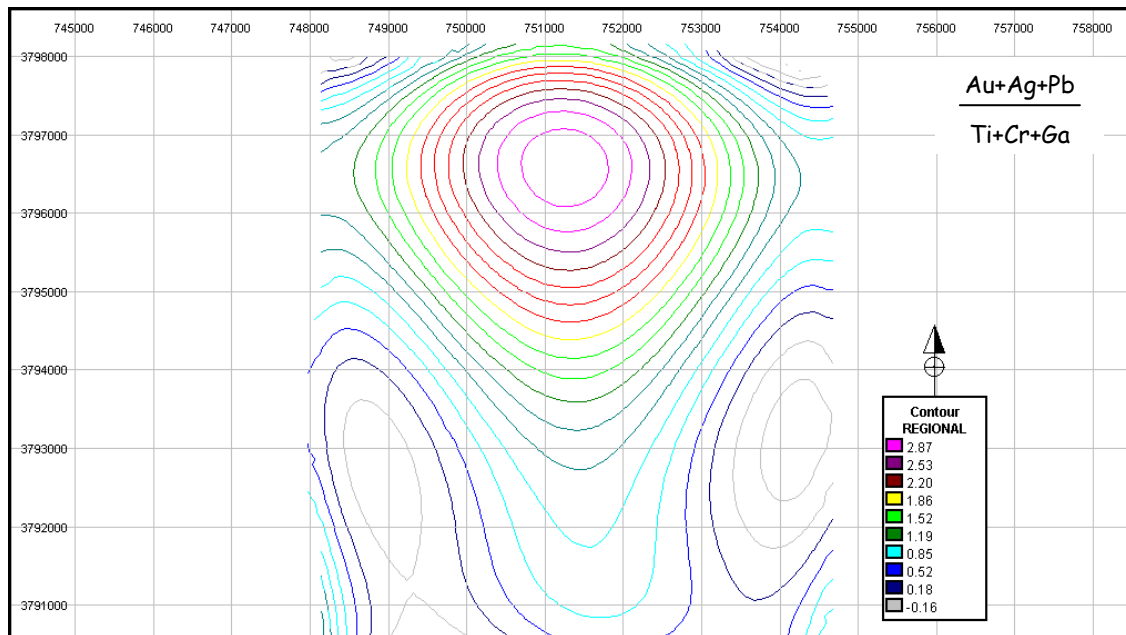
همچنین آنالیز روندسطحی بر روی فاکتور کانی‌سازی معرفی شده ( $F_3$ ) در بخش قبل از درجه ۱ تا ۶ اعمال گردید و نتایج آن در اشکال (۱۶-۵) الی (۲۱-۵) آورده شده است. مقایسه این نقشه‌ها نیز نشان می‌دهد که روندسطحی درجه ۴ از اعتبار بیشتری جهت آشکارسازی نواحی آنومال نسبت به سایر روندها برخوردار است. در این نقشه نیز آنومالی‌های ۱، ۲ و ۳ با آنومالی‌های تفکیک یافته روندسطحی باقیمانده نقشه نسبت Au+Ag+Pb/Ti+Cr+Ga (شکل ۱۵-۵) انطباق خوبی دارد. آنومالی شماره ۴ این نقشه نسبت به آنومالی ۵ نقشه نسبتی (شکل ۱۵-۵) مقداری جابجایی نشان می‌دهد. بنظر می‌رسد آنومالی ۴ نقشه فاکتور  $F_3$  انطباق مناسبتری را با اطلاعات نقشه مبناء (شکل ۴-۴) نشان می‌دهد.



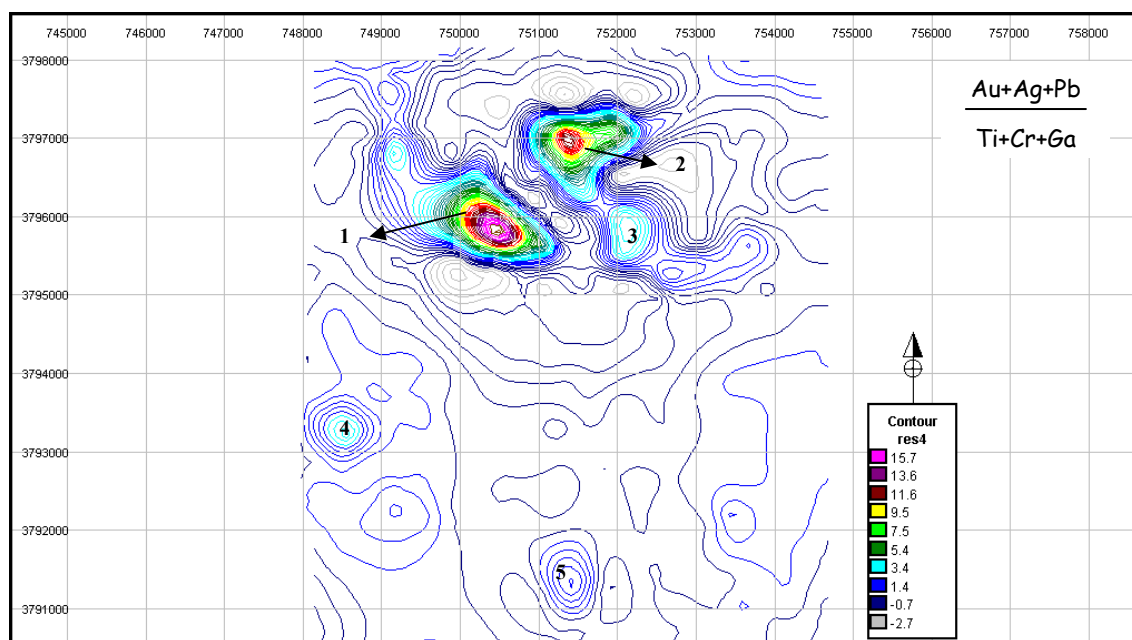
شکل (۱۲-۵): نقشه روند باقیمانده درجه ۲ برای نسبت جمعی  $\text{Au}+\text{Ag}+\text{Pb}/\text{Ti}+\text{Cr}+\text{Ga}$



شکل (۱۳-۵): نقشه روند باقیمانده درجه ۳ برای نسبت جمعی  $\text{Au}+\text{Ag}+\text{Pb}/\text{Ti}+\text{Cr}+\text{Ga}$



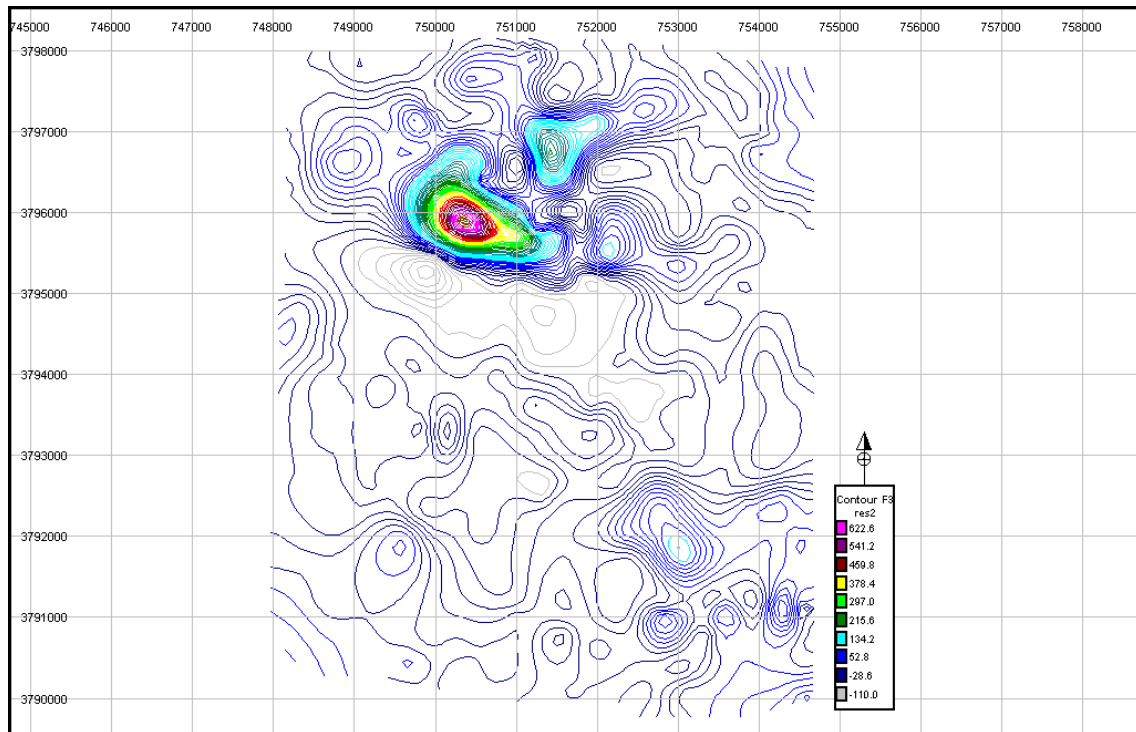
شکل (۱۴-۵): نقشه روند ناحیه ای درجه ۴ برای نسبت جمعی  $Au+Ag+Pb/ Ti+Cr+Ga$



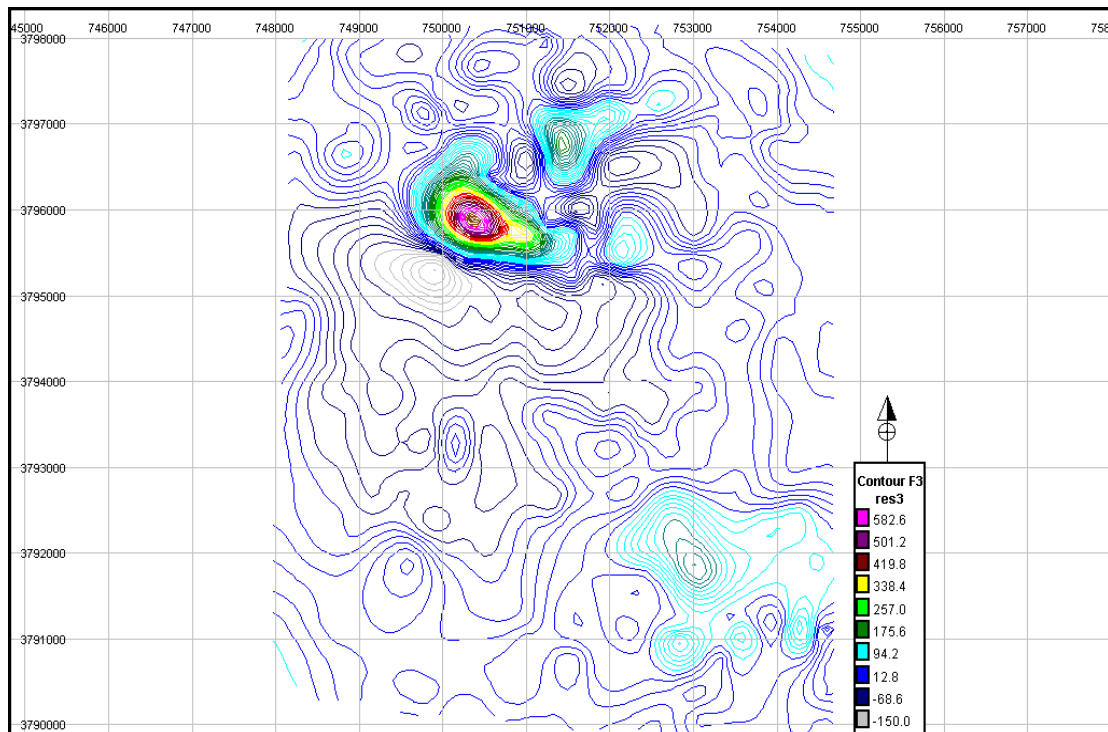
شکل (۱۵-۵): نقشه روند باقیمانده درجه ۴ برای نسبت جمعی  $Au+Ag+Pb/ Ti+Cr+Ga$

بمنظور اولویت‌بندی مناطق آنومال بر اساس نسبت کانی‌سازی تعریف شده، نواحی ۱ و ۲ (اشکال ۵-۱۵) با اولویت بالا، ناحیه ۳ در اولویت بعد (اشکال ۱۵-۵ و ۱۹-۵) و ناحیه ۴ (شکل ۱۹-۵) با اولویت پایین دارند.

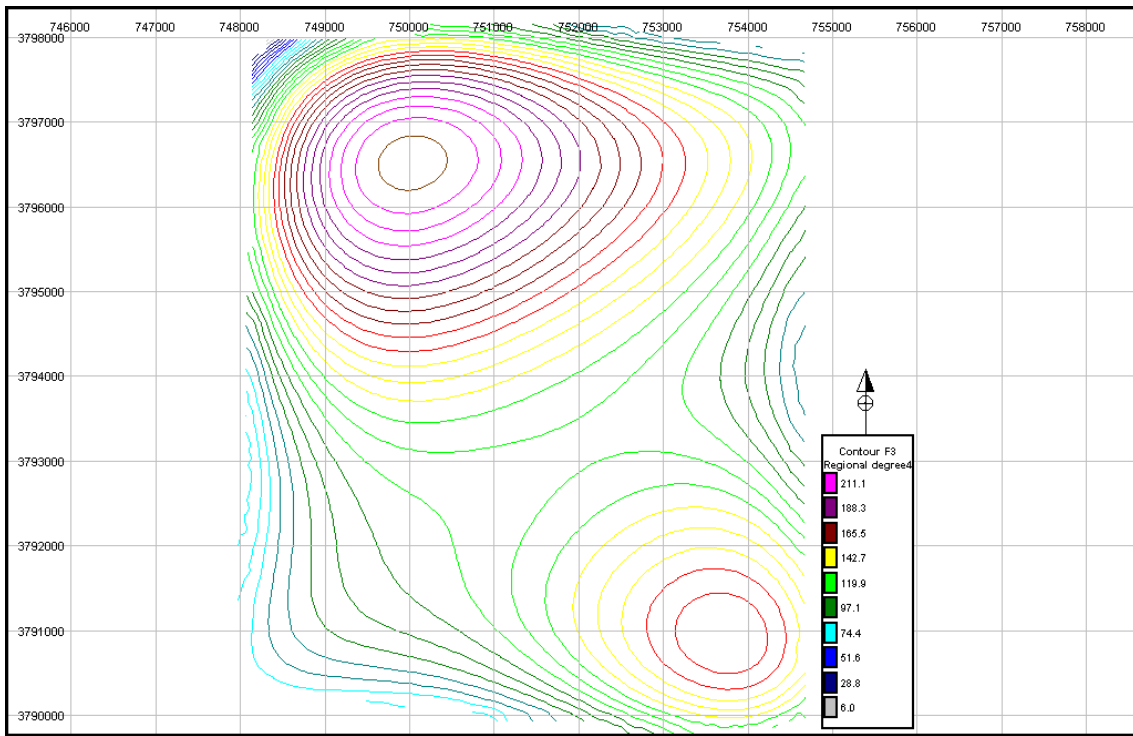
اولویت پایین‌تر قرار می‌گیرند. ناحیه ۴ (شکل ۱۵-۵) در حاشیه غربی نقشه بعنوان منطقه دارای ابهام معرفی می‌گردد.



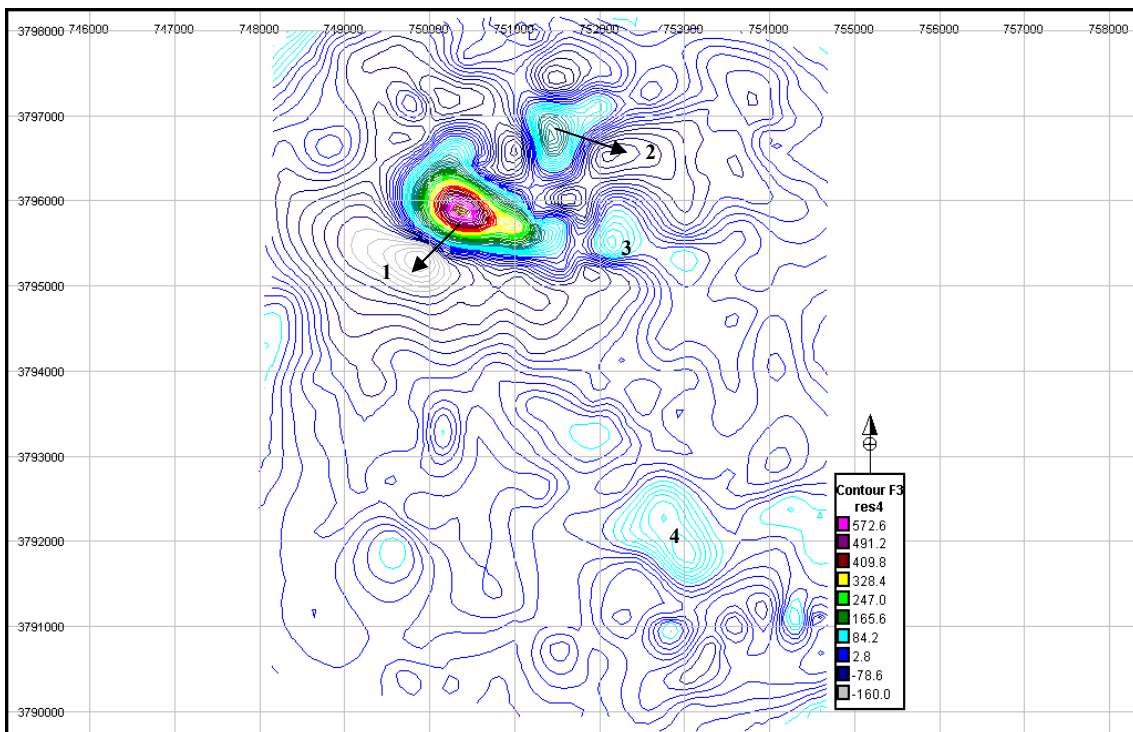
شکل (۱۶-۵): نقشه روند باقیمانده درجه ۲ برای فاکتور سوم



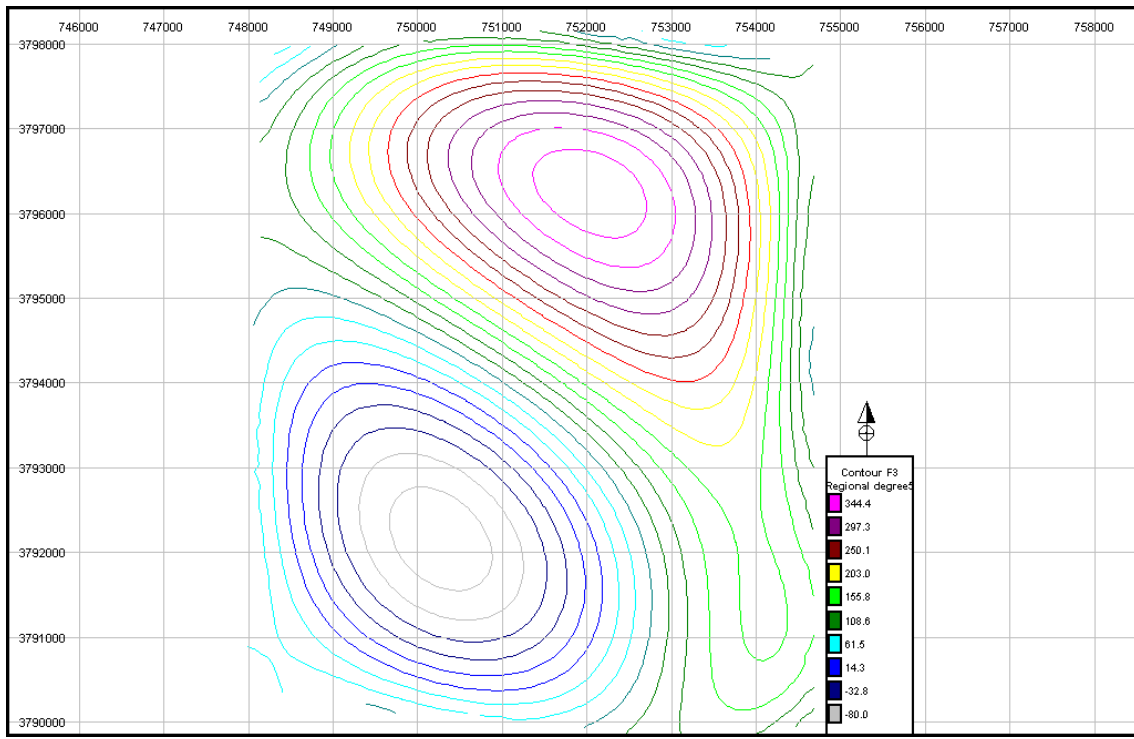
شکل (۱۷-۵): نقشه روند باقیمانده درجه ۳ برای فاکتور سوم



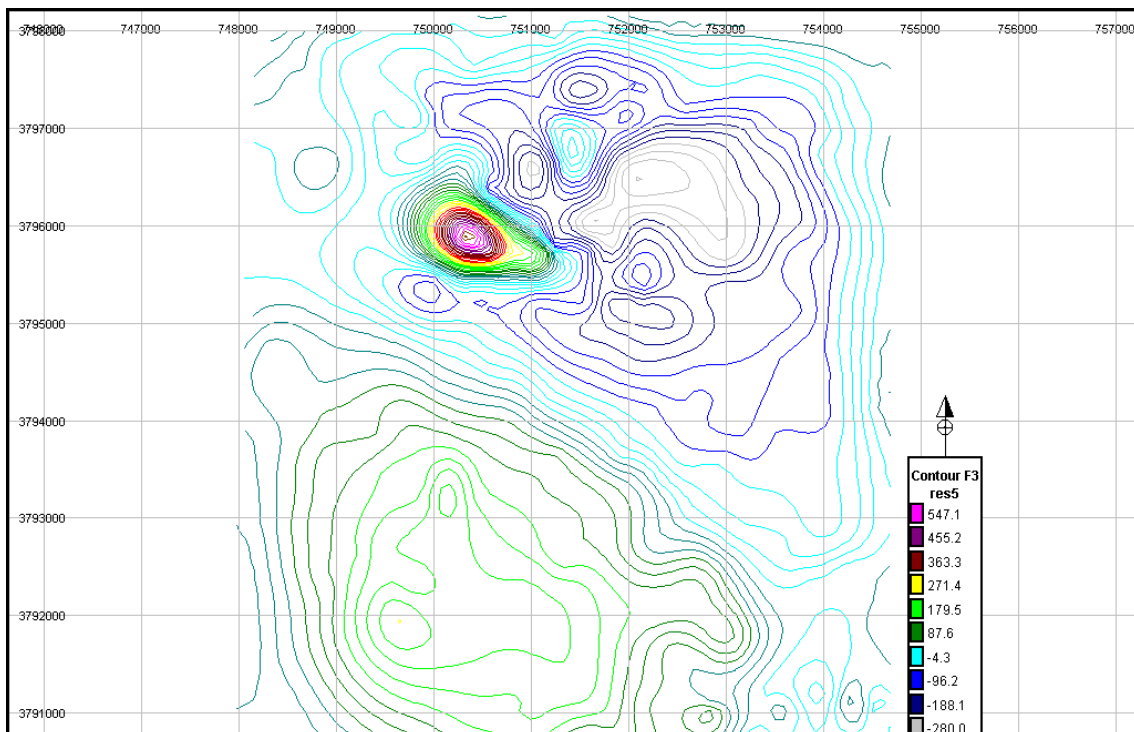
شکل (۱۸-۵): نقشه روند ناحیه ای درجه ۴ برای فاکتور سوم



شکل (۱۹-۵): نقشه روند ناحیه ای درجه ۴ برای فاکتور سوم



شکل (۲۰-۵): نقشه روند ناحیه ای درجه ۵ برای فاکتور سوم



شکل (۲۱-۵): نقشه روند باقیمانده درجه ۵ برای فاکتور سوم

## فصل ششم

نتیجه‌گیری و پیشنهادات

## ۶-۱-نتیجه‌گیری و پیشنهادات

برا ساس تحلیل‌های تک متغیره و چندمتغیره، نسبت‌های ژئوشیمیایی و روش تفکیک آنومالی از زمینه روندسطحی اعمال شده بر روی داده‌های منطقه زوزن (مساحت ۵۸ کیلومترمربع) نتایج زیر بدست آمده است:

- ۱- با انجام مطالعات آماری تکمتغیره و رسم نقشه‌های تک‌عنصری و همچنین مقایسه مقادیر آنومال برای هر عنصر با مقدار زمینه آن در رسوبات رودخانه‌ای، نتایج بدست آمده از مطالعات سیستماتیک ۱:۱۰۰۰۰ در مورد اهمیت عناصر طلا، نقره، مس، سرب و روی مورد تائید قرار گرفت به علاوه، نقشه‌های عناصر آنتیموان، کادمیوم، بیسموت و مولیبدن نیز از همپوشانی خوبی با عناصر با اهمیت برخوردار بودند. همچنین مقایسه نقشه‌های تک‌عنصری نشان داد که نیمه جنوبی منطقه از نظر وجود پتانسیل احتمالی کانی‌سازی از اهمیت کمتری برخوردار است.
- ۲- با تکیه بر نتایج بدست آمده از بند ۱ و مطالعات آماری دو متغیره و چندمتغیره بر روی داده‌های نیمه شمالی منطقه که پاراژنز عناصر سرب، روی، نقره، مس، کادمیوم، آنتیموان و بیسموت را در منطقه نشان می‌دهند و همچنین با توجه به شرایط زمین‌شناسی منطقه، احتمال رخداد کانی‌سازی پلی‌متال رگه‌ای در این ناحیه دور از ذهن نیست.
- ۳- برای تعریف نسبت‌های عنصری معرف، از بخش وابسته به آنومالی‌های ژئوشیمیایی در نیمه شمالی کمک گرفته شده است. مطالعات آماری مؤید آن بود که عناصر طلا، نقره، مس، سرب و روی بصورت جمعی در صورت کسر و عناصر گالیم، قلع، تیتانیم، وانادیم و کروم در مخرج کسر می‌توانند در تعریف نسبت جهت شناسایی فرآیندهای اپی‌زنตیک از سین‌زنتیک راهنمای باشند. با توجه به شدت همبستگی در نهایت نسبت شش عنصری  $Au+Ag+Pb/Ti+V+Cr$

مورد تائید قرار گرفت. مقایسه نقشه پراکندگی این نسبت عنصری با نقشه مبنای بدست آمده

از بخش قبل حاکی از انطباق بالای این نقشه در آشکارسازی نواحی آنومال می‌باشد.

۴- محاسبه فاکتور سوم تحلیل مؤلفه‌های اصلی به عنوان فاکتور کانی‌سازی پلی‌متال رگه‌ای با حذف اثر سرب، توانست بخوبی تغییرات غلظت عناصر سرب، نقره، روی و مس را در منطقه مدل نماید.

۵- از بین درجات مختلف روندسطحی که بر روی نسبت معرف عنصری و فاکتور کانی‌سازی پلی‌متالیک محاسبه شده اعمال گردید، روندسطحی درجه ۴ ضمن تائید نتایج قبلی با حذف اثر زمینه و محاسبه نواحی آنومال باقیمانده از اطمینان بیشتری برخوردار است. بر اساس این نقشه‌ها مناطق آنومال ۱ و ۲ در اولویت اول (متشكل از واحدهای شیلی و ماسه‌سنگی، گرانودیوریتی، گرانیت و میکروگرانیت)، محدوده آنومال ۳ (متشكل از آندزیت پورفیری، اگلومرا، ریوداسیت و توف) در اولویت دوم و منطقه آنومال ۴ واقع در محدوده جنوب شرقی نقشه (شکل ۱۹-۵) که با واحد آندزیت پورفیری و توف انطباق دارد در اولویت سوم قرار گرفت.

۶- روش روندسطحی بعنوان تحلیل تک‌متغیره بر روی نسبت چندعنصری که از تحلیل چندمتغیره حاصل گردیده بود اعمال شد و با توجه به مجموعه اطلاعات اکتشافی موجود از منطقه بخوبی توانست مناطق آنومال را از زمینه تفکیک نماید.

۷- انجام مطالعات تفصیلی به منظور کشف کانی‌سازی احتمالی پلی‌متال عناصر سرب، روی، نقره، طلا و مس در دو محدوده با اولویت ۱، ۲ و ۳ را پیشنهاد می‌نماییم.

## منابع

۱. آگاه، آ.، دولتی ارده‌جانی، ف.، مرادزاده، ع. و طباطبایی، (۱۳۸۴)، "اکتشاف تله‌های هیدروکربوری طبس با روش جدید وارونسازی سه بعدی داده‌های گرانی"، مجله فیزیک زمین و فضا، جلد ۳۱، شماره ۲- صفحه ۲۳-۳۴
۲. حسنی پاک، ع.، (۱۳۸۰)، "تحلیل داده‌های اکتشافی"، انتشارات دانشگاه تهران، ۹۸۲ صفحه
۳. حسنی پاک، ع.ا.، شجاعت ب.، (۱۳۷۹)، "مدل‌سازی کانسارهای فلزی-غیرفلزی و کاربردهای اکتشافی آن"، انتشارات دانشگاه تهران، ۵۱۱ صفحه
۴. حیدریان، ع.، رنجبر، ح.، (۱۳۸۵)، "مقایسه کاربرد آنالیز روند در سه روش ژئوفیزیک هوایی"، مجله فیزیک زمین و فضا، جلد ۳۲، شماره ۲- صفحه ۲۳-۳۰
۵. دولتی ارده جانی، ف.، (۱۳۷۵)، "تفکیک آنومالی‌های گرانی منطقه بابلسر به روش روند سطحی ارتونرمال"، نهمین کنفرانس ژئوفیزیک ایران، تهران، ۷۸-۸۰ صفحه
۶. سازمان زمین‌شناسی و اکتشافات معدنی کشور (۲۰۰۵)، "گزارش نقشه زمین‌شناسی ۱:۱۰۰۰۰۰ زوزن"
۷. سازمان زمین‌شناسی و اکتشافات معدنی کشور (۱۳۸۰)، "نقشه زمین‌شناسی ۱:۱۰۰۰۰۰ نوده"
۸. کاکایی، ر.، دولتی، ف.، سرخیل، ح.، (۱۳۸۵)، "کاربرد روش روند سطحی ارتونرمال در جداسازی مناطق آنومال ژئوشیمیایی از زمینه منطقه سوریان استان فارس"، مجموعه مقالات دهمین همایش انجمن زمین‌شناسی ایران، صفحه ۴۷۷-۴۸۵
۹. عزمی، ح.، (۲۰۰۵)، "گزارش اکتشاف ژئوشیمیایی سیستماتیک ورقه یکصد هزارم زوزن"-، مرکز مشهد
۱۰. طهمورثی، م.، (۱۳۸۰)، "اکتشاف و مدل‌سازی کانسار مس سونگون با استفاده از داده‌های حاصل از عملیات ژئوشیمیایی و ژئوفیزیکی". پایان نامه کارشناسی/رشد، دانشگاه صنعتی شاهروود، ۲۷۸ ص.
۱۱. مهندسین مشاور کان ایران، (۱۳۸۸)، "اکتشافات ژئوشیمیایی در محدوده ۱/۲۵۰۰۰ زوزن"، گزارش سازمان زمین‌شناسی و اکتشافات معدنی کشور.

12. Abdelrahman E.M., Riad S., Refai E. and Amin Y., (1985), "On the least-square residual anomaly, determination". *Geophysics*, Vol. 50, No. 3, p 473-480.
13. Agterberg, F.P., (1964), Blackwell Science., "Methods of trend surface analysis", Colorado School of Mines Quarterly, 59, p111-30.
14. Anderson, T., (2003), "An Introduction to Multivariate Statistical Analysis", 3rd ed., Wiley, New York, 721p
15. Appleton J.D, Claros J. and Rodriguez W., (1989), "Lithogeochemical and mineralogical indicators of Andean precious-metal and polymetallic vein mineralization" in *Journal of Geochemical Exploration* Volume 32, Issues 1-3, Pages 359-368
16. Baumgartner R. and Fontboté L., (2008), Mineral Zoning and Geochemistry of Epithermal Polymetallic Zn-Pb-Ag-Cu-Bi Mineralization at Cerro de Pasco, Peru Economic Geology; v. 103; no. 3; p. 493-537; DOI: 10.2113/gsecongeo.103.3.493  
© 2008 Society of Economic Geologists
17. Beus A. A. and Grigorian S.V., (1977), "Geochemical exploration methods for mineral deposits", Trans. by Schneider, Applied publishing. 287 p
18. Brownlee, K. A., (1960), "Statistical Theory and Methodology in Science and Engineering". New York: John Wiley. 570 p
19. Cheney, E. W., (1996), "Introduction to approximation theory" : McGraw-Hill Book Co., New York, 259 p.
20. Cheng, Q., Agterberg, F. P., and Bonham-Carter,G. F., (1996), "spatial analysis method for geochemical anomaly separation": *J. Geochem. Explor.*, v. 56, no. 3, p. 183–195.
21. Cloutier V., RENÉ LEFEBVRE., RENÉ THERRIEN., MARTINE, M. and SAVARD., (2008), "Multivariate statistical analysis of geochemical data as indicative of the hydrogeochemical evolution of groundwater in a sedimentary rock aquifer system " *Jour. Hydrology*, v.353, pp. 294-313.
22. Davis, John.C., (2002), "Statistics and Data Analysis in Geology". United State of America, by J. Wiley in New York, 638p
23. Fajklewicz Z. (1959). "The use of cracovian computation in estimating the regional gravity". *Geophysics*, No. 24, pp 456-478.
24. Fletcher W.K., (1981), "Analytical Methods in Geochemical Prospecting", In: *Handbook of Exploration Geochemistry*, Elsevier, Amsterdam Vol.1 pp184-206
25. Fletcher W., (1997),"Stream Sediment Geochemistry in Todayes Exploration World in proceedings of Exploration",p 97.
26. Froberg C.E, (1979), Introduction to numerical analysis, (2<sup>nd</sup> ed): Addison- wesley publo. Co., Reading, massachusetts. 433p

27. Glover, Jenkins and Doney, ( 2004), "DRAF Modeling, Data Analysis and Numerical Techniques for Geochemistry".
28. Grohmann C.H, (2005), "Trend-surface analysis of morphometric parameters: A case study in southeastern Brazil", *Computers & Geosciences*, 31 pp1007–1014
29. Härdle W. Léopold S., (2007), Principal Components Analysis, "Applied Multivariate Statistical Analysis", Part III, Pages 215-249
30. Howkes, H.E; and Webb, J.S., (1962), "Geochemistry in mineral exploration" New York and Evanston: Harper and Row publishing, 415p
31. Joanes, D. N. & Gill, C. A., (1998), "Comparing measures of sample skewness and kurtosis", In: *Journal of the Royal Statistical Society (Series D): The Statistician* 47 (1), pp183-189
32. Johnson R, Wichern D., (2007), " Applied multivariate statistical analysis", 6th edn. Prentice-Hall, London,816 p
33. Levinson, A.A., (1986), "Introduction to exploration geochemistry", *Applied publishing Ltd.* (second Ed.), Illinois, U.S.A., 924 pp.
34. Limpert E., Stahel W.A. and Abbt M., (2001), " Lognormal distributions across the sciences: keys and clues, *Bioscience* 51 (5) (2001), pp. 341–352.
35. Oldham C.H. and Sutherland D.B., (1955), "Orthogonal polynomials and their use in estimating the regional effect". *Geophysics*, No. 20, pp 295-306.
36. Persson, P.O., (2005), "Introduction to Numerical Methods", Lecture 5 Gram-Schmidt
37. Pison, G., Rousseeuw, P.J., Filzmoser, P., Croux, C., (1999), *Factor Analysis in a Robust Way*. Univ. Antwerp, Belgium: [http://win-www.uia.ac.be/u/statis/\(preprint\)](http://win-www.uia.ac.be/u/statis/(preprint)).
38. Purushothaman D., Mohakul J. P., Asit Saha, K. T. Vidyadharan and Rajendran N., (2009), "Soil and stream sediment based geochemical mapping: A case study in Goa", *Journal of the Geological Society of India*, Volume 73, Number 6, pp 744-746.
39. Reimann, C., Filzmoser, P., Garrett, R.G., (2005), "Background and threshold: critical comparison of methods of determination", *Science of the Total Environment*, Volume 346, Issues 1-3, 15, Pages 1-16
40. Reimann, C. and Filzmoser, P., (2000), "Normal and lognormal data distribution in geochemistry: death of a myth. Consequences for the statistical treatment of geochemical and environmental data", *Environmental Geology*, 39/9, pp1001-1014.
41. Reimann, C., Filzmoser, P., and Garrett, R.G., (2002), "Factor analysis applied to regional geochemical data: problems and possibilities", *Applied Geochemistry*, 17, pp185-206.

42. Reyment R.A., Savazzi E., (1999), "Aspects of Multivariate Statistical Analysis in Geology", Department of Historical Geology and Palaeontology, Institute of Earth Sciences.
43. Richard, A. J., & Dean, W. W., (2002), "Applied multivariate statistical analysis". Englewood Cliffs, NJ: Prentice-Hall.446p
44. Sanford, F.,Pierson, T. and Crovelli, R.A., (1993), "An Objective Replacement method for Censored Geochemical data", *Mathematical geology*, 27(1) :pp 59-79
45. Sarma D.D. and Selvaraj J.B., (1990), "Two-dimensional orthonormal trend surfaces for prospecting" ,*Computers and Geosciences*, Vol.16, No. 7,pp 897-909.
46. Siska, P. P., and I. K. Hung. 2000. Data Quality on Applied Spatial Analysis. In: Papers and Proceedings of the Applied Geography Conferences, Vol. 23. ed. F. A. Schoolmaster, pp 199-205.
47. Smith, Goodchild, Longley, (2006) , "regression and trend surface modeling", *Geospatial Analysis - a comprehensive guide* .,3rd
48. Swan, A. R. H., Sandilands, M., and McCabe, P., (1995), "Introduction to geological data analysis": Blackwell Science, 446p
49. Templ M., (2003), "Cluster Analysis with Application to Data from Geochemistry", *Department of Statistics and Probability Theory*. Vienna Univ. of Technology, Austria, 137pp.
50. Templ M., Filzmoser P., and Reimann C., (2006), " Cluster analysis applied to regional geochemical data:Problems and possibilities", Vienna Univ. of Technology, Austria,.
51. Unwin D.J., (2009), "Trend Surface Models" in: *International Encyclopedia of Human Geography*, Pages 484-488
52. Van Voorhis G.D. and Davis T.M., (1964), "Magnetic anomalies of North of Puerto Rico: Trend removal with orthogonal polynomials", *Geophysics*, No. 69, pp 5363-5371.
53. Wolfgang Härdle Léopold Simar, (2007), "Principal Components Analysis", *Applied Multivariate Statistical Analysis*, Part III, Pages 215-249
54. Wrigley N., (1977), " Probability Surface Mapping: A New Approach to Trend Surface MappingTransactions", In: *Institute of British Geographers*, New Series Volume 2 Number 2 pp.129-140
55. Yu Chang.W. et al., (1980), "Its methods and applications multivariate analysis in geological research and geochemical prospecting". *Mathematical geology*, chap.15, p.946.
56. Zhang X, Chen W & Wang S (1990) Studies of the polymetallic ores, their geochemical anomalous, patterns and interpretation, Beijing Institute of Geology for Mineral Resources, China. Unpublished research report with three accessory (in Chinese) , 98 p.

# پیوست ۱

بخشی از نتایج آنالیز نمونه‌های رسوبات آبراهه‌ای

Sample No	Coordinate System	Au	Ag	As	B	Ba	Be	Bi	Cd	Ce	Co	Cr	Cs	Cu	Ga	Ge	Hf	Hg	In	La	Li	Mn	Mo	Nb	Ni	P	Pb	
		X	Y	ppm													ppm											
ZZ001	754650	3792341	0,001	0,1	7,4	10	100	0,57	0,17	0,17	32,9	11,6	41	2,37	24	4,78	0,07	0,14	0,02	0,037	17,8	26,2	779	0,79	0,35	44,5	670	32,8
ZZ002	754505	3791146	0,001	0,07	8	10	90	0,5	0,15	0,18	38,3	12,4	49	2,56	28	5,62	0,08	0,18	0,02	0,027	21,3	28	668	1,11	0,4	48,9	740	28
ZZ003	753238	3790915	<0,001	0,09	7,7	10	110	0,56	0,2	0,23	38,4	12,7	47	2,23	31,1	5,26	0,07	0,18	0,02	0,027	20,8	26,7	866	1,03	0,5	45,3	710	88,3
ZZ004	752912	3790582	0,001	0,1	8,5	10	100	0,54	0,15	0,24	38,6	12,4	48	2,86	30,9	5,77	0,07	0,18	0,01	0,026	21,2	29,3	732	1,14	0,46	46,2	690	45,5
ZZ005	747974	3790766	0,001	0,11	8,1	10	80	0,53	0,16	0,26	30,4	10	36	2,22	21,4	4,1	0,07	0,09	0,01	0,024	16,7	20,4	544	0,74	0,53	42,6	650	20,4
ZZ006	748550	3791416	<0,001	0,08	7,1	10	90	0,51	0,15	0,28	33,5	11,6	41	2,16	24,9	4,86	0,06	0,09	0,01	0,023	18,2	25,4	646	0,82	0,76	49,9	720	16,5
ZZ007	748486	3791500	0,001	0,23	6,8	10	90	0,62	0,17	0,22	37,1	11,1	39	2,53	28,4	4,66	0,07	0,14	0,02	0,023	20,6	24,7	585	0,91	0,51	49,2	660	15,3
ZZ008	748712	3791033	0,001	0,05	7,2	10	100	0,58	0,16	0,27	36,2	12	41	2,35	23,6	4,92	0,08	0,07	0,02	0,026	19,1	26,5	700	0,83	1,02	50,7	800	18,2
ZZ009	748616	3791087	<0,001	0,09	7,1	10	90	0,58	0,16	0,21	33,3	11,6	40	2,41	21,3	4,93	0,07	0,14	0,02	0,023	17,7	27,6	625	0,69	0,48	50,5	710	15,3
ZZ010	748648	3790885	0,001	0,04	7,9	10	110	0,65	0,16	0,19	37,1	11,8	41	2,52	25	5,32	0,08	0,08	0,01	0,026	19,8	28,9	692	0,93	0,47	45,9	760	17,4
ZZ011	749870	3790699	0,001	0,1	7	10	80	0,56	0,14	0,22	32,8	11,8	45	2,27	26,1	5,45	0,07	0,14	0,01	0,024	17,7	29,7	645	0,74	0,47	47,8	640	32,6
ZZ012	750143	3791206	0,001	0,05	9,9	10	100	0,71	0,17	0,22	38,6	12,5	47	6,35	25,3	5,87	0,07	0,19	0,02	0,028	21,2	36,6	665	0,94	0,36	47,2	650	37,2
ZZ013	750240	3790726	<0,001	0,05	8,8	10	100	0,59	0,18	0,23	36,3	12,6	50	3,36	29,7	5,73	0,06	0,18	0,02	0,027	19,8	30,6	721	1,01	0,69	49,2	640	83
ZZ014	750690	3790281	0,001	0,04	8,4	10	80	0,52	0,16	0,23	33,4	12,6	48	2,71	29,1	5,34	0,07	0,13	0,01	0,026	18,2	30,7	708	0,79	0,39	48,4	630	55,4
ZZ015	748027	3790862	0,001	0,1	7,9	10	90	0,6	0,15	0,21	35,6	12,4	41	2,77	25,2	5,42	0,07	0,13	0,01	0,027	19,3	32,3	639	0,89	0,35	50,8	720	19,6
ZZ016	748656	3790336	0,001	0,06	7,6	10	80	0,57	0,17	0,17	30,3	11,6	42	2,6	25,1	5,1	0,06	0,1	0,02	0,022	16,3	30,3	594	0,98	0,47	49,6	640	16,3
ZZ017	748425	3790875	0,001	0,04	7,2	10	100	0,66	0,15	0,27	39,3	12,9	46	2,37	26,7	5,7	0,07	0,16	0,02	0,025	21	32,3	757	1,06	0,54	54	760	20,5
ZZ018	749754	3790479	0,001	0,13	9	10	140	0,74	0,15	0,18	42,5	14,9	55	3,86	34	6,75	0,08	0,12	0,01	0,029	23,3	45,5	791	1,27	0,28	49,9	830	58,3
ZZ019	749645	3790154	0,001	0,04	7,5	10	70	0,56	0,16	0,18	32	12,4	42	3,03	27,4	5,08	0,07	0,1	0,01	0,026	17,3	30,2	639	0,76	0,43	48,8	690	15,8
ZZ020	750281	3790296	0,001	0,08	9,3	10	90	0,65	0,15	0,17	40,5	14,7	56	3,67	30	6,09	0,07	0,13	0,01	0,029	22,5	40,1	661	0,98	0,4	53,9	920	22,9
ZZ021	750442	3789882	0,001	0,07	9	10	90	0,57	0,18	0,16	38,4	13,7	46	4,22	25,9	5,57	0,08	0,14	0,01	0,026	21,3	31,6	653	0,87	0,44	53,2	780	18,2
ZZ022	750902	3790065	<0,001	0,07	8	10	90	0,56	0,15	0,18	33,6	12,3	47	2,72	25,3	5,28	0,07	0,11	0,02	0,026	18,4	30,7	644	0,76	0,39	49,5	700	27,8
ZZ023	750937	3789957	0,001	0,04	9,8	10	100	0,62	0,18	0,14	40,2	14,3	50	3,92	29,3	6,06	0,08	0,18	0,01	0,028	22,6	34,7	681	1,12	0,37	56,1	810	17,5
ZZ024	751312	3790143	0,001	0,08	8	10	90	0,67	0,14	0,2	31,9	12,9	43	2,23	23,2	6,23	0,07	0,08	0,02	0,022	16,6	32	681	0,75	0,59	50,1	650	27,5
ZZ025	748217	3790372	0,002	0,16	8,7	10	100	0,64	0,18	0,32	35,1	11,9	43	2,47	31,9	5,64	0,07	0,09	0,02	0,026	18,7	28,5	613	1,51	1,32	50,2	670	31,9
ZZ026	748260	3790973	0,002	0,05	7,2	10	90	0,65	0,16	0,23	40,7	13,2	41	2,46	23,7	5,87	0,09	0,16	0,02	0,024	22,5	34,8	657	0,81	0,86	54,8	750	16,8
ZZ027	748234	3790690	0,001	0,04	7,4	10	80	0,63	0,16	0,23	32,5	12,5	41	2,64	24,5	5,74	0,08	0,12	0,02	0,024	17,3	38,8	620	0,92	0,44	51,6	720	21,3
ZZ028	748541	3790295	0,001	0,08	9	10	70	0,58	0,18	0,28	32	10,9	38	2,56	22,6	4,7	0,07	0,06	0,01	0,022	16,2	25,7	564	1,16	0,74	45,2	660	32,8
ZZ029	748652	3790755	0,001	0,09	11,9	10	90	0,66	0,21	0,19	38,9	13,7	50	4,08	24,6	6,65	0,08	0,11	0,01	0,028	20,2	34,2	706	0,83	0,25	48,1	780	18,2
ZZ030	749806	3790633	0,001	0,08	8,5	10	100	0,64	0,16	0,18	39	12,2	45	2,89	26,9	6,01	0,07	0,07	0,01	0,026	19,5	28,6	684	0,87	0,54	48,1	680	30,1
ZZ031	749625	3790987	0,001	0,08	7,7	10	90	0,57	0,16	0,2	41,4	12,5	50	2,42	25,8	6,63	0,08	0,12	0,01	0,026	21,9	31,3	785	1,01	0,39	47	720	31,8
ZZ032	750207	3790204	0,001	0,04	9,3	10	80	0,58	0,15	0,18	37,4	12,6	48	3,37	26,2	5,74	0,07	0,06	0,01	0,027	19,6	29,6	622	0,87	0,66	48,1	750	14,6
ZZ033	750361	3790364	0,001	0,06	7,9	10	90	0,55	0,14	0,19	38,4	12	49	2,19	24,6	5,73	0,07	0,13	0,01	0,023	19,8	29	718	0,84	0,48	44,4	670	27,7
ZZ034	750834	3790213	0,001	0,08	8,6	10	100	0,54	0,14	0,22	36,9	13,3	58	1,92	27,3	6,4	0,09	0,16	0,01	0,024	19	29,5	818	0,96	0,42	46,4	610	57,4
ZZ035	751380	3790059	0,002	0,1	8	10	100	0,6	0,15	0,2	35	11,2	43	1,99	25,2	5,95	0,07	0,14	0,01	0,024	17,7	24,8	655	1,01	0,57	41,6	660	29,7
ZZ036	751665	3789990	0,002	0,04	8,2	10	120	0,6	0,16	0,28	40,6	13,5	52	2,47	32	6,26	0,07	0,12	0,01	0,026	20	27,8	764	1,25	0,37	48	680	32,2
ZZ037	751496	3789925	0,001	0,03	9,7	10	90	0,63	0,15	0,17	41,5	12,8	51	2,98	24,3	6,11	0,07	0,2	0,01	0,024	21,5	31,1	674	0,9	0,81	47,9	800	24,3
ZZ038	752131	3789769	0,001	0,05	9	10	100	0,55	0,17	0,19	40,9	13,4	53	2,46	27,1	6,26	0,08	0,18	<0,01	0,023	22,2	29,3	718	1,13	1,11	48,5	810	22,2
ZZ039	752628	3789994	0,001	0,09	8,9	10	90	0,52	0,15	0,19	37,6	12,5	47	2,44	22,8	5,67	0,07	0,12	0,01	0,025	19,8	27,3	677	0,87	0,37	46,5	730	21,8
ZZ040	752933	3790015	0,001	0,07	8	10	120	0,64	0,12																			

Sample	Coordinate System	Rb	Re	Sb	Sc	Se	Sn	Sr	Ta	Te	Th	Tl	U	V	W	Y	Zn	Zr	Al	Ca	Fe	K	Mg	Na	S	Ti	
		No	X	Y	ppm																			%			
2Z001	754650	3792341	12,8	0,001	0,5	4,5	1,1	0,7	152,5	<0,01	<0,01	4,3	0,09	0,75	44	0,07	9,42	137	5,8	1,46	5,52	2,47	0,2	1,28	0,06	0,03	0,079
2Z002	754505	3791146	14,1	0,001	0,41	5,1	1,1	1,1	151,5	<0,01	0,02	4,7	0,09	0,74	50	0,07	10	92	7,7	1,67	5,18	2,74	0,24	1,41	0,08	0,03	0,1
2Z003	753238	3790915	12	0,001	0,52	4,7	0,8	0,9	143	<0,01	0,03	4,4	0,08	0,73	55	0,09	9,62	130	7	1,53	5,38	2,8	0,21	1,31	0,06	0,03	0,098
2Z004	752912	3790582	15,1	0,001	0,42	5	0,8	1,2	139	<0,01	0,02	4,7	0,1	0,77	49	0,12	9,78	117	7,5	1,74	5,17	2,78	0,26	1,39	0,08	0,04	0,097
2Z005	747974	3790766	13	0,001	0,38	4,1	0,9	0,6	137	<0,01	0,04	4,5	0,13	0,67	41	0,06	9,44	61	3,9	1,31	5,07	2,24	0,22	1,21	0,06	0,04	0,054
2Z006	748530	3791416	12,8	0,001	0,35	4,5	0,9	0,8	155,5	<0,01	0,01	4	0,09	0,63	43	0,07	9,58	64	3,7	1,55	5,18	2,42	0,22	1,33	0,08	0,04	0,074
2Z007	748486	3791500	14,9	<0,001	0,35	4,4	1	0,9	150	<0,01	0,02	4,7	0,09	0,69	43	0,11	9,72	67	6,1	1,54	4,8	2,39	0,23	1,27	0,08	0,04	0,074
2Z008	748712	3791033	13,7	0,001	0,39	4,5	1	0,8	169,5	<0,01	0,01	3,9	0,09	0,67	46	0,1	10,1	67	3,2	1,56	5,39	2,51	0,24	1,38	0,07	0,05	0,068
2Z009	748616	3791087	15,5	0,001	0,35	4,8	0,8	0,7	145	<0,01	0,03	4,4	0,09	0,66	44	0,06	10,3	61	6	1,53	4,96	2,42	0,24	1,33	0,07	0,05	0,068
2Z010	748648	3790885	18,4	0,001	0,37	4,9	0,8	1	188,5	<0,01	0,02	4,3	0,1	0,71	49	0,1	11,15	62	3,9	1,65	5,7	2,65	0,28	1,33	0,07	0,04	0,075
2Z011	749870	3790699	13,5	<0,001	0,33	4,8	0,9	0,7	139	<0,01	0,02	4,2	0,08	0,62	43	0,07	9,71	79	5,5	1,5	5,04	2,37	0,2	1,35	0,06	0,04	0,07
2Z012	750143	3791206	24,5	0,001	0,42	5,4	0,5	1,1	156,5	<0,01	0,01	5,4	0,17	0,8	46	0,08	11,55	85	8,1	1,83	5,09	2,67	0,32	1,36	0,08	0,04	0,086
2Z013	750240	3790726	19,4	<0,001	0,4	5,4	0,8	1,1	158	<0,01	0,01	5	0,12	0,75	55	0,36	10,65	92	7,6	1,78	5,31	2,76	0,29	1,42	0,08	0,06	0,094
2Z014	750690	3790281	14,3	0,001	0,37	5,1	0,9	0,8	148,5	<0,01	0,02	4,3	0,08	0,67	48	0,08	10,1	89	5,6	1,58	5,29	2,58	0,21	1,38	0,06	0,06	0,087
2Z015	748027	3790862	15,8	0,001	0,31	5	0,8	0,9	154	<0,01	<0,01	4,3	0,11	0,71	46	0,08	10,6	65	5,6	1,64	5	2,55	0,23	1,37	0,07	0,05	0,078
2Z016	748656	3790336	16,3	<0,001	0,36	4,8	1	0,8	149,5	<0,01	0,02	4	0,13	0,67	42	0,05	10,05	64	4,3	1,57	5,03	2,44	0,24	1,34	0,07	0,05	0,068
2Z017	748425	3790875	15,8	0,001	0,37	5	0,7	1,1	157	<0,01	0,01	4,4	0,1	0,7	50	0,09	10,95	68	6,9	1,71	5,27	2,78	0,25	1,42	0,08	0,05	0,092
2Z018	749754	3790479	18,4	0,001	0,46	5,9	0,8	1,3	265	<0,01	0,01	4,3	0,12	0,73	61	0,05	11,1	99	5,9	2,09	5,67	3,15	0,3	1,52	0,12	0,05	0,072
2Z019	749645	3790154	13,5	<0,001	0,35	4,8	0,9	0,7	142	<0,01	0,01	3,8	0,09	0,61	45	0,07	10,1	66	4,2	1,56	5,14	2,49	0,21	1,38	0,05	0,03	0,073
2Z020	750281	3790296	17,3	0,001	0,39	5,7	0,9	1	182	<0,01	0,01	4,7	0,09	0,74	59	<0,05	11,15	71	6,1	1,95	5,04	3,09	0,28	1,57	0,08	0,03	0,087
2Z021	750442	3789882	15,7	0,001	0,35	5,1	0,4	0,7	137	<0,01	0,02	4,2	0,14	0,66	47	0,06	10	71	6,5	1,6	4,97	2,6	0,22	1,51	0,06	0,03	0,082
2Z022	750902	3790065	14,2	0,001	0,33	5	1,2	0,8	156,5	<0,01	0,03	4,1	0,1	0,75	47	0,05	10	76	4,9	1,62	5,22	2,57	0,22	1,45	0,06	0,02	0,079
2Z023	750937	3789957	18	<0,001	0,37	5,6	0,7	1,1	151	<0,01	0,02	4,5	0,15	0,7	51	0,07	10,75	74	8,4	1,77	5,25	2,89	0,26	1,61	0,08	0,01	0,097
2Z024	751312	3790143	15,3	0,001	0,31	5	0,8	0,7	147	<0,01	0,02	3,5	0,09	0,6	43	0,08	10,2	88	3,4	1,56	5,19	2,46	0,22	1,39	0,06	0,02	0,076
2Z025	748217	3790372	19,1	0,001	0,35	4,8	0,5	1,1	151,5	<0,01	0,01	4,2	0,21	0,67	46	0,08	11,2	71	4,2	1,68	5,18	2,62	0,31	1,26	0,08	0,02	0,066
2Z026	748260	3790973	15	0,001	0,29	4,8	0,5	0,9	160,5	<0,01	0,02	4,5	0,09	0,72	48	0,1	11,1	65	7,2	1,62	4,83	2,57	0,22	1,37	0,07	0,02	0,093
2Z027	748234	3790690	15,7	0,001	0,31	4,8	0,4	0,7	152,5	<0,01	<0,01	4	0,15	0,62	44	0,05	10,25	65	5,6	1,6	5,11	2,51	0,22	1,41	0,06	0,02	0,073
2Z028	748541	3790295	14,9	<0,001	0,39	4,6	0,4	0,7	151,5	<0,01	0,01	3,6	0,17	0,59	42	0,14	10,05	62	2,6	1,47	5,13	2,32	0,22	1,3	0,05	0,03	0,061
2Z029	748652	3790755	17,1	<0,001	0,34	5,8	0,3	0,9	142,5	<0,01	<0,01	4	0,1	0,59	54	0,13	10,6	69	5,1	2,12	4,55	2,91	0,28	1,53	0,04	0,02	0,087
2Z030	749806	3790633	17,3	<0,001	0,39	5,3	0,8	0,9	132	<0,01	0,05	3,9	0,09	0,58	46	0,14	10,2	78	3,2	1,77	4,62	2,59	0,27	1,4	0,04	0,21	0,065
2Z031	749625	3790987	14,6	<0,001	0,38	5,3	0,4	1	141	<0,01	0,02	3,9	0,07	0,61	51	0,24	10,4	88	5,3	1,8	4,98	2,76	0,22	1,53	0,05	0,28	0,089
2Z032	750207	3790204	16,6	<0,001	0,38	5	0,6	1	156,5	<0,01	0,04	3,8	0,08	0,6	51	0,15	10,45	65	2,8	1,78	5,32	2,74	0,27	1,51	0,06	0,31	0,089
2Z033	750361	3790364	12,9	<0,001	0,44	4,9	0,4	0,8	145,5	<0,01	<0,01	4	0,06	0,61	48	0,16	9,75	83	5,8	1,58	5,39	2,6	0,21	1,39	0,04	0,29	0,083
2Z034	750834	3790213	12,6	<0,001	0,41	5,7	0,5	1	148	<0,01	<0,01	3,9	0,07	0,59	55	0,17	10,15	102	6,9	1,73	5,53	2,78	0,2	1,49	0,05	0,21	0,111
2Z035	751380	3790059	15,1	<0,001	0,4	5	0,4	1	143,5	<0,01	<0,01	4,2	0,08	0,61	45	0,16	10,15	81	5,9	1,66	5,05	2,54	0,24	1,3	0,06	0,18	0,084
2Z036	751665	3789990	15,9	0,001	0,42	5,3	0,6	1	151,5	<0,01	0,05	4,1	0,08	0,6	51	0,14	10,75	88	5,3	1,8	5,55	2,79	0,25	1,46	0,05	0,12	0,071
2Z037	751496	3789925	16,3	<0,001	0,4	5,3	0,4	0,9	159,5	<0,01	<0,01	4,5	0,09	0,66	52	0,14	10,9	77	7,4	1,73	5,31	2,75	0,24	1,53	0,06	0,17	0,101
2Z038	752131	3789769	14,1	<0,001	0,39	5,4	0,4	1,1	150	<0,01	<0,01	4,1	0,08	0,6	54	0,15	10,7	81	7,9	1,76	5,2	2,93	0,23	1,54	0,07	0,15	0,101
2Z039	752628	3789994	13,1	<0,001	0,36	5	0,8	0,8	154,5	<0,01	<0,01	3,8	0,08	0,58	48	0,13	10,4	78	5,8	1,61	5,45	2,62	0,2	1,45	0,06	0,17	0,083
2Z040	752933	3790015	10,6	<0,001	0,35	6	0,5	0,9	181	<0,01	<0,01	4,5	0,05	0,71	58	0,17	11,35	115	15	1,91	5,94	3,02	0,19	1,59	0,04	0,2	0,165
2Z041	753090	3790115	18,7	<0,001	0,48	6,1																					

## پیوست ۲

نمونه‌ای از نتایج مطالعات نمونه‌های کانی سنگین

Heavy Mineral Sample	A300	A299	A228	A229	A231	A220	A279	A282	A210	A207	A265	A200	A153	A163	A162	A272	A184	A183	A97	A98	A127	U94	U50	U65	U64	U59	U55	U18	A144	A278	A298	A289			
Total Volume cc A	6000	10000	9000	11000	8000	9000	8000	8000	5000	8000	8000	10000	9000	8000	9000	11000	10000	10000	10000	10000	7000	10000	7000	10000	8000	9000	9000	10000	10000	9000					
Panned Volume cc B	12	20	12	20	29	15	21	15	15	19	17	26	23	15	20	23	23	19	24	18	16	15	21	19	23	25	20	20	25	17	16	12			
Study Volume cc C	12	20	12	20	27	15	21	15	15	19	17	26	23	15	20	23	23	19	24	18	16	15	21	19	23	25	20	20	25	17	16	12			
Heavy Volume cc Y	1.00	7.00	0.25	7.00	25.00	2.00	1.00	7.00	0.25	0.50	3.00	0.50	0.25	0.50	1.50	1.00	7.50	15.00	3.00	0.50	4.50	4.50	4.50	0.25	0.50	0.50	0.25	0.50	0.25	1.00	3.00	1.50			
Magnetite	6.90	108.78	0.06	5.93	5.20	1.84	5.18	40.79	1.30	5.69	93.24	15.54	4.92	9.21	124.32	21.87	113.02	98.90	223.76	10.38	293.70	41.96	27.97	2.96	0.94	13.32	0.13	1.94	8.06	73.67	27.97	12.08			
Hematite	97.31	30.13	0.00	20.08	1075.74	23.38	26.30	667.00	15.78	68.93	67.07	36.82	13.81	24.55	5.92	29.81	1035.56	1291.09	1514.9	23.46	78.11	224.87	468.67	3.38	27.26	19.73	10.26	20.71	14.90	14.03	29.19	59.61			
Ilmenite	0.00	0.00	6.27	0.00	0.00	0.00	0.00	5.96	0.00	0.21	0.60	0.00	0.00	0.18	0.00	0.00	0.00	0.00	0.00	0.00	0.00	0.00	0.00	0.00	0.00	0.00	0.00	0.00	0.00	0.00	0.00				
Garnets	1.20	312.71	0.00	0.60	132.93	0.35	0.00	98.96	0.04	0.17	49.73	0.34	1.71	0.00	2.93	0.00	0.33	0.00	0.28	15.60	0.39	3.33	3.16	0.25	0.00	12.19	0.00	2.19	1.84	0.00	21.65	5.53			
Pyroxenes	9.87	0.00	0.00	293.24	436.30	0.28	0.00	0.00	0.03	13.98	30.60	0.00	0.70	0.00	0.00	0.00	0.00	0.00	0.00	115.2	0.00	158	82.08	51.84	16.46	13.82	12.00	10.92	7.20	12.09	0.00	53.28	18.13		
Amphiboles	23.60	274.91	0.00	48.87	872.59	12.80	16.00	4.80	13.98	153	0.00	0.00	14.93	3.60	24.18	0.00	1.57	5.76	0.00	0.00	25.92	0.21	2.76	4.00	0.03	1.80	1.51	0.00	88.80	9.07					
Epidotes	1.05	0.00	0.00	0.00	0.00	0.00	0.00	151	0.09	21.57	0.00	0.00	0.00	43.35	0.00	0.00	128	0.00	0.00	6.12	0.00	16.83	174.42	55.08	0.00	5.87	25.50	166	7.65	25.69	40.80	18.87	57.80		
Biotite	0.00	0.69	0.00	0.00	0.00	0.00	0.00	0.00	0.00	0.00	0.00	0.00	0.00	1.17	0.00	0.11	0.00	0.00	2.40	0.00	0.00	0.00	0.00	0.00	0.00	0.00	0.00	0.00	0.00						
Pyrite oxide	0.00	51.55	0.00	0.00	1227.08	16.00	0.56	114.00	0.00	0.00	14.34	0.00	0.98	0.35	0.03	34.00	107	2.21	0.00	0.00	2.23	3.85	0.00	0.00	0.00	0.00	0.00	0.00	0.00	0.00	0.00	99.90	6.38		
Pyrite Limonite	0.00	0.00	3.96	33.98	0.00	0.00	0.00	0.00	0.00	0.00	0.00	0.00	0.00	0.00	0.00	0.00	0.00	0.00	0.00	0.00	0.00	0.00	0.00	0.00	0.00	0.00	0.00	0.00	0.00	0.00	0.00	0.00	0.00		
Oligiste	0.00	0.00	0.00	4.02	0.00	0.00	3.23	0.00	5.26	0.00	0.00	0.00	11.51	16.36	0.00	24.84	0.00	0.00	0.00	0.00	2.60	0.00	0.00	0.00	0.00	0.00	0.00	0.00	0.00	0.00	0.00	44.71			
Limonite	23.43	21.76	0.00	29.02	518.10	6.76	42.75	4.82	13.30	49.80	12.11	166	166	5.91	143	21.53	22.67	93.27	13.68	6.08	0.00	16.25	3.08	7.33	6.56	4.75	0.04	2.14	179	15.20	42.18	5.38			
Pyrolusite	0.00	0.00	0.00	0.00	0.00	0.00	12.67	0.00	0.00	0.00	0.61	0.00	1.04	0.00	0.00	7.13	0.00	0.00	68.40	1.90	0.00	40.61	0.00	0.00	12.21	12.31	0.00	0.00	0.00	0.00	0.00	0.00	0.00	0.00	0.00
Olivine	0.00	0.00	0.00	0.00	0.00	0.00	0.00	0.00	0.00	0.00	0.00	0.00	0.00	0.00	0.00	0.00	0.00	0.00	0.00	0.00	0.00	0.00	0.00	0.00	0.00	0.00	0.00	0.00	0.00	0.00	0.00	0.00			
Spinel	0.00	0.00	0.00	0.00	0.00	0.00	0.00	0.00	0.00	0.00	0.00	0.00	0.00	0.00	0.00	0.00	0.00	0.00	0.00	0.00	0.00	0.00	0.00	0.00	0.00	0.00	0.00	0.00	0.00	0.00	0.00	0.00			
Chromit	0.00	0.00	0.00	0.00	0.00	0.00	0.00	0.00	0.00	0.00	0.00	0.00	0.00	0.00	0.00	0.00	0.00	0.00	0.00	0.00	0.00	0.00	0.00	0.00	0.00	0.00	0.00	0.00	0.00	0.00	0.00	0.00			
Martite	0.00	0.00	0.00	0.00	0.00	0.00	3.23	200.00	0.00	0.00	4.60	2.30	0.00	125.52	774.65	18.94	0.00	26.04	44.37	0.00	0.00	10.26	0.00	7.45	0.00	0.00	0.00	0.00	0.00	0.00	0.00	0.00	14.30		
Goethite	0.00	0.00	0.00	0.00	0.00	0.00	5.50	0.00	0.00	0.00	0.00	0.00	0.00	0.00	0.00	0.00	0.00	0.00	0.00	0.00	0.00	0.00	0.00	0.00	0.00	0.00	0.00	0.00	0.00	0.00	0.00	0.00			
Chlorite	0.00	34.36	0.00	0.00	0.00	0.00	0.00	0.00	0.76	0.00	0.00	9.56	1.31	1.31	0.00	0.11	0.00	0.00	0.22	0.00	0.00	0.00	0.00	0.00	0.00	0.00	0.00	0.00	0.00	0.00	0.00	0.00			
moskovite	0.00	15.86	0.00	10.58	18.88	0.25	0.00	0.70	0.00	0.12	17.86	7.27	0.61	108	104	5.23	3.31	1.36	0.20	1.11	0.00	0.00	0.00	0.00	0.00	0.00	0.00	0.00	0.00	0.00	3.69	0.00			
markasit	0.00	0.00	0.00	0.00	0.00	0.00	0.00	0.00	0.00	0.00	0.21	0.00	0.00	0.00	0.00	0.00	0.00	0.00	0.00	0.00	0.00	0.00	0.00	0.00	0.00	0.00	0.00	0.00	0.00	0.00	0.00	0.00			
Zircon	0.02	0.03	0.00	0.00	0.00	0.00	0.00	0.00	0.00	0.00	2.41	0.00	0.04	0.52	0.88	1.04	4.79	5.17	0.17	0.01	0.84	0.32	0.04	0.01	0.05	0.02	0.00	0.00	0.10	0.00	0.78				
Apatite	0.05	0.00	0.00	0.00	0.00	0.00	0.00	0.00	0.00	111	0.00	0.00	0.00	0.00	0.00	0.00	0.00	0.00	0.00	0.00	0.00	0.00	0.00	0.00	0.00	0.00	0.00	0.00	0.00	0.00	0.00	0.00	0.00		
Rutile	0.00	0.01	0.00	0.00	0.00	0.00	0.00	0.00	143	0.00	0.11	1.11	0.00	0.00	0.00	2.37	0.47	144	0.00	0.00	0.00	0.00	0.00	0.00	0.00	0.00	0.00	0.00	0.00	0.00	0.00	0.00	0.00	0.00	
Barite	0.00	1.15	0.75	137.45	258.33	272.00	0.00	157.50	0.28	0.00	0.00	0.39	0.50	0.00	5.00	9.20	85.91	0.07	0.06	0.00	0.81	0.00	0.01	0.10	0.08	0.04	0.03	0.00	0.70	4.05	18.50				
Sphene	0.00	0.00	0.00	8.86	0.00	0.00	0.25	0.00	0.00	0.02	0.00	0.00	0.00	0.00	0.00	0.00	1.96	0.01	0.59	4.75	0.02	0.00	0.02	0.16	0.13	0.00	0.06	0.00	0.00	0.00	0.00	0.00	0.00	0.00	
Anatase	0.00	0.02	0.00	0.00	0.00	0.00	0.00	0.00	0.00	0.10	0.00	0.00	0.00	0.00	0.00	0.00	0.00	0.04	0.00	0.00	0.00	0.00	0.00	0.00	0.00	0.00	0.00	0.00	0.00	0.00	0.00	0.00	0.00	0.00	
Nigrin	0.00	0.00	0.00	0.00	0.00	0.00	0.00	0.00	0.00	0.00	0.00	0.00	0.00	0.00	0.00	0.00	0.00	0.00	0.00	0.00	0.00	0.00	0.00	0.00	0.00	0.00	0.00	0.00	0.00	0.00	0.00	0.00	0.00		
Leucoxene	0.00	0.00	0.00	0.00	0.00	0.00	0.00	0.00	0.00	0.00	0.00	0.00	0.00	0.00	0.00	0.00	0.00	0.00	0.00	0.00	0.00	0.00	0.00	0.00	0.00	0.00	0.00	0.00	0.00	0.00	0.00	0.00	0.00		
Pyrite	0.00	0.00	0.00	0.00	0.00	0.00	0.00	0.00	0.00	0.00	0.00	0.00	0.00	0.00	0.00	0.00	0.00	0.00	0.00	0.00	0.00	0.00	0.00	0.00	0.00	0.00	0.00	0.00	0.00	0.00	0.00	0.00	0.00		
Galena	0.00	0.00	(37)3.75	38.18	53.82	(6)2.6	0.00	39.38	0.00	(1)0.01	0.00</td																								

## پیوست ۳

لیست نمونه‌های مورد مطالعه در فصل پنجم تحقیق



## پیوست ۴

جدول نتایج بدست آمده از مرحله چک آنومالی

مشخصات نمونه های سنگی	آنومالی عنصر	اندیس معدنی	زمین شناسی	Sample	X	Y	Au	Ag	As	Ba	Bi	Cd	Cu	Hg	Mo	Pb	Sb	Sn	W	Zn
کانه زایی (بلی متابلیک) گالن، اسفالریت، مالاکیت، پیریت، کالکوپیریت، باریت (کالن بیشتر از کانه های دیگر)				ZZM44	750627	3796823	0,35	89	5,6	80	150	5,67	>10000	0,74	14,7	>10000	26	-0,2	0,08	1960
کانه زایی (بلی متابلیک) گالن، اسفالریت، مالاکیت، پیریت، کالکوپیریت، آزوربیت، کوولین، باریت				ZZM45	750628	3796824	3,14	>100	11	110	1955	27,4	>10000	0,07	13,5	>10000	18	3,6	0,07	1435
کانه زایی (بلی متابلیک) گالن، باریت در سنگ میزبان آندزیز پرتوبریت				ZZM46	750629	3796825	0,02	3,4	0,3	1300	2,5	0,27	152	0,2	0,73	5770	0,6	-0,2	<0,05	25
کانه زایی (بلی متابلیک) گالن، مالاکیت، کالکوپیریت، باریت (کانه های مس بیشتر کالکوپیریت است)				ZZM47	750412	3796896	0,69	>100	4,5	270	1270	10,3	>10000	0,9	16	>10000	31	3,8	0,06	3900
کانه زایی (بلی متابلیک) گالن، باریت				ZZM48	750407	3797002	0	4,9	<0,1	1050	1,76	1,28	64,4	0,79	5,98	6420	0,3	-0,2	<0,05	25
رگه سیلیسی حاوی کانه زایی مس به صورت کالکوپیریت، مالاکیت و اکسیدهای آهن				ZZM49	750353	3796997	0,04	20	41	1340	239	1,48	>10000	0,1	2,19	1815	2,2	0,4	<0,05	538
لواع کانه های مس				ZZM50	750262	3796931	0,24	48	5,8	1910	1310	188	>10000	4,23	91,1	3960	1,7	3,6	0,08	>10000
زون سیلیسیفاید شده، حاوی اکسیدهای آهن و برشی				ZZM55	750605	3796364	0	0,1	16	110	0,73	0,1	20,3	<0,01	1,45	31,1	0,6	0,8	0,05	31
هماتیت، اکسیدهای آبار و ثانویه آهن				ZZM59	750526	3797298	0,07	>100	1,5	60	2280	153	>10000	0,79	19,1	3490	0,6	3,3	0,07	820
رگه برشی، آلترا، رگچه متعدد از کانه های فلزی (احتمالاً گالن)				ZZM63	750050	3797240	0	0,5	4,8	2320	5,37	0,4	48,9	0,12	1,88	134	0,9	1,1	52,6	292
زون سیلیسیفاید، اکسیدهای برشی، حاوی اکسیدهای آهن				ZZM69	751294	3796653	0	0,2	15	50	0,24	0,04	51,3	0,03	2,21	59,4	1	0,7	0,05	19
داسیست آلترا، برشی، حاوی اکسیدهای آهن				ZZM51	750125	3796527	0,06	9,54	177		4,82	21,2	1995	0,05	4,36	>10000	8,72	0,7	1,93	3130
زون اکسیدهای سیلیسیفاید شده، حاوی اکسیدهای آهن				ZZM52	750155	3796440	0,001	0,32	2,2		8,52	2,82	218	0,04	1,61	117,5	0,4	0,2	0,08	1070
زون سیلیسیفاید شده، حاوی اکسیدهای آهن				ZZM53	750251	3796402	0,001	0,22	6,9		0,71	0,33	48,5	<0,01	1,05	161	2,09	0,3	0,09	57
زون سیلیسیفاید شده، حاوی اکسیدهای آهن				ZZM54	750338	3796285	<0,001	0,06	10,6		1,47	0,24	34	<0,01	0,83	25,6	0,42	0,5	0,22	34
توف برشی، سیلیسیفاید، آلترا				ZZM64	750738	3795493	0,002	0,29	1,9		1,17		33,6	0,01	0,91	207	0,86	0,5	0,29	27
زون سیلیسیفاید، آلترا، همراه اکسیدهای آهن				ZZM65	750714	3795506	0,015	1,08	12,3		1,18		15,5	0,03	1,92	22,9	0,78	0,5	0,97	39
زون سیلیسیفاید و برشی				ZZM66	750450	3795500	<0,001	0,3	1,8		0,66		144	0,01	0,73	210	3,06	1,3	0,55	172
کانه های مس از جمله کالکوپیریت و مالاکیت به همراه پیریت				ZZM67	750261	3795490	0,435	>100	82,1		124,5		>10000	0,54	7,41	>10000	49,8	4,9	12,3	6830
رگه مس دار حاوی کانه های مالاکیت، آزوربیت، کالکوپیریت، پیریت				ZZM60	749265	3797103	0,084	>100		370	770	20,3	>10000	2,8	39,5	>10000	3,14	5,7	0,06	2870
کانه زایی باریت و سرب				ZZM61	749266	3797105	0,014	49,5		1410	421	7,49	3660	10,35	38,3	5430	2,29	0,3	<0,05	>10000
کانه زایی باریت و سرب و مقدار ناجیز مس				ZZM62	749395	3797073	0,018	7,44		500	7,2	1,55	571	0,12	14,15	>10000	5,74	1,3	0,35	943
زون سیلیسیفاید شده، حاوی اکسیدهای آهن و برشی				ZZM56	748222	3795170	<0,001	0,06	18,9		1,3	0,03	12	<0,01	0,82	16,9	2,82	1,1	0,25	32
میکروگرانیت، میکرومونوزنیت شدیداً آلترا، رنگ آمیزی شده با اکسیدهای آهن				Sample	X	Y	Au	Ag	As	Bi	Cu	Hg	Mo	Pb	Sb	Sn	W	Zn		
میکروگرانیت، رنگ آمیزی شده با اکسیدهای آهن				ZZM18	749090	3797567	<0,001	0,02	0,9		0,28		14,9	0,01	1,2	5,8	0,14	0,4	0,17	37
رگه کانه دار، حاوی کانه های کالکوپیریت، مالاکیت، گانگ سیلیس و کلسبیت				ZZM19	748986	3797423	0,149	32,1	9,9		147		>10000	1,71	21	782	0,39	0,4	0,29	7110
سنگ آذربین نیمه عمق، آلترا، رنگ آمیزی شده با اکسیدهای آهن، پخشی سیلیسیفاید				Sample	X	Y	Au	Ag	As	Bi	Cd	Cu	Hg	Mo	Pb	Sb	Sn	W	Zn	
میکروگرانیت آذربین نیمه عمق، رنگ آمیزی شده با اکسیدهای آهن				ZZM20	748986	3797804	0,001	0,09	4,7		1,44	0,14	139	<0,01	1,29	20,3	1,77	0,3	<0,05	66
رگه سیلیسی حاوی کانه های کالکوپیریت، بلورهای رشد یافته ناشاخته قرمز و قهوه ای				ZZM21	748894	3797978	<0,001	0,21	0,6		1,2	0,11	312	0,02	1,55	12	0,14	0,6	0,1	64
سنگ آذربین نیمه عمق، رنگ آمیزی شده با اکسیدهای آهن				ZZM22	748967	3797823	1,095	2,52	30,1		1140	0,08	9200	0,12	8,68	510	1,12	5,5	86,3	125
سنگ آذربین نیمه عمق، رنگ آمیزی شده با اکسیدهای آهن				ZZM23	749175	3798067	0,026	1,13	47,5		4,17	0,01	23,1	0,01	10,4	10,1	0,18	0,6	0,54	89
سنگ آذربین نیمه عمق، رنگ آمیزی شده با اکسیدهای آهن				ZZM24	749106	3798095	0,006	0,05	1,4		0,48	0,04	17,4	0,01	2,46	4,1	0,21	0,4	0,12	34
کانه زایی مس حاوی کالکوپیریت، پیریت، مالاکیت رگه ای، سنگ میزبان نفوذی متوسط تا بازیک				ZZM25	749138	3798094	0,69	2,8	6,6		876	0,29	5050	0,12	2,34	567	1,64	4,6	42,8	323
رگه سیلیسی حاوی اکسیدهای آهن				Sample	X	Y	Au	Ag	As	Bi	Cd	Cu	Hg	Mo	Pb	Sb	Sn	W	Zn	
سنگ آهن با بیش از 60٪ منیتیت				ZZM26	751366	3797873	0,576	4,83	1235	1,57	0,03	30,6	0,04	5,53	34,3	4,56	0,3	0,2	9	6,24
سنگ آهن با بیش از 60٪ منیتیت				ZZM27	751223	3797727	<0,001	0,13	9,1	3,1	0,04	19,1	0,04	1,97	233	1,39	20,3	8,3	104	>50

مشخصات نمونه های سنگی	آنومالی عنصر	زemin شناسی	اندیس معدنی	آنومالی عنصر	Sample	X	Y	Au	Ag	As	Ba	Bi	Cd	Cu	Hg	Mo	Pb	Sb	Sn	W	Zn	
آندزیت پروفیری ، آلتره به رنگ کرم - نخودی	ماسه سنگ توفی و آندزیت پورفیری				ZZM28	749385	3793608	0,004	3,09	10,7	20	0,1	<0,01	13,5	0,01	0,83	9,3	0,7	3,4	0,3	18	
دایک دیبازی، میکرو گابروپی، تزریق شده در میان توف های آلتره					ZZM29	749384	3793635	<0,001	0,03	6,7	50	0,53	0,08	8,9	0,03	0,23	8,6	1,29	1	0,16	98	
آندزیت ، حاوی رگه و رگجه های سیلیسی به همراه باریت					ZZM30	749350	3793825	0,004	0,13	4,3	2940	0,16	0,04	16,5	0,01	1	67,1	3,48	1,8	0,47	20	
توف خاکستری، آلتره، حاوی دندربوت های منگنز و اکسیدهای آهن					ZZM31	749382	3793852	<0,001	0,74	37,5	90	0,03	0,19	28,8	0,66	6,33	643	0,81	0,5	0,12	956	
توف آندزیتی، برشی، ذرات پراکنده کانه (ناشاخته)					ZZM32	749376	3793682	<0,001	0,02	6	100	1,36	0,03	8,4	0,01	0,78	22	10,4	1,5	0,54	53	
رگه سیلیسی حاوی اکسیدهای آهن، آثار ناجیز از گالن	مس، سرب، بیسموت، طلا و باریم				ZZM35	752003	3792889	0,005	0,02	2,6	1970	0,02	22,3	<0,01	3550	3,08	7,4	5,27	0,2	0,05	172	
رگه مس دار، زون برشی، حاوی اکسیدهای آهن و سیلیس					ZZM36	751999	3792891	0,01	1,55	72	1180	1,01	1050	0,22	4000	11,45	268	279	0,2	<0,05	358	
توف سبز، آلتره، حاوی رگجه های اکسیدهای آهن، سیلیسیفاید					ZZM37	752003	3793447	<0,001	0,02	3,9	60	0,17	36,8	<0,01	1400	0,52	15,2	1,4	0,8	0,1	123	
رگ و رگجه های سیلیسی، تزریق شده در توف آندزیتی					ZZM38	751368	3793411	<0,001	0,04	<2	140	0,13	9,4	<0,01	5710	0,9	9,8	2,14	0,3	0,05	52	
زون سیلیسیفاید حاوی کانه زایی مس کمتر از ۰,۱٪ حاوی کالکوپیریت					ZZM39	751192	3793363	0,063	5,38	6,7	660	5,66	5440	<0,01	1020	12,15	5050	7,61	0,4	<0,05	206	
رگه سیلیسی، هماتیتی و لیموینیتی شده					ZZM40	751176	3793225	<0,001	0,25	48	470	0,08	20,7	0,01	4070	10,5	76,6	2,28	<0,2	0,36	188	
آندزیت مس دار، حاوی مالاکیت و کالکوپیریت					ZZM41	751177	3793083	1,445	2,21	5,8	100	461	>10000	0,03	866	25,7	>10000	2,29	0,2	<0,05	1175	
توف سیلیسیفاید حاوی اکسیدهای آهن به صورت رگه ای					Sample	X	Y	Au	Ag	As	Bi	Cu	Hg	Mo	Pb	Sb	Sn	W	Zn			
ZZM43	753180	3793434	<0,001	0,04	1,7	0,27	11,2	<0,01	0,72	23,2	0,97	0,2	<0,05	24								
توف سبز در زون خرد شده حاوی رگجه های سیلیس و قسمتی سیلیسیفاید	Sample	X	Y	Au	Ag	As	Bi	Cd	Cu	Hg	Mo	Pb	Sb	Sn	W	Zn						
ZZM42	749700	3792143	0,007	0,14	12,6	6,79	0,24	317	0,01	0,81	335	0,25	0,7	0,27	63	1,46						
توف آلتره ، اکسیده ، آشتگی به اکسیدهای آهن					ZZM8	752631	3791558	0,01	0,09	3,8	1,98	0,03	94,9	<0,01	2,22	29	0,32	1,5	0,24	81	3,35	
توف آندزیتی، برشی، ذرات پراکنده گالن (۰,۵٪)					ZZM9	752404	3791667	0,03	15,8	5,6	13,05	3,54	1680	1,34	>10000	0,55	1,2	0,09	5620	4,62		
توف سبز، آلتره، رنگ آمیزی شده با اکسیدهای آهن					ZZM10	752262	3791661	0,004	0,55	6,2	1,01	0,55	40,7	0,05	0,98	310	0,25	1,4	0,37	588	3,44	
زون آلتره، اکسیده، آلتره ، حاوی گوتیت و لیموینیت، سیلیسیفاید					ZZM11	751752	3791509	0,004	0,49	44	1060	1,46	89,8	0,06	5,25	808	0,69	<0,2	0,08	912		
توف، اکسیده، آلتره، حاوی گوتیت و لیموینیت، سیلیسیفاید					ZZM12	751590	3791595	0,245	0,72	25	120	12,1	1260	0,03	6,97	1360	0,26	0,2	<0,05	152		
توف، اکسیده، آلتره، حاوی گوتیت و لیموینیت، سیلیسیفاید					ZZM13	751513	3791688	0,003	0,08	3	2530	0,23	23,2	0,01	4	45,9	0,37	<0,2	<0,05	798		
زون برشی، آلتره، سیلیسیفاید، اکسیده ، حاوی گوتیت و لیموینیت، سیلیسیفاید					ZZM14	751420	3790855	0,088	6,24	9,9	50	88	9750	0,04	266	>10000	0,96	0,5	0,52	342		
توف آلتره ، میان لایه سیلیسی ، آشتگی به اکسیدهای آهن					ZZM15	751294	3790976	0,004	0,11	7,4	20	2,05	99,6	0,02	3,69	119	0,39	1	0,13	108		
کانه های مس با گانگ سیلیسی					ZZM58	751420	3790855	0,011	3,48	6,8	50	13,25	2380	<0,01	32,2	3520	1,47	0,7	0,19	131		
توف آلتره ، میان لایه سیلیسی ، دانه های پراکنده پیریت اکسیده، آشتگی به اکسیدهای آهن و سیدریت					ZZM16	749706	3790568	<0,001	0,3	8,7	2530	0,32	0,41	10	0,03	2,76	20,1	0,27	0,2	<0,05	142	
توف آندزیتی شدیداً آلتره، به همراه اکسیدهای آهن و سیدریت					ZZM17	750072	3790221	<0,001	0,23	24	40	0,14	0,86	5,8	0,01	1,27	32,2	1,86	0,3	0,09	206	
سیلیس پر کننده آندزیت های حفره دار					Sample	X	Y	Au	Ag	As	Ba	Bi	Cd	Cu	Hg	Mo	Pb	Sb	Sn	W	Zn	
سیلیس های رنگ آمیزی شده در حفره های آندزیتی					ZZM1	754598	3791024	0,002	0,49	3	0,04	0,51	18,8	0,02	2,62	22,5	0,57	0,4	0,57	154		
آندرزیت برشی و سیمان شده با کلسیت و سیلیس					ZZM2	754572	3791009	0,002	2,07	56,4	0,03	4,63	27,2	0,08	28	375	4,9	0,3	0,5	344		
آندرزیت برشی و سیمان کلسیتی					ZZM3	754120	3790589	0,002	0,07	5	<0,01	0,76	3	0,01	0,72	19,8	0,6	0,3	<0,05	56		
آندرزیت آلتره در زون گسله، حاوی دانه های پراکنده پیریت لیموینیتی					ZZM4	754114	3790622	0,001	2,77	24,7	0,91	2,11	26,1	0,23	3,9	191,5	0,37	0,7	0,05	387		
توف آلتره ، سیلیسیفاید، حاوی اکسیدهای آهن در رگجه ها					ZZM33	748364	3793418	<0,001	0,14	13,3	0,21	0,14	10,6	<0,01	9,05	26,9	0,29	0,5	0,06	22		
رنگ برشی با سیمان کلسیتی					ZZM34	748470	3793365	<0,001	0,01	2	0,35	0,67	3,8	<0,01	0,62	20,9	0,47	<0,2	<0,05	16		

## **Abstract**

There are a number of methods that have been used for identification and separation of the geochemical anomalies from background. In the current research, Trend surface method was applied on multivariation geochemical index to separate mineralized zone from background area.

A case study involving the analysis of stream sediment geochemistry data from an area in the south eastern of Gonabad, located in the north eastern of Iran was considered in this research. Single and multi-variant statistical analysis methods have been used to recognize the most effective geochemical parameters.

Elements of lead, zinc, gold, silver, copper, cadmium, arsenic, bismuth, antimony, molybdenum, barium, tin, tungsten, mercury, manganese and iron were introduced based on those methods. Mineralized elements (gold, copper, silver, lead and zinc) in the study area were identified, which might be introduced a polymetal mineralization zone.

The spatial geochemical maps shown the most important anomalous elements in the northern part of the study area. To obtain a base map for the next step of investigation, the anomaly areas of the spatial geochemical map of elements with together, the distribution of important heavy minerals and the high mineralized rock samples from check anomaly samples were plotted on the same map. The mineralized areas were focused in the northern part of the base map.

Correlation analysis, clustering and factor analysis were done on the anomalous data, a data set of 50 samples (25 anomalous and 25 background samples). The elements of copper, gold, zinc, lead and silver were introduced as mineralized factor, which might be formed as epithermal probably mineralization. A geochemical index of  $Au+Ag+Pb/Ti+Cr+Ga$  was introduced based on evaluation of these samples and coformation by the base map. Finally, trend surface method was applied on this geochemical index and for the whole area. The residual anomaly-4 degree could clarify And separate the anomaly areas from the background. The trend surface is considered as single variant method but it was applied for a mult-elements geochemical index ratio.

**Keywords:** *Trend surface, geochemical index, polymetal mineralization, mineralization factor, zuzan area,*



**Shahrood University of Technology  
School of Mining, Petroleum & geophysics Engineering**

**A Thesis for the Achievement of the Degree of Master of Engineering**

**Geochemical analysis of mineralized factors to  
evaluate the hidden mineralization in zuzan II area**

**Zohreh Jangravi**

**Supervisor:**  
**Dr. Reza Ghavami Riyabi**

**Advisor:**  
**Ehsan Hajmolla Ali**

**Date: February 2011**

